

Escuela Superior Politécnica Del Litoral

Facultad de Ingeniería Mecánica y Ciencias de la Producción

Diseño de una plataforma niveladora mediante sistemas
hidráulicos para andenes de carga y descarga de materia prima
o productos terminados.

Proyecto Integrador

Previo a la obtención del título de:

Ingeniero Mecánico

Presentado por:

Danny Bernardo Riofrio Coronel

Guayaquil – Ecuador

Año: 2023

DEDICATORIA

Con gratitud infinita, dedico este logro a mi familia; sobre todo, a Dios, quien ha guiado cada paso de mi travesía académica en esta destacada universidad que es ESPOL. A mis padres, que con su incansable apoyo hicieron posible alcanzar esta significativa meta en mi vida.

Danny Riofrío Coronel.

AGRADECIMIENTOS

Mi más sincero agradecimiento a todas aquellas personas e instituciones que, a pesar de no ser mencionadas en el documento, han dejado una huella imborrable en el camino hacia la culminación de este trabajo:

A mi familia, por ser el cimiento de mi fortaleza y el sostén inquebrantable en cada desafío.

A mis amigos y compañeros de estudio, por compartir risas, esfuerzos y el espíritu de superación que nos impulsó mutuamente.

A los profesores y personal de la ESPOL, por brindarme una educación excepcional y las herramientas para crecer como ingeniero.

A Dios, por iluminar mi camino y acompañarme en cada paso hacia la realización de este sueño.

Estas contribuciones, tanto grandes como pequeñas, han dejado una marca indeleble en este trabajo y en mi recorrido académico. Mi gratitud perdurará siempre.

DECLARACIÓN EXPRESA

“Los derechos de titularidad y explotación, me corresponde conforme al reglamento de propiedad intelectual de la institución; Yo Danny Bernardo Riofrio Coronel doy mi consentimiento para que la ESPOL realice la comunicación pública de la obra por cualquier medio con el fin de promover la consulta, difusión y uso público de la producción intelectual”

Autor



Danny Bernardo Riofrio Coronel

EVALUADORES

Emérita Delgado Plaza, PhD

Profesor de la Materia

Ernesto Martínez Lozano, M. Sc

Tutor del Proyecto

RESUMEN

Este proyecto se enfoca en el desarrollo de una plataforma niveladora mediante la implementación de tecnologías hidráulicas. Su objetivo primordial radica en contribuir a una solución eficaz y segura para la carga y descarga en muelles de carga, alineada con las actuales normativas industriales. Además, persigue la optimización de los procesos logísticos al introducir automatización en esta fase crucial. Durante la etapa de desarrollo, se eligieron materiales de alta resistencia, para asegurar la durabilidad y la capacidad de carga requerida. Mediante cálculos de ingeniería precisos, se definió la geometría óptima, resultando en una plataforma capaz de sostener cargas de hasta 7.3 toneladas. Los resultados obtenidos validan el diseño tras pruebas de carga. Teniendo un sistema mecánico que reduce los tiempos de carga y descarga, lo cual se traduce en una mejora notable en la eficiencia de toda la cadena de suministro. Además, el costo total del proyecto, considerando materiales y mano de obra, se mantuvo en 5000 dólares, confiriendo una alta competitividad en el mercado. Podemos decir que se consiguió diseñar una plataforma niveladora hidráulica de elevado rendimiento que no solo cumple con los estándares de seguridad, sino que también potencia la logística de carga y descarga mediante automatización. Así, se impulsa la automatización en la cadena de suministro, fortaleciendo la infraestructura logística del país.

Palabras clave: Plataforma niveladora, Sistemas hidráulicos, Automatización logística, Eficiencia en carga y descarga.

ABSTRACT

This project focuses on the development of a leveling platform through the implementation of hydraulic technologies. Its primary objective lies in contributing to an effective and safe solution for loading and unloading at loading docks, aligned with current industrial standards. Moreover, it aims to optimize logistical processes by introducing automation in this crucial phase. During the development stage, high-strength materials were chosen to ensure durability and the required load capacity. Through precise engineering calculations, the optimal geometry was defined, resulting in a platform capable of supporting loads of up to 8 tons. The obtained results validate the design through load tests. Having a mechanical system that reduces loading and unloading times, translating into a noticeable enhancement in the efficiency of the entire supply chain. Additionally, the total project cost, including materials and labor, remained at \$6240, conferring high competitiveness in the market. We can assert that designing a high-performance hydraulic leveling platform that not only meets safety standards but also enhances load and unload logistics through automation has been achieved. This drives supply chain automation, reinforcing the country's logistical infrastructure.

Keywords: Leveling platform, Hydraulic systems, Logistics automation, Efficiency in loading and unloading.:

ÍNDICE GENERAL

DEDICATORIA.....	2
AGRADECIMIENTOS	3
DECLARACIÓN EXPRESA.....	4
EVALUADORES	5
RESUMEN	6
ABSTRACT	7
ÍNDICE GENERAL	8
Capítulo 1.....	110
1.1 Introducción.....	23
1.2 Descripción del Problema	24
1.3 Justificación del problema	25
1.4 Objetivos.....	26
1.4.1 Objetivo general:	26
1.4.2 Objetivos específicos:.....	26
1.5 Marco Teórico	26
1.5.1 Importancia de las plataformas en la logística y el transporte.	27
1.5.2 Diseño de una plataforma niveladora.....	28
1.5.3 Principios hidráulicos y componentes importantes.....	34
1.5.4 Funcionamiento de las plataformas niveladoras hidráulicas	46
1.5.5 Normativas y estándares de seguridad	49
1.5.6 Problemas comunes y soluciones.....	54
1.5.7 Innovaciones y tendencias en las plataformas niveladoras hidráulicas	55

1.5.8 Las plataformas niveladoras hidráulicas son elementos fundamentales en la logística y el transporte.....	58
Capítulo 2.....	60
2.1 Metodología.....	61
2.1.1 Parámetros para análisis de alternativas	62
2.1.2 Modelo 1: Plataforma hidráulica Mecánica con labio abatible.	67
2.1.3 Modelo 2: Plataforma hidráulica con labio abatible con dos niveles de funcionamiento.	67
2.1.4 Modelo 3	68
2.1.5 Modelo 4	69
2.1.6 Diseño de componentes del andén hidráulico.....	74
2.1.7 Formulas ASD en compresión.	75
Capítulo 3.....	73
3.1 Resultados y análisis	80
3.1.1 Resultados detallados de los componentes y las piezas para el diseño de la plataforma	80
3.1.2 Ubicación del montacargas en la rampa niveladora.	81
3.1.3 Diseño de la plataforma principal.	86
3.1.4 Diseño del piso de la plataforma.	87
3.1.5 Cálculo de viga sujeción horquilla delantera.....	90
3.1.6 Espesor del soporte del cilindro principal.	90
3.1.7 Selección de cilindro.....	92
3.1.8 Selección de cilindro de plataforma.....	92
3.1.9 Selección de la bomba hidráulica.....	97

3.2 Nota: Datos tomados de: http:// www.youblisher.com/files/publications	98
3.3 Presupuesto general	98
3.3.1 Análisis Financiero.....	99
3.3.2 Estudio De Costos.....	99
3.4 Costo de materiales.....	99
3.5 COSTO DEL SISTEMA HIDRÁULICOS.....	100
3.6 Nota: Desarrollado por el autor del documento.....	101
3.7 Costo del sistema eléctrico.....	101
3.8 Costos de insumos indirectos.....	¡Error! Marcador no definido.
3.9 Nota: Desarrollado por el autor del documento.....	102
3.11 Costo Total.....	103
Capítulo 4.....	105
4.1.1 Conclusiones.....	106
4.1.2 Recomendaciones.....	107
4.2 APÉNDICE B DATOS IMPORTANTES PARA REALIZAR CÁLCULOS	127
4.3 Cálculos valores importantes para el diseño de los componentes del sistema Hidráulico.	127
4.3.1 Distribución del peso en el montacarga.....	127
4.4 Características del Montacargas.....	127
4.5 Cargas vivas.....	128
4.5.1 Análisis de la ubicación del montacargas en la rampa niveladora.	131
4.6 Datos para cálculo con el eje delantero.....	132
4.7 Resultados de las fuerzas actuantes en los apoyos.....	132

4.8 Diagrama de corte y momento en la primera ubicación con el eje posterior en el centro de los apoyos.....	133
4.9 Datos para cálculo con el eje delantero y trasero.....	134
4.10 Resultados de las fuerzas actuantes en los apoyos.....	134
4.11 Diagrama de corte y momento cuando el montacargas se encuentra entre los dos apoyos.....	136
4.12 Ubicación del eje delantero en medio de la rampa y eje posterior fuera de la rampa.....	137
4.13 Resultados de las fuerzas actuantes en los apoyos.....	137
4.13.1 Diseño de la plataforma principal.	138
4.14 Datos para el cálculo del esfuerzo y deflexión.....	142
4.15 Resultados de esfuerzo y deflexión.....	142
4.15.1 Diseño del piso de la plataforma.	142
4.16 Esquema del piso de la plataforma.....	143
4.17 Resultados de las fuerzas actuantes en el piso de la plataforma.....	143
4.18.1 Diseño de eje pasador para bisagras trasera y labio.	146
4.19 Esquema de eje pasador para bisagra y labio.....	146
4.20 Diagrama de cuerpo libre pasador bisagra.....	147
4.21.1 Dimensionamiento del espesor para el buje de la bisagra.	148
Esquema de la bisagra.....	149
Tabla de calidades.	151
4.21.2 Diseño de columnas posteriores.....	151
4.22 Reacciones que se soporta en las columnas.....	152
4.23 Nota: Desarrollado por el autor del documento.....	152

4.24 <i>Sección de un perfil estructural</i>	153
4.25.1 <i>Diseño de viga posterior</i>	154
4.26 <i>Esquema de la viga posterior</i>	155
4.27 <i>Figura 26</i>	156
4.28 <i>Sección de perfil L</i>	156
4.28.1 <i>Diseño del labio</i>	156
4.30 <i>Esquema del labio a compresión</i>	159
4.31 <i>Resultado de Inercias y Área</i>	159
4.31.1 <i>Cálculo de viga sujeción horquilla delantera</i>	162
4.32 <i>Esquema de la viga porta horquilla</i>	162
4.33 <i>Resultados de las fuerzas actuantes en la viga porta horquilla</i>	162
4.34 <i>Diagrama de corte y momento para horquilla delantera</i>	163
4.35 <i>Especificaciones del perfil cuadrado 100 x 100 x 3 mm</i>	163
4.35.1 <i>Cálculo de espesor del soporte del cilindro principal</i>	164
4.36 <i>Descomposición de fuerzas</i>	164
4.37 <i>A) Fuerza actuante en bisagra. B) Sección del cordón de soldadura</i>	167
2.4.13.3 <i>Soldadura en viga de sujeción horquilla delantera</i>	167
4.38 <i>Viga de unión soldada</i>	168
4.39 <i>Unión entre buje de bisagra con el labio</i>	168
4.39.1 <i>Selección de cilindro</i>	170
4.39.2 <i>Selección de cilindro de plataforma</i>	170
4.40 <i>Angulo de inclinación del cilindro</i>	170
4.41 <i>Elevación máxima del cilindro con la plataforma</i>	171
4.42 <i>Factor de anclaje de cilindro</i> . ⁵⁰	172

4.43 <i>Desplazamiento máximo del cilindro de labio</i>	175
4.43.1 Selección de la bomba hidráulica.	176
4.44 <i>Selección de manguera de alta presión para el cilindro principal</i>	176
4.45 <i>Selección de manguera de alta presión para el labio</i>	177

ABREVIATURAS

ESPOL	Escuela Superior Politécnica del Litoral
ASTM	American Society for Testing and Materials
NACE	National Association of Corrosion Engineer
SSC	Electrodo de Plata Cloruro de Plata
CSE	Electrodo de Cobre Sulfato de Cobre
HWL	High Water Level
LWL	Low Water Level
CIS	Inspección pasó a paso, medición de potenciales de encendido
MPY	milésimas de pulgadas por año

SIMBOLOGÍA

P_t	Peso total.
P_d	Carga de diseño.
L	Longitud.
R	Reacciones.
V	Fuerza cortante.
M máx.	Momento máximo.
a	Longitud respecto a cada apoyo.
S_y	Esfuerzo de fluencia.
F_s	Factor de seguridad.
$[\sigma$ máx.]	Esfuerzo normal máximo admisible.
S	Módulo de sección.
I	Inercia.
C	Centroide.
b	Base.
h	Altura.
E	Módulo de elasticidad.
σ	Esfuerzo normal calculado.
Δ máx.	Deflexión máxima.
$[\tau$ máx.]	Esfuerzo máximo admisible en corte.
τ	Esfuerzo cortante calculado.
A	Área.
\varnothing	Diámetro.
t	Espesor del buje.
d_i	Diámetro interior.
d_e	Diámetro exterior.
K	Factor de apoyo.
r	Radio de giro mínimo.
C_c	Factor de pandeo.
F_a	Esfuerzo admisible a compresión.
F_b	Esfuerzo admisible a flexión.

fa	Esfuerzo real a compresión.
fb	Esfuerzo real a flexión.
Pcr	Carga crítica.
e	Espesor del perfil.
F	Fuerza de diseño.
Fx	Fuerza de diseño respecto al eje X.
Fy	Fuerza de diseño respecto al eje Y.
[Fv]	Esfuerzo permisible en corte para pernos.
F1	Fuerza de diseño en el cilindro de la plataforma.
F2	Fuerza de diseño en el cilindro del labio.
FH1	Fuerza horizontal respecto al eje X, en el cilindro.
FY1	Fuerza vertical respecto al eje Y, en el cilindro.
P1	Presión en el cilindro de la plataforma.
P2	Presión en el cilindro del labio.
Q	Caudal.
t	Tiempo.
V	Velocidad.
μ	Viscosidad cinemática.
NR	Número de Reynolds.
f	Coeficiente de rozamiento.
ΔP	Caída de presión.
Vc	Velocidad de corte.
δ	Densidad.

ÍNDICE DE FIGURAS

Figura 1 _____	29
Diseño de una plataforma hidráulica para muelles de carga y descarga _____	29
Figura 2 _____	30
Componentes principales de una plataforma niveladora. _____	31
Figura 3 _____	33
Muelles o andenes de carga y descarga _____	33
Figura 4 _____	34
Reducción de riesgos y posibles daños _____	34
Figura 5 _____	35
Principio de Pascal _____	35
Figura 6 _____	36
Transmisión de potencia _____	36
Figura 7 _____	36
Transmisión de potencia a través de una tubería _____	36
Figura 8 _____	38
Componentes del cilindro de simple efecto _____	38
Figura 9 _____	39
Accionamiento del cilindro hidráulico _____	39
Figura 10 _____	40
Corte esquemático de un cilindro hidráulico de doble efecto _____	40
Figura 11 _____	41
Posiciones de las válvulas distribuidoras 2/2 _____	41
Figura 12 _____	42
Descripción de la válvula 3/2 _____	42
Figura 13 _____	43
Diagramas de válvulas de bloqueo _____	43

Figura 14 _____	44
Simbología de válvulas reguladoras de presión _____	44
Figura 15 _____	45
Simbología de válvulas reguladoras de caudal _____	45
Figura 16 _____	48
Carga y descarga manual de materia prima _____	48
Figura 17 _____	49
Diferencia de alturas en muelles de carga y descarga _____	49
Figura 18 _____	61
Diagrama de bloques de la metodología del diseño. _____	61
Figura 19 _____	74
Material en tensión _____	74
Figura 20 _____	67
Plataforma hidráulica con un solo cilindro principal _____	68
Figura 21 _____	69
Plataforma hidráulica con dos solo cilindros principales _____	69
Figura 22 _____	81
Figura 23 _____	82
Ubicación del eje delantero fuera de la rampa y el eje posterior en el centro de la plataforma. _____	82
Figura 24 _____	83
Ubicación del montacarga entre los dos apoyos. _____	83
Figura 25 _____	83
Diagrama de corte y momento cuando el montacargas se encuentra entre los dos apoyos. _____	84
Figura 26 _____	84
Ubicación del eje delantero en medio de la rampa y eje posterior fuera de la rampa. ____	84
Figura 27 _____	85

Diagrama de momento cortante y flector _____	85
Figura 28 _____	86
Esquema de la plataforma. _____	86
Figura 29 _____	86
A) Sección de perfil estructural C 200x50x6. B) Sección transversal. _____	86
Figura 30 _____	88
Esquema del piso de la plataforma. _____	88
Figura 31 _____	88
Esquema del labio a compresión. _____	89
Figura 32 _____	89
Sección transversal del labio. _____	89
Figura 33 _____	90
Esquema de la viga porta horquilla. _____	90
Figura 34 _____	90
Descomposición de fuerzas. _____	90
Figura 35 _____	91
Sección del cordón de soldadura entre porta columna y la base. _____	91
Figura 36 _____	92
Angulo de inclinación del cilindro. _____	92
Figura 37 _____	93
Elevación máxima del cilindro con la plataforma. _____	93
Figura 38 _____	94
Factor de anclaje de cilindro. ⁵⁰ _____	94
Figura 39 _____	96
Desplazamiento máximo del cilindro de labio. _____	96
Figura 40 _____	125
Figura 41 _____	126

ÍNDICE DE TABLAS

Tabla 1	62
Tabla 2	64
Tabla 3	66
Tabla 4	66
Tabla 5	71
Tabla 6	81
Tabla 7	82
Tabla 8	83
Tabla 9	84
Tabla 10	87
Tabla 11	87
Tabla 12	88
Tabla 13	89
Tabla 14	90
Tabla 15	97
Tabla 16	98
Tabla 17	98
Tabla 18	127
Tabla 19	128

ÍNDICE DE PLANOS

PLANO 1 Plano de la plataforma hidráulica para muelles de carga y descarga.

PLANO 2 Sección Anexos A Planos de Estructura.

PLANO 3 Sección Anexos A Planos hidráulicos.

PLANO 3 Sección Anexos A Planos Sistema Eléctrico.

Capítulo 1

1.1 Introducción

En la actualidad, el transporte y la logística desempeñan un papel fundamental en el funcionamiento eficiente de las cadenas de suministro. Para las empresas que manejan mercaderías, especialmente aquellas que trabajan con elementos pesados o de gran volumen, la carga y descarga de materia prima o productos terminados es una actividad crítica que requiere una atención especial. En este contexto, el diseño de una plataforma niveladora mediante un sistema hidráulico para andenes de carga y descarga se presenta como una solución clave para optimizar este proceso y mejorar la eficiencia operativa.

Las rampas niveladoras, los abrigos de muelle y los túneles isotérmicos son elementos esenciales que ofrecen numerosas ventajas a las empresas que manejan mercaderías en cadena fría. Estas soluciones proporcionan un entorno seguro y controlado para el movimiento de mercancías entre los camiones y el área de almacenamiento o producción. Además, permiten una carga y descarga más eficiente al garantizar un alineamiento adecuado entre los andenes y los vehículos de transporte (Pérez, 2018).

En este contexto, el presente trabajo se enfoca en el diseño de una plataforma niveladora mediante un sistema hidráulico para andenes de carga y descarga de materia prima o productos terminados. El objetivo principal es desarrollar una solución que garantice una transición suave y segura entre el camión y el área de carga, mejorando la eficiencia de las operaciones logísticas y minimizando los riesgos asociados con la manipulación de los productos.

Para lograr este objetivo, se realizará un análisis detallado de las necesidades y requisitos específicos de las empresas que operan en este contexto. Se considerarán factores como el tipo de carga, el peso, las dimensiones, las características del área de carga y las regulaciones de seguridad correspondientes. Además, se explorarán los principios y las tecnologías disponibles para el diseño de plataformas niveladoras y sistemas hidráulicos, con el fin de seleccionar la solución más adecuada para el problema planteado.

En resumen, el diseño de una plataforma niveladora mediante un sistema hidráulico para andenes de carga y descarga se presenta como una solución crucial para mejorar la eficiencia y seguridad en las operaciones logísticas. A través de este trabajo, se desarrolla una solución personalizada que se adapte a las necesidades específicas de las empresas y contribuya al óptimo funcionamiento de sus cadenas de suministro. El siguiente capítulo profundiza en el contexto teórico y la revisión de la literatura relacionada con este tema, sentando las bases para el desarrollo del diseño propuesto.

1.2 Descripción del Problema

La empresa Sarcofruit S.A., actualmente se enfrenta a un problema significativo en el proceso de carga y descarga de productos en cadena fría. El cliente retira los productos utilizando camiones cuyas alturas no coinciden con la del andén de carga, lo cual dificulta el acceso del montacargas al camión. Esta disparidad de alturas entre los camiones de los clientes o proveedores ocasiona retrasos y pérdida de tiempo significativa en cada operación.

La diversidad de alturas de los camiones impide que se pueda mantener un flujo de trabajo fluido y eficiente. Para intentar resolver esta discrepancia, se utilizan rampas en cada operación, pero este enfoque resulta en una solución lenta y poco eficiente. Los usuarios y clientes se ven afectados por tiempos de espera más prolongados de lo normal, lo que disminuye la calidad del servicio y afecta la satisfacción del cliente.

La importancia de resolver este problema radica en la mejora fundamental del proceso de carga y descarga de productos en cadena fría en Sarcofruit S.A. La eficiencia y fluidez en estas operaciones son de vital importancia para mantener el ritmo adecuado de la cadena de suministro y garantizar la calidad de los productos. Además, la optimización de este proceso contribuirá a minimizar el riesgo de daños en los productos sensibles a la temperatura y evitar pérdidas financieras.

Este problema es altamente relevante en la actualidad y se presta para la observación, medición, análisis y mejora continua. A través de la implementación de una plataforma niveladora, mediante un sistema hidráulico adaptado a las necesidades específicas de

Sarcofruit S.A., será posible obtener una solución personalizada y eficiente que asegure una transición suave y segura entre los camiones y los andenes de carga.

1.3 Justificación del problema

La empresa Sarcofruit S.A. se enfrenta al desafío de optimizar los tiempos y mejorar la eficiencia del proceso de carga y descarga de los productos que comercializa. Con el objetivo de abordar esta necesidad, se plantea el diseño total de una plataforma niveladora utilizando un sistema hidráulico. Este diseño permitirá mejorar y automatizar los procesos de carga y descarga, lo que a su vez mejorará la seguridad, la eficacia y brindará protección y confort a los clientes de la empresa.

Las plataformas niveladoras hidráulicas son una solución ideal debido a su bajo costo de operación y mantenimiento. Además, facilitan los procesos de carga y descarga al minimizar las pérdidas de temperatura y mantener la cadena fría de los productos. La implementación de esta plataforma niveladora permitirá a Sarcofruit SA asegurar que sus productos se mantengan en condiciones óptimas durante todo el proceso logístico.

Además, el uso de un sistema hidráulico en la plataforma niveladora requerirá únicamente la intervención de una persona para manipularla y acoplarla de manera efectiva. Esto reducirá la necesidad de mano de obra y permitirá obtener mejores resultados en la producción y en la calidad del servicio ofrecido.

Por lo tanto, el diseño de una plataforma niveladora mediante un sistema hidráulico se presenta como una solución integral para optimizar los tiempos, mejorar la eficiencia y garantizar la calidad de servicio en los procesos de carga y descarga de la empresa. Esta iniciativa no solo mejorará su operatividad interna, sino que también repercutirá positivamente en la satisfacción de los clientes y en la rentabilidad del negocio.

1.4 Objetivos

1.4.1 Objetivo general:

- Diseñar una plataforma niveladora con labio abatible, mediante sistemas hidráulicos para la carga y descarga de productos de cadena fría en la empresa Sarcofruit SA, que cumpla con las normas de construcción y seguridad.

1.4.2 Objetivos específicos:

- Diseñar una plataforma hidráulica que sea fácil de operar y que permita regular la altura requerida y automatizar el proceso de carga y descarga de productos de cadena fría.
- Seleccionar un diseño que cumpla con los requerimientos del cliente y que se adapte a las condiciones de trabajo y esfuerzos a los que estará sometido.
- Elaborar los planos de construcción correspondientes a la plataforma hidráulica para su implementación en los andenes de carga y descarga de la empresa.
- Presentar un presupuesto de construcción con materiales que se comercialicen en el país para proveer un producto accesible al cliente.

1.5 Marco Teórico

Las plataformas niveladoras hidráulicas desempeñan un papel crucial en la logística y el transporte, ya que permiten una carga y descarga eficiente y segura de mercancías en camiones y almacenes. Estas herramientas son fundamentales para optimizar las operaciones y garantizar la integridad de la mercadería durante su manipulación. Con su funcionamiento hidráulico y ajuste de altura, las plataformas niveladoras facilitan el flujo de productos, mejorando la productividad y minimizando los riesgos de lesiones y daños. (DirectIndustry, s.f.)

1.5.1 Importancia de las plataformas en la logística y el transporte.

Los aspectos relacionados con las plataformas hidráulicas niveladoras y su importancia en diferentes áreas clave se exploran en este texto. A medida que avanzamos en el análisis, profundizamos en los siguientes temas:

1. **Eficiencia:** Las plataformas hidráulicas niveladoras mejoran la eficiencia en los procesos de carga y descarga, agilizando las operaciones logísticas y optimizando los tiempos de entrega.
2. **Seguridad para los trabajadores:** Estas plataformas contribuyen a garantizar un entorno seguro, reduciendo los riesgos asociados con la carga y descarga y priorizando la protección de los trabajadores.
3. **Adaptabilidad a diferentes alturas y tamaños de camiones:** Las plataformas hidráulicas niveladoras se ajustan a diversas alturas y tamaños de camiones, facilitando la carga y descarga eficiente y adaptándose a las características individuales de cada vehículo.
4. **Optimización de la cadena de suministro:** Desempeñan un papel crucial en la optimización de la cadena de suministro, asegurando un flujo continuo y fluido de mercancías, lo que es esencial para el éxito empresarial.
5. **Reducción de daños a la mercancía:** Estas plataformas ayudan a minimizar los daños a la mercancía durante las operaciones de carga y descarga, manteniendo así la integridad de los productos y la satisfacción del cliente.

En este texto, se examina detalladamente cada uno de estos temas, destacando los beneficios y las mejores prácticas asociadas con las plataformas hidráulicas niveladoras en el entorno logístico.

Sobre la eficiencia es necesario conocer que las plataformas niveladoras facilitan la carga y descarga de mercancías de manera rápida y eficiente. Al ajustar la altura de la plataforma al nivel del camión o almacén, se reduce el tiempo de inactividad y se minimizan

los retrasos en la cadena de suministro. Esto se traduce en una mayor productividad y un flujo de trabajo más suave (Smith, 2019).

Mientras que en el aspecto de la seguridad para los trabajadores se debe tomar en cuenta que las plataformas niveladoras proporcionan entorno de trabajo apropiado para los operarios. Al ajustar la altura y el ángulo de la plataforma, se elimina la necesidad de levantar manualmente cargas pesadas, reduciendo el riesgo de lesiones musculoesqueléticas y accidentes laborales. Además, las características de seguridad incorporadas, como los pasamanos y las barreras de protección, brindan protección adicional (Johnson, 2020).

Adaptabilidad a diferentes alturas y tamaños de camiones.

Las plataformas niveladoras hidráulicas son altamente adaptables y pueden ajustarse para adaptarse a una amplia variedad de alturas y tamaños de camiones. Esto es especialmente importante en el transporte y la logística, donde los camiones pueden tener diferentes alturas de caja o incluso configuraciones de doble altura. La capacidad de ajuste garantiza una conexión segura y eficiente entre el camión y la plataforma (Brown, 2018).

Optimización de la cadena de suministro.

Al agilizar el proceso de carga y descarga, las plataformas niveladoras hidráulicas contribuyen a la optimización de la cadena de suministro en general. Al minimizar los tiempos de espera y los retrasos, se mejora la eficiencia y se reducen los costos operativos. Además, una carga y descarga eficiente permite un mejor aprovechamiento del espacio en el almacén o en el camión, lo que se traduce en un aumento de la capacidad de carga (Clark, 2021).

Reducción de daños a la mercancía.

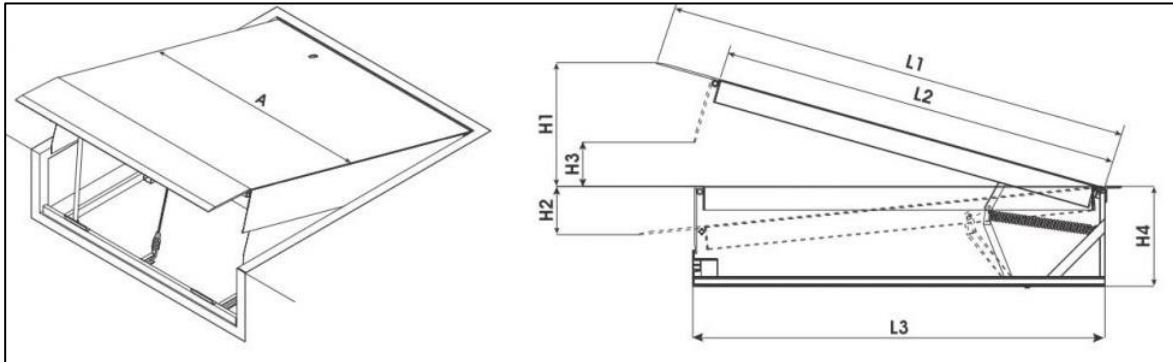
Al proporcionar una conexión estable y nivelada entre el camión y la plataforma, se reduce el riesgo de daños a la mercancía durante el proceso de carga y descarga. Esto es especialmente importante para productos frágiles o sensibles, como equipos electrónicos o productos perecederos (Miller, 2017).

1.5.2 Diseño de una plataforma niveladora.

Implica la creación de una estructura que se ajuste a las necesidades específicas de carga y descarga de productos de cadena fría. El sistema hidráulico se utilizará para controlar

el movimiento y la nivelación de la plataforma, asegurando un proceso de carga y descarga seguro y eficiente. En la figura 1, se presenta esquema de plataforma.

FIGURA 1
DISEÑO DE UNA PLATAFORMA HIDRÁULICA PARA MUELLES DE CARGA Y DESCARGA



Nota: Plano de la plataforma hidráulica para muelles de carga y descarga. Obtenido de: Dock-Depot, Equipo de andén y puertas industriales.

La plataforma niveladora actuará como un puente entre el área de carga y el montacargas, permitiendo que los productos sean transferidos de manera suave y sin problemas. Además, se debe garantizar que la plataforma cumpla con las normas de construcción y seguridad aplicables, lo que implica tener en cuenta los estándares de peso máximo, resistencia estructural y medidas de prevención de accidentes.

El diseño de la plataforma niveladora considera factores como la capacidad de carga, el tamaño y el tipo de productos a ser transportados, así como las limitaciones físicas del área en la que será instalada. También es necesario garantizar un sistema de seguridad adecuado, como barandillas de protección y sistemas de bloqueo, para prevenir caídas y lesiones durante la operación. (FREMAP,2020)

Al diseñar una plataforma niveladora mediante un sistema hidráulico para la carga y descarga de productos de cadena fría será importante utilizar un montacargas. La misma debe cumplir con las normas de construcción y seguridad, garantizando un proceso eficiente y seguro de transferencia de productos.

1.5.2.1 Definición y descripción de las plataformas niveladoras hidráulicas.

Las plataformas niveladoras hidráulicas son dispositivos utilizados en la industria y el comercio para facilitar la carga y descarga de mercancías en camiones y muelles de carga. Estas plataformas están diseñadas para ajustarse a la altura adecuada del camión o muelle, lo que permite un traslado seguro y eficiente de la carga.

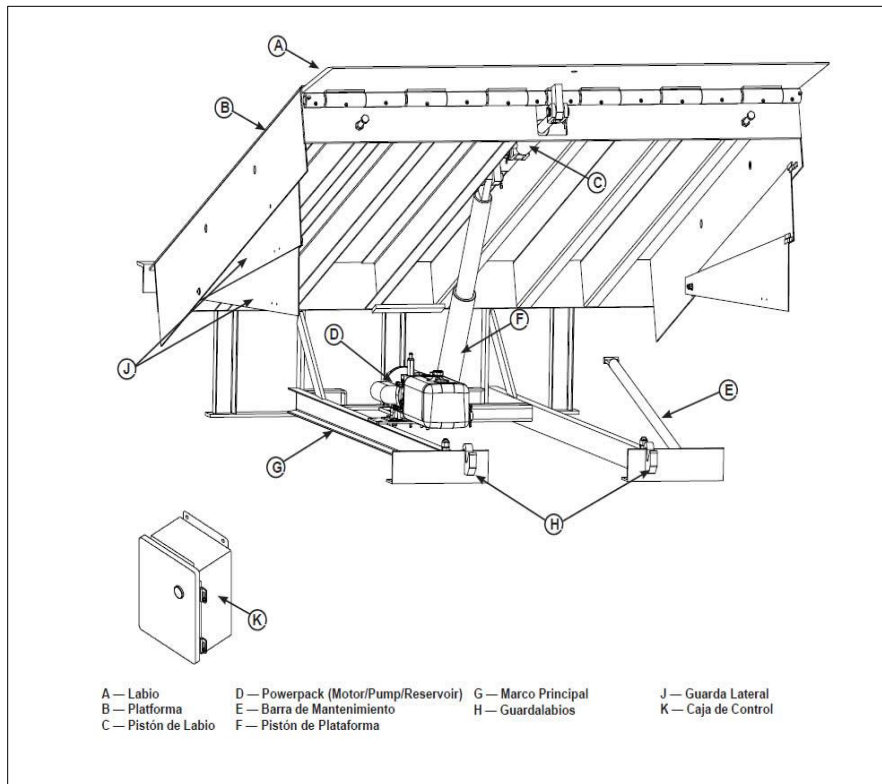
El sistema hidráulico desempeña un papel fundamental en el ajuste de la altura de la plataforma niveladora. Está compuesto por una bomba hidráulica que genera presión y un circuito de tuberías y válvulas que dirigen el flujo de aceite hacia el cilindro hidráulico. (Fuente: Guía de Seguridad en procesos de Almacenamiento y Manejo de..., s.f.)

1.5.2.2 Componentes principales y funcionalidad.

Los componentes de una plataforma niveladora con labio abatible son fundamentales para garantizar un proceso de carga y descarga seguro y eficiente. En la imagen adjunta, se pueden observar claramente estos componentes que trabajan en conjunto para asegurar una transición suave entre el camión y el muelle de carga. El labio abatible, que se destaca en la imagen, juega un papel crucial al ajustarse al nivel del camión y proporcionar una conexión segura. Además, elementos como las placas de apoyo, el sistema hidráulico de elevación y las estructuras de soporte contribuyen a la estabilidad y funcionalidad de la plataforma. Estos componentes, en conjunto, permiten una operación fluida y segura, reduciendo los riesgos de daños a la mercancía y mejorando la eficiencia en la cadena logística.

FIGURA 2

COMPONENTES PRINCIPALES DE UNA PLATAFORMA NIVELADORA.



Nota. La figura muestra algunos de los componentes más importantes de una plataforma hidráulica. Obtenido de: Obtenido de: Dock-Depot, Equipo de andén y puertas industriales.

Plataforma.

La plataforma es el elemento central en las operaciones de carga y descarga de mercancías. Se trata de una superficie resistente y robusta diseñada específicamente para soportar el peso de los productos que se manipulan. Pueden estar fabricadas en materiales como el acero o el aluminio, que proporcionan una alta resistencia y durabilidad. Además, es común que contengan una superficie antideslizante, como rugosidades o texturas especiales, que ayudan a prevenir accidentes al proporcionar un mejor agarre a los trabajadores y a los equipos de carga.

Labio de la plataforma.

El labio de la plataforma es una parte móvil esencial que se encuentra en el extremo de la plataforma y se extiende hacia el camión o el muelle de carga. El labio cumple una función crucial al actuar como un puente entre la plataforma y el camión, permitiendo un

acceso seguro y eficiente a la zona de carga. Gracias a su diseño articulado, el labio puede ajustarse a diferentes alturas de camiones, adaptándose así a las necesidades específicas de cada operación. Además, el labio asegura un sellado adecuado entre la plataforma y el camión, evitando espacios vacíos o brechas que puedan presentar riesgos de seguridad o daños a la mercancía durante el proceso de carga y descarga.

Cilindro hidráulico.

El cilindro hidráulico es un componente fundamental del sistema hidráulico de la plataforma niveladora. Está conectado al labio y permite su movimiento hacia arriba y hacia abajo de manera controlada. Este cilindro es accionado por una bomba hidráulica y está equipado con válvulas que regulan el flujo de aceite dentro del sistema. Cuando se activa, el cilindro hidráulico aplica la fuerza necesaria para levantar o bajar el labio de la plataforma, asegurando un ajuste preciso de la altura de carga en relación con el camión. Este mecanismo de elevación controlada facilita una alineación perfecta entre la plataforma y el camión, lo que resulta en una carga y descarga eficiente y segura.

Descripción del sistema hidráulico y su papel en el ajuste de la altura de la plataforma.

Cuando se necesita ajustar la altura de la plataforma, la bomba hidráulica se activa, generando presión en el aceite. Este aceite presurizado fluye a través de las válvulas hacia el cilindro hidráulico, lo que provoca que el labio de la plataforma se eleve o descienda según sea necesario.

El sistema hidráulico también puede estar equipado con otros componentes, como sensores de posición que detectan la altura del camión o muelle y controladores electrónicos que automatizan el proceso de ajuste.

Las plataformas niveladoras hidráulicas son dispositivos esenciales en la industria y el comercio para facilitar la carga y descarga de mercancías. Sus componentes principales, como la plataforma, el labio y el cilindro hidráulico, trabajan en conjunto con el sistema

hidráulico para ajustar la altura de la plataforma de manera segura y eficiente. (Manual de Instrucciones Para El Hagie Hi-Tractor Modelo STS 10..., s.f.)

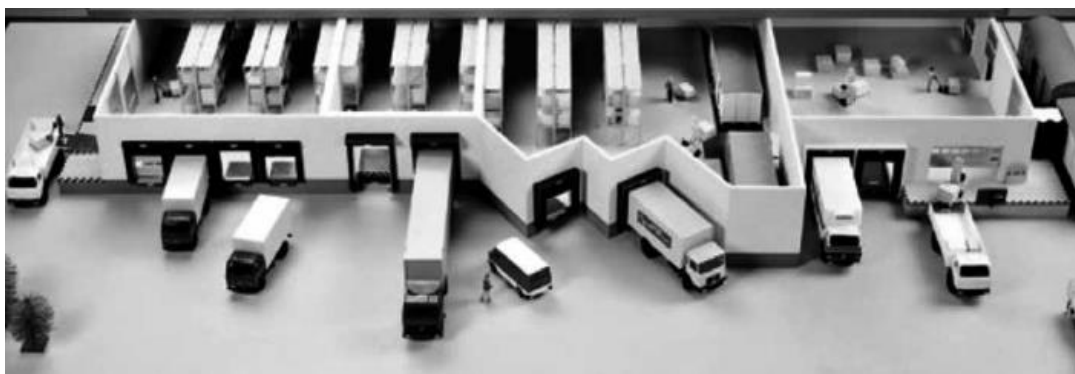
1.5.2.3 Beneficios y aplicaciones de las plataformas niveladoras hidráulicas

Las plataformas niveladoras hidráulicas ofrecen una serie de beneficios y tienen diversas aplicaciones en la industria y el comercio. Algunos de estos beneficios y aplicaciones son los siguientes:

Mejora de la eficiencia en la carga y descarga de mercancías.

Las plataformas niveladoras hidráulicas permiten ajustar la altura de la plataforma al nivel del camión o muelle de carga, lo que facilita el traslado de mercancías de manera rápida y eficiente. Esto agiliza el proceso de carga y descarga, reduciendo los tiempos de espera y mejorando la productividad en los almacenes y centros de distribución.

FIGURA 3
MUELLES O ANDENES DE CARGA Y DESCARGA



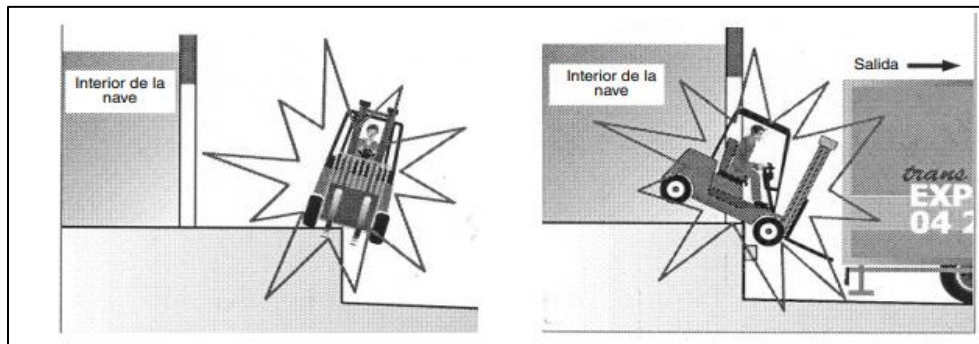
Nota. La figura muestra los muelles de carga y descarga los cuales tienen un área de parqueadero. Obtenido de: Instituto Nacional de Seguridad en el Trabajo (INSHT).

Reducción de riesgos de lesiones y daños a la mercancía.

Al ajustar la altura de la plataforma al nivel adecuado, se crea un puente seguro entre el camión o muelle y la plataforma niveladora. Esto evita los riesgos de caídas (figura 4), tropiezos o lesiones por carga y descarga insegura. Además, las plataformas niveladoras hidráulicas ayudan a prevenir daños a la mercancía, ya que proporcionan una superficie

estable y nivelada para el movimiento de los equipos de carga. (BVCM019057 Principales riesgos laborales en los centros de..., s.f.)

FIGURA 4
REDUCCIÓN DE RIESGOS Y POSIBLES DAÑOS



Nota: La figura muestra los posibles riesgos que pueden ocurrir en el proceso de carga y descarga de materia prima. Obtenido de: Instituto Nacional de Seguridad en el Trabajo (INSHT).

Uso en almacenes, centros de distribución y muelles de carga.

Las plataformas niveladoras hidráulicas son ampliamente utilizadas en diferentes entornos logísticos. Se instalan en almacenes, centros de distribución y muelles de carga para facilitar el flujo de mercancías entre los camiones y las áreas de almacenamiento. Estas plataformas son especialmente útiles en situaciones en las que los camiones varían en altura o cuando se requiere un ajuste preciso de la altura para una carga o descarga segura (GESTIÓN LOGÍSTICA EN CENTROS DE DISTRIBUCIÓN Y..., s.f.)

1.5.3 Principios hidráulicos y componentes importantes.

1.5.3.1 Principio de Pascal.

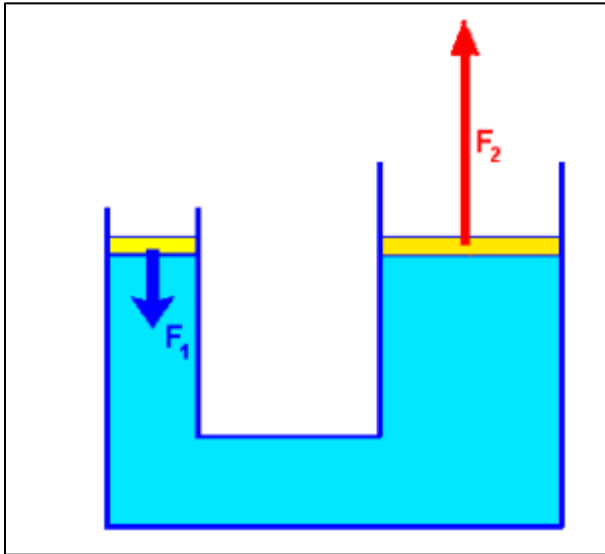
Los sistemas hidráulicos se basan en el principio de Pascal, descubierto por el físico francés Blaise Pascal. Este principio establece que:

“Un cambio de presión aplicado a un líquido en reposo dentro de un recipiente se transmite sin alteración a través de todo el líquido. Esta presión actúa en todas las direcciones y genera fuerzas perpendiculares a las paredes del recipiente”. (Blaise Pascal)

Una aplicación práctica de este principio se encuentra en las prensas hidráulicas (figura 5) , que consisten en dos émbolos de diferente diámetro conectados entre sí ;y operados por un líquido. (Pérez, 2021)

FIGURA 5

PRINCIPIO DE PASCAL



Nota. La figura indica el funcionamiento del principio de Pascal. Obtenido de: Dock-Depot, Equipo de andén y puertas industriales.

Al ejercer una fuerza F_1 sobre el émbolo pequeño de área S_1 , se crea una presión P en el líquido bajo el émbolo de valor F_1/S_1 . Esta presión se transmite a toda la masa de líquido y ejerce una fuerza F_2 en el émbolo grande, relacionada por la fórmula 1.1:

$$\frac{F_1}{S_1} = \frac{F_2}{S_2} \quad (1.1)$$

En otras palabras, la fuerza ejercida por el líquido sobre el émbolo grande es proporcional a la fuerza aplicada inicialmente y a la relación de las áreas de los émbolos.

La fuerza resultante (F_2) se calcula multiplicando la fuerza inicial (F_1) por la relación entre las áreas de los émbolos (S_2 / S_1). Si el área del émbolo grande es el doble que el área del émbolo pequeño, la fuerza ejercida por la prensa será el doble de la fuerza inicial (ecuación 1.2); si la relación es triple, la fuerza resultante será triple, etc.

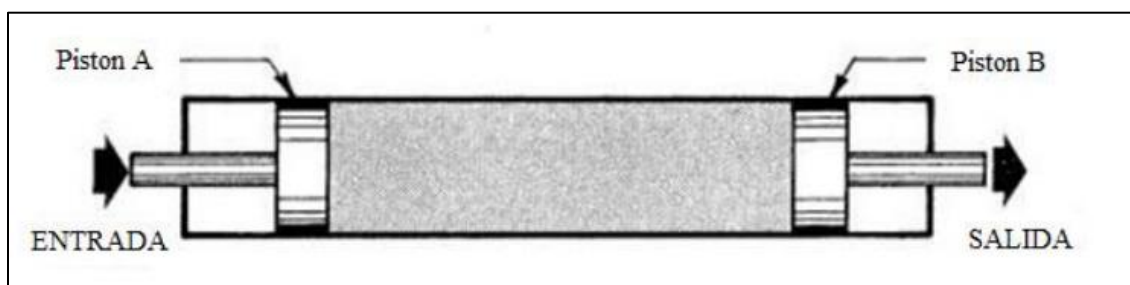
$$F_2 = F_1 \frac{S_2}{S_1} \quad (1.2)$$

1.5.3.2 Transmisión de potencia.

La transmisión de potencia en los sistemas hidráulicos se basa en el principio de Pascal. Una fuerza mecánica o trabajo aplicado en un pistón A genera una presión interna en el fluido, ejerciendo una fuerza de empuje en un pistón B. (figura 6)

FIGURA 6

TRANSMISIÓN DE POTENCIA

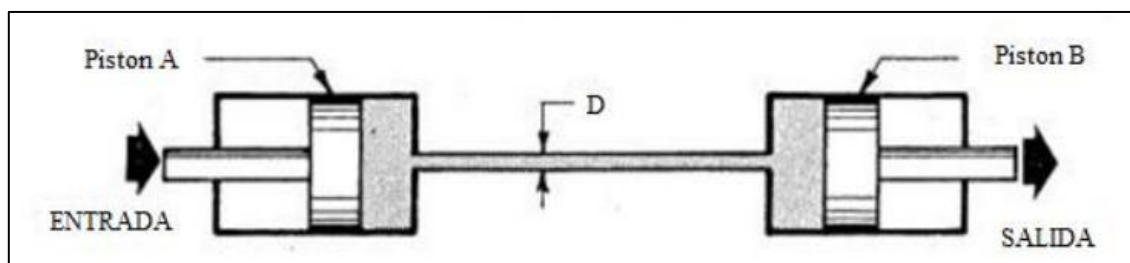


Nota: En la figura muestra un cilindro hidráulico que ejemplifica la transmisión de potencia, Obtenido de: Instituto Nacional de Seguridad en el Trabajo (INSHT).

Según la ley de Pascal, la presión desarrollada en el fluido es igual en todos los puntos, lo que significa que la fuerza desarrollada en el pistón B es igual a la fuerza aplicada en el fluido por el pistón A. Esto es válido cuando los diámetros de ambos pistones son iguales (figura 7).

FIGURA 7

TRANSMISIÓN DE POTENCIA A TRAVÉS DE UNA TUBERÍA



Nota: La figura señala cómo se da una transmisión de potencia mediante una tubería, Obtenido de: (INSHT).

1.5.3.3 Bombas hidráulicas.

Las bombas hidráulicas son dispositivos que transforman energía mecánica en energía de presión transmisible a través de un líquido en un sistema hidráulico. Su función principal es impulsar el aceite o líquido hidráulico, convirtiendo la energía mecánica rotatoria en energía hidráulica.

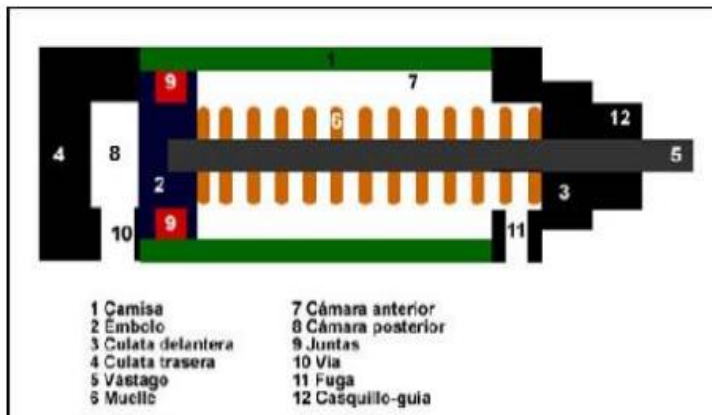
El propósito principal de una bomba hidráulica es suministrar un flujo de líquido a un sistema hidráulico. La bomba no crea la presión del sistema, ya que la presión solo puede generarse mediante una resistencia al flujo. Sin embargo, la bomba transmite una fuerza al líquido a medida que proporciona flujo. Esta fuerza se convierte en presión debido a la resistencia al flujo, que puede ser causada por restricciones en la trayectoria del líquido. La presión en el sistema hidráulico está controlada por la carga impuesta o la acción de un regulador de presión. (Duque, 2021).

1.5.3.4 Cilindros Hidráulicos.

Cilindro de simple efecto.

El trabajo se realiza en una dirección única del movimiento, y para permitir que el émbolo regrese a su posición inicial, se utiliza un resorte o muelle. Además, se colocan juntas de estanqueidad en el pistón y su vástago para evitar fugas de fluido entre el pistón y la camisa. Estas juntas están hechas de un material flexible que se adapta a las paredes de la camisa, asegurando un sellado hermético. Sin embargo, estas juntas solo se utilizan cuando la fuerza requerida y el movimiento son pequeños, ya que el muelle restringe el movimiento. Es recomendable que la distancia recorrida por el émbolo (carrera) no exceda en 3 veces su diámetro. (Guía De Válvulas De Control | Emerson).

FIGURA 8
COMPONENTES DEL CILINDRO DE SIMPLE EFECTO



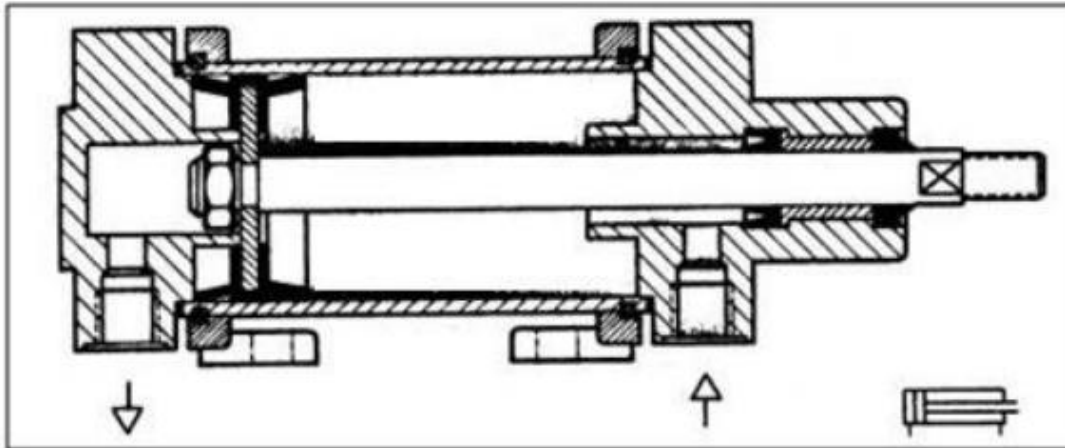
Nota. La figura indica cuáles son los componentes de un cilindro hidráulico, Obtenido de: Instituto Nacional de Seguridad en el Trabajo (INSHT).

Cilindro de doble efecto

Los cilindros de doble efecto se utilizan cuando el émbolo necesita realizar una acción tanto al avanzar como al retroceder a su posición inicial (figura 9). A diferencia de los cilindros de simple efecto, la carrera de los cilindros de doble efecto no está limitada en principio. Sin embargo, es importante tener en cuenta la posibilidad de pandeo y flexión que puede experimentar el vástago al salir. En estos casos, se utilizan labios y émbolos de membranas como empaquetaduras para asegurar un sellado adecuado y evitar fugas de fluido. Estos componentes son especialmente diseñados para adaptarse a las condiciones de funcionamiento y garantizar un rendimiento óptimo del cilindro de doble efecto.

FIGURA 9

ACCIONAMIENTO DEL CILINDRO HIDRÁULICO



Nota. La figura muestra cómo se da el accionamiento de un cilindro hidráulico de doble efecto. Obtenido de: (INSHT).

En los sistemas hidráulicos y neumáticos la energía es transmitida a través de tuberías, esta energía es función del caudal y presión del aire o aceite que circula en el sistema.

El cilindro es el dispositivo más utilizado para conversión de la energía antes mencionada en energía mecánica. "La presión del fluido determina la fuerza de empuje de un cilindro, el caudal de ese fluido es quien establece la velocidad de desplazamiento de este" (Universidad de San Carlos de Guatemala Facultad de Ingeniería). La combinación de fuerza y recorrido produce trabajo, y cuando este trabajo es realizado en un determinado tiempo produce potencia. Ocasionalmente a los cilindros se los llama "motores lineales". En la figura 9, vemos un corte esquemático de un cilindro típico. Este es denominado de doble efecto por que realiza ambas carreras por la acción del fluido.

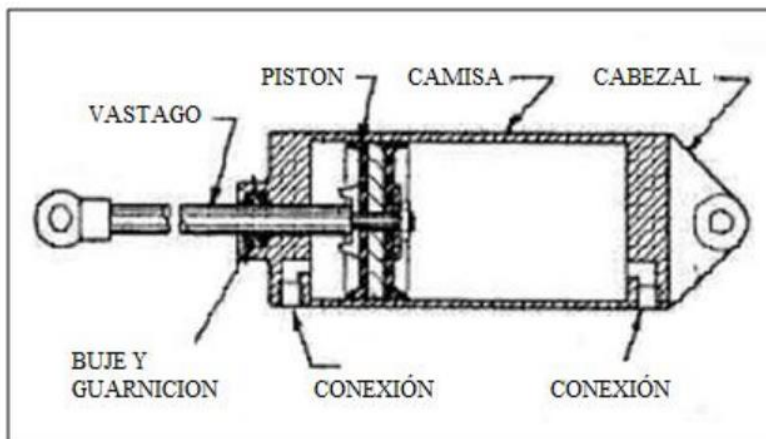
En los sistemas hidráulicos y neumáticos, la energía se transmite a través de tuberías, y esta energía está directamente relacionada con el caudal y la presión del aire o aceite que circula en el sistema.

A veces, los cilindros también se conocen como "motores lineales". En la figura 10 muestra un corte esquemático de un cilindro típico. Este cilindro en particular se denomina

“de doble efecto” porque es capaz de realizar tanto el movimiento de avance como el de retroceso gracias a la acción del fluido. Esto significa que el fluido actúa sobre el émbolo en ambas direcciones, permitiendo que el cilindro realice diferentes tareas y movimientos en ambos sentidos.

FIGURA 10

CORTE ESQUEMÁTICO DE UN CILINDRO HIDRÁULICO DE DOBLE EFECTO



Nota: En esta figura podemos observar un corte esquemático de un cilindro hidráulico de doble efecto, Obtenido de: Instituto Nacional de Seguridad en el Trabajo (INSHT).

Las partes de trabajo esenciales son:

- 1) La camisa cilíndrica encerrada entre dos cabezales.
- 2) El pistón con sus guarniciones.
- 3) El vástago con su buje y guarnición.

1.5.3.5 Válvulas

Una válvula se define como un dispositivo mecánico utilizado para iniciar, detener o regular el flujo de líquidos o gases mediante una pieza móvil que abre, cierra u obstruye parcialmente uno o más orificios o conductos.

Las válvulas desempeñan un papel crucial en una amplia gama de industrias, siendo instrumentos de control esenciales (Válvulas y Tuberías Industriales,2019). Gracias a su diseño y materiales de construcción, las válvulas son capaces de realizar diversas funciones, como abrir y cerrar, conectar y desconectar, regular, modular o aislar una amplia variedad de

líquidos y gases, desde los más simples hasta los corrosivos o tóxicos. Estas pueden adaptarse a diferentes tamaños, desde fracciones de pulgada hasta diámetros de más de 30 pies (9 metros) o incluso más (Centro Español de Plásticos,2022).

1.5.3.6 Tipos de válvulas.

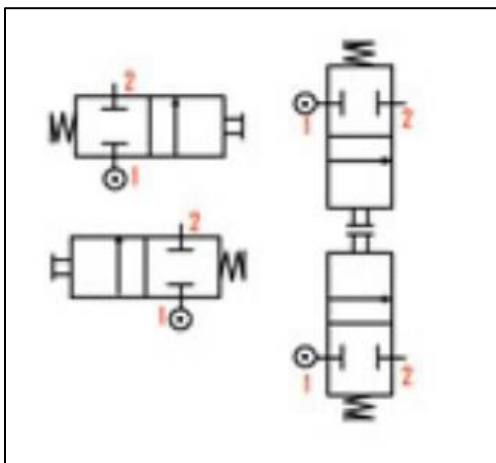
Válvulas distribuidoras 2/2.

Las válvulas son dispositivos esenciales en la industria para controlar el flujo de líquidos o gases en circuitos específicos. Su función principal es abrir o cerrar el paso del fluido, permitiendo así regular la circulación en sistemas y circuitos (Válvulas y Tuberías Industriales). Estas válvulas son utilizadas en una amplia gama de aplicaciones, desde sistemas de aire comprimido hasta sistemas de lubricación, y se activan mediante actuadores neumáticos, eléctricos o manuales.

La selección adecuada de estas válvulas es crucial para garantizar el correcto funcionamiento de los sistemas en los que se aplican. Factores como el tipo de fluido, la presión de trabajo, la temperatura y los requisitos de rendimiento del sistema deben tenerse en cuenta al elegir una válvula adecuada (Neumo-Ehrenberg Group). Además, su diseño y configuración pueden variar según la aplicación específica, lo que las hace versátiles y adaptables a diferentes entornos industriales. Las válvulas distribuidoras 2/2 son elementos esenciales en el control de flujo de líquidos y gases (figura 11).

FIGURA 11

POSICIONES DE LAS VÁLVULAS DISTRIBUIDORAS 2/2



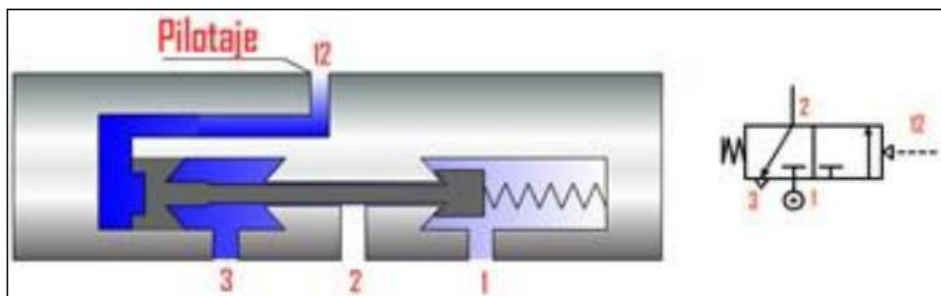
Nota: La figura indica cuáles son las posiciones de las válvulas distribuidoras 2/2, Obtenido de: (INSHT).

Válvulas distribuidoras 3/2.

Las válvulas distribuidoras 3/2 son ampliamente utilizadas para controlar el accionamiento de cilindros de simple efecto (figura 12). Estas válvulas están diseñadas con tres vías (orificios 1, 2 y 3) y dos posiciones. En la posición de reposo, la vía de presión (1) está cerrada, mientras que la vía de utilización (2) está conectada al escape (3). También existe la posibilidad de que la vía 1 esté conectada a la vía 2 mientras que la vía 3 permanece cerrada.

FIGURA 12

DESCRIPCIÓN DE LA VÁLVULA 3/2



Nota: La figura muestra un diagrama esquemático de una válvula de 3/2, Obtenido de: Instituto Nacional de Seguridad en el Trabajo (INSHT).

La descripción del tipo de válvula que se menciona se refiere a una válvula biestable, de memoria o de impulsos, la cual, a diferencia de otras válvulas, no se puede hablar de una posición de reposo fija, ya que la válvula puede adoptar de forma estable cualquiera de las posiciones cuando no está conectada al circuito. No tienen un muelle de reposición y pueden ocupar cualquier posición en la situación de reposo, retienen la última posición adquirida y basta con un impulso (manual, mecánico, eléctrico, hidráulico o neumático) para adquirir y mantener la posición establecida por la orden recibida.

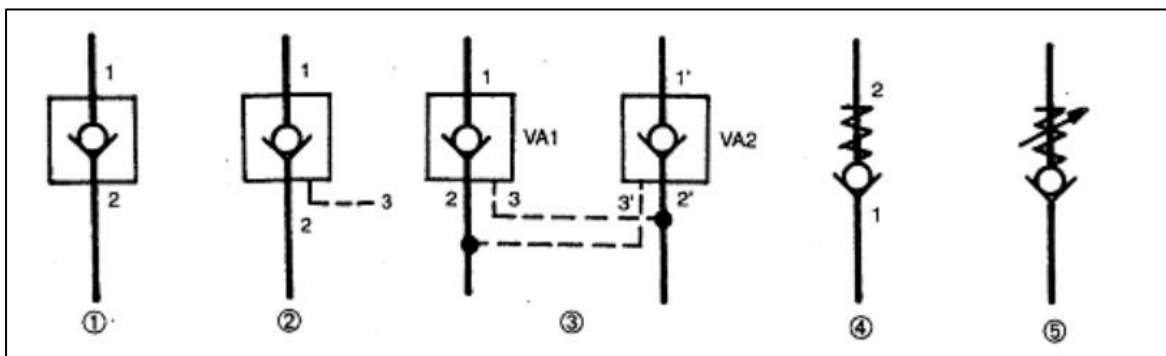
Válvulas de Antirretorno o bloqueo.

Las válvulas de bloqueo o antirretorno desempeñan un papel importante en los sistemas hidráulicos y neumáticos al evitar el retorno no deseado del fluido, se instalan en el circuito y su función principal es permitir el flujo de fluido en un solo sentido, bloqueando el paso en la dirección contraria.

El mecanismo de las válvulas de bloqueo o antirretorno consiste en un resorte que mantiene una bola o un disco presionado contra un asiento cónico en la válvula. Cuando la presión del fluido supera la fuerza del resorte, la bola o el disco se separa del asiento cónico y se permite el paso del fluido (Calleja, 2009).

FIGURA 13

DIAGRAMAS DE VÁLVULAS DE BLOQUEO



Nota: La figura muestra una los diagramas de las válvulas de bloqueo, Obtenido de: (INSHT).

Las válvulas de bloqueo o antirretorno se encuentran en una amplia variedad de aplicaciones, desde sistemas industriales hasta sistemas de automoción. Su diseño y funcionamiento aseguran que el flujo de fluido se mantenga en la dirección deseada, proporcionando una protección crucial contra el retorno no deseado.

1. El fluido se impide que fluya en la dirección 2-1 y se bloquea su paso de regreso.
2. El fluido puede fluir en el sentido 2-1 y se permite el paso a través de la vía 3.
3. Dos válvulas antirretornos conectadas entre sí se utilizan en circuitos hidráulicos pequeños, permitiendo el paso del fluido a través de las vías 3 y 3' en las direcciones 1-2' y 1'-2.

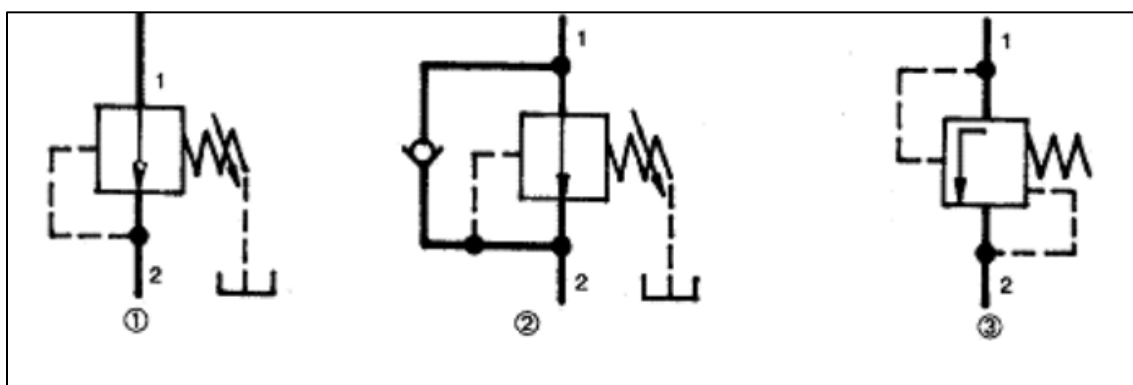
4. Una válvula de bloqueo con una presión límite establecida permite el flujo del fluido en la dirección 1-2, pero no en la dirección 2-1. El flujo en la dirección 1-2 se logra al superar la fuerza de bloqueo.
5. Una válvula de bloqueo con una presión límite ajustada manualmente. Cabe destacar que estas dos últimas válvulas también pueden ser utilizadas como válvulas de seguridad.

Válvulas reguladoras de presión.

Las válvulas de alivio, que son ampliamente utilizadas en sistemas hidráulicos y neumáticos como medida de seguridad esencial, desempeñan un papel crucial al limitar la presión máxima en un circuito. Según su funcionamiento, estas válvulas se basan en un equilibrio preciso entre la presión del fluido y la fuerza ejercida por un resorte incorporado (Calleja, 2009). Cuando se ajustan cuidadosamente a un valor predeterminado, estas válvulas desvían el flujo del fluido hacia una ruta de retorno, evitando así que la presión excesiva dañe el sistema (García, 2015). En resumen, estas válvulas juegan un papel vital al salvaguardar integridad y el rendimiento seguro de los circuitos, al mantener la presión dentro de los límites óptimos.

FIGURA 14

SIMBOLOGÍA DE VÁLVULAS REGULADORAS DE PRESIÓN



Nota: La figura señala la simbología de las válvulas reguladoras de presión, Obtenido de: (INSHT).

1. El símbolo general de una válvula reductora de presión representa su capacidad para regular la presión en un sistema.

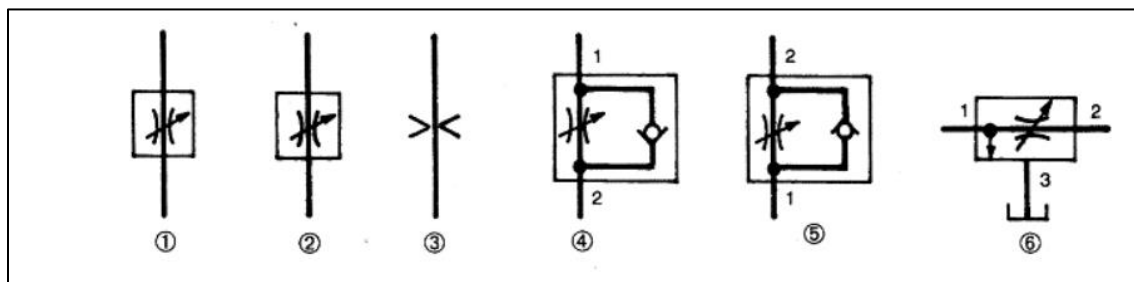
2. Una válvula reductora de presión de una sola vía es un tipo específico de válvula que permite el flujo de fluido en una dirección y reduce la presión a medida que el fluido pasa a través de ella.
3. La válvula reductora de presión diferencial es un dispositivo diseñado para regular la presión al funcionar en base a la diferencia de presión entre dos puntos específicos, generalmente identificados como 1 y 2. Esta válvula permite que el fluido fluya desde la zona de mayor presión (1) hacia la zona de menor presión (2), asegurando que la presión se reduzca de manera controlada.

Válvulas reguladoras de caudal.

Las válvulas reguladoras de caudal se utilizan comúnmente en sistemas hidráulicos y neumáticos para controlar la velocidad de salida del vástago de un cilindro u otros dispositivos. Según (García, 2015), estas válvulas son especialmente útiles en aplicaciones que requieren un movimiento controlado y preciso.

FIGURA 15

SIMBOLOGÍA DE VÁLVULAS REGULADORAS DE CAUDAL



Nota: La figura señala los diagramas que corresponden a las válvulas reguladoras de caudal.

Obtenido de: (INSHT).

1. El símbolo general del regulador de caudal representa un dispositivo utilizado para controlar y regular el flujo de un fluido en un sistema.
2. Un regulador de caudal con regulación posible es una válvula que proporciona la capacidad de ajustar y controlar el caudal de forma manual o automática según las necesidades del sistema.

3. En algunos casos, se utiliza una reducción en la tubería para lograr una disminución específica del caudal en un punto determinado del sistema.
4. Un regulador de caudal de 2-1 permite controlar el flujo en una dirección específica, regulando el caudal que se mueve desde la vía 2 hacia la vía 1.
5. Un regulador de caudal unidireccional controla el flujo en una sola dirección, permitiendo que el fluido pase en esa dirección y evitando su retorno.
6. Un regulador de caudal de 1-2 permite el flujo desde la vía 1 hacia la vía 2, pero también tiene una tercera vía para la descarga del flujo si es necesario. Esto brinda flexibilidad en el control del caudal en el sistema.

1.5.4 Funcionamiento de las plataformas niveladoras hidráulicas

El funcionamiento de las plataformas niveladoras hidráulicas se basa en un sistema hidráulico que permite el ajuste de la altura de la plataforma de carga. A continuación, se describen los principales aspectos de su operación:

1.5.4.1 Posicionamiento.

El camión se coloca en una posición adyacente a la plataforma niveladora, preparado y alineado adecuadamente para iniciar el proceso de carga o descarga. Esta colocación estratégica garantiza un acceso eficiente, una alineación óptima y contribuye a la seguridad y fluidez de las operaciones logísticas.

1.5.4.2 Activación del sistema hidráulico.

Cuando se pone en marcha la bomba hidráulica, se genera presión en el fluido hidráulico del sistema, desencadenando una serie de procesos que permiten el funcionamiento eficiente de la plataforma niveladora.

La bomba hidráulica, generalmente impulsada por un motor eléctrico, impulsa el fluido hidráulico a través del sistema. Al activarse, la bomba comprime el fluido, creando una presión que se transmite a través de las tuberías y conductos del sistema hidráulico.

Esta presión generada por la bomba hidráulica es esencial para el movimiento del cilindro hidráulico. El fluido presurizado se dirige hacia el cilindro hidráulico, donde entra a través de las válvulas de control. Estas válvulas, que regulan el flujo de aceite dentro del sistema, permiten controlar la velocidad y la dirección del movimiento del cilindro. (García, 2020)

1.5.4.3 Ajuste de altura.

En el proceso de ajuste de altura, el fluido hidráulico es dirigido hacia el cilindro hidráulico, generando el movimiento del labio de la plataforma hacia arriba o hacia abajo. Este ajuste de altura es fundamental para adaptar la plataforma al nivel del camión, asegurando una superficie de carga perfectamente alineada. Gracias a esta capacidad de ajuste, se logra una colocación precisa de la plataforma en relación con el vehículo, lo que facilita una carga y descarga eficiente y segura.

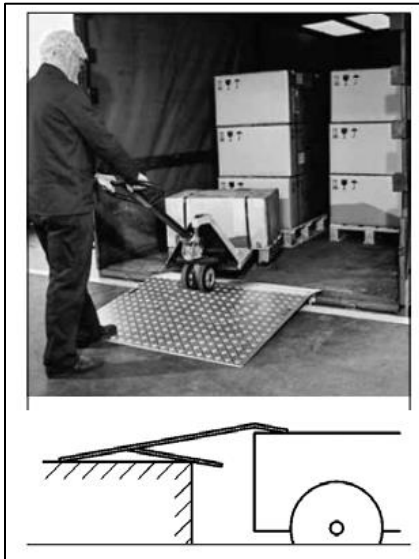
1.5.4.4 Contacto con el camión.

Una vez que se ha realizado el ajuste de altura, el labio de la plataforma se despliega hacia el camión, estableciendo un contacto firme y seguro entre ambos. Este contacto entre la plataforma y el camión crea un puente confiable y estable que permite una transferencia de carga fluida y segura. Al establecer este contacto directo, se minimizan los espacios vacíos o las brechas que podrían presentar riesgos de seguridad o daños a la mercancía durante el proceso de carga o descarga.

1.5.4.5 Carga o descarga.

Una vez que se ha logrado el ajuste de altura y se ha establecido el contacto con el camión, se procede a realizar el proceso de carga o descarga de mercancías sobre la plataforma nivelada. La altura adecuada de la plataforma garantiza una operación eficiente y segura, ya que facilita el acceso de los trabajadores y equipos al área de carga. Además, la plataforma nivelada proporciona una superficie estable y segura para manipular la mercancía de manera eficiente, minimizando el riesgo de daños y optimizando los tiempos de carga y descarga (figura 16).

FIGURA 16
CARGA Y DESCARGA MANUAL DE MATERIA PRIMA



Nota: En esta figura se puede observar la complicación que conlleva la descarga y carga manual. Obtenido de: Instituto Nacional de Seguridad en el Trabajo (INSHT).

1.5.4.6 Retracción del labio.

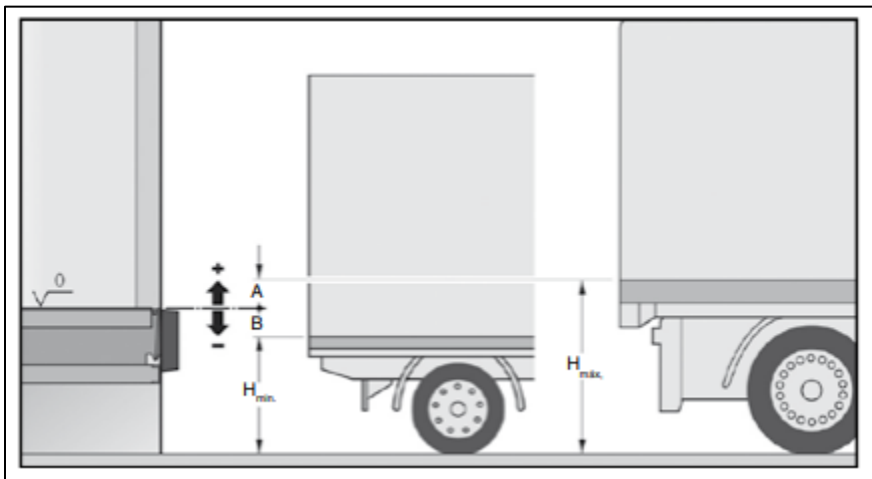
Después de completar la operación, el labio de la plataforma niveladora se retrae hacia la posición original, lo que permite liberar el espacio de carga. Según (Gestión logística en centros de distribución, 2021), este movimiento del labio posibilita que el camión se separe de la plataforma de forma segura y sin obstrucciones. Al retraerse, el labio se guarda en su posición de reposo, lista para su próximo uso. Esta función de retracción del labio facilita un proceso eficiente y sin complicaciones al finalizar la carga o descarga, permitiendo una transición fluida entre el camión y la plataforma niveladora.

1.5.4.7 Ajuste de altura mediante el sistema hidráulico.

La altura de la plataforma se controla mediante el sistema hidráulico presente en la plataforma niveladora. La bomba hidráulica genera presión en el fluido hidráulico, que se dirige al cilindro hidráulico. Esta presión activa el movimiento del cilindro, permitiendo el ajuste de la altura de la plataforma según las necesidades específicas de carga o descarga (Figura 17).

El funcionamiento del sistema hidráulico en las plataformas niveladoras garantiza un ajuste preciso y controlado de la altura, facilitando las operaciones de carga y descarga de manera eficiente y segura (Gestión logística en centros de distribución Y., 2021).

FIGURA 17
DIFERENCIA DE ALTURAS EN MUELLES DE CARGA Y DESCARGA



Nota: La figura muestra cómo los diversos camiones tienen diferentes alturas para un mismo muelle. Obtenido de: Instituto Nacional de Seguridad en el Trabajo (INSHT).

1.5.5 Normativas y estándares de seguridad

Las normativas y estándares de seguridad desempeñan un papel crucial en la industria de las plataformas niveladoras hidráulicas. Estas regulaciones buscan garantizar la protección de los trabajadores, prevenir accidentes y promover un entorno laboral seguro durante las operaciones de carga y descarga. A continuación, se presenta una investigación exhaustiva sobre las normativas y estándares de seguridad aplicables a las plataformas niveladoras hidráulicas.

1.5.5.1 Normativas y Estándares de Seguridad para Plataformas Niveladoras Hidráulicas (UNE-EN 1398:2010)

Las plataformas niveladoras hidráulicas son equipos utilizados en el sector logístico y de carga para facilitar el proceso de carga y descarga de mercancías entre camiones y muelles de carga. Para garantizar la seguridad de las personas involucradas en estas operaciones, existen normativas y estándares de seguridad específicos, como la norma UNE-

EN 1398:2010, que establece los requisitos y directrices para la fabricación, instalación y uso de estas plataformas.

Esta normativa está relacionada con otras normativas, así como la revisión de estudios y documentos técnicos que abordan el tema de la seguridad en las plataformas niveladoras hidráulicas (IREXMA, 2021). Se examinaron los criterios y requisitos establecidos en estas normativas, así como su aplicación práctica en la industria.

UNE-EN 1398:2010 - Requisitos y directrices:

Establece requisitos específicos para la protección de personas y bienes durante el uso y manipulación de las plataformas niveladoras hidráulicas. Algunos de los aspectos más relevantes son:

a) Capacidad de carga: Se especifican los límites de carga admisibles para garantizar que la plataforma pueda soportar las cargas máximas previstas sin comprometer la seguridad.

b) Dimensiones de la plataforma: Se establecen las dimensiones mínimas y máximas de la plataforma, considerando aspectos como el tamaño de los vehículos y la accesibilidad para el personal.

c) Requisitos de seguridad: Se establecen criterios para garantizar la seguridad durante el uso de las plataformas, como la instalación de barandillas de protección, sistemas de bloqueo y una señalización adecuada para advertir sobre posibles riesgos. (Guía de Seguridad en procesos de Almacenamiento y Manejo de..., 2021).

Normativas complementarias:

La norma UNE-EN 1398:2010 hace referencia a otras normativas y estándares relacionados con la seguridad de las máquinas y los equipos de manipulación. Algunas de las normativas complementarias más relevantes son:

EN 349: Esta norma establece distancias mínimas para evitar el aplastamiento de partes del cuerpo humano, proporcionando directrices para la protección de los operadores y usuarios de las plataformas.

EN 982 y EN 983: Estas normas abordan los requisitos de seguridad para sistemas y componentes de transmisiones hidráulicas y neumáticas, tanto en el ámbito hidráulico como neumático.

EN 60204-1: Establece requisitos para el equipo eléctrico de las máquinas, garantizando la seguridad en términos de protección contra descargas eléctricas y otros riesgos relacionados.

EN ISO 12100-1 y EN ISO 12100-2: Estas normas definen los conceptos básicos y los principios generales para el diseño seguro de las máquinas, incluyendo las plataformas niveladoras hidráulicas. (Guía de Seguridad en procesos de Almacenamiento y Manejo de..., 2021).

1.5.5.2 Implicaciones y aplicaciones prácticas:

La norma **UNE-EN 1398:2010** tiene implicaciones significativas para los fabricantes, instaladores y usuarios de las plataformas niveladoras hidráulicas. Algunas de las aplicaciones prácticas más relevantes incluyen:

Diseño seguro.

Los fabricantes deben cumplir con los requisitos establecidos en la norma durante el diseño y fabricación de las plataformas niveladoras, asegurando que cumplan con los estándares de seguridad requeridos.

Instalación y mantenimiento

Los instaladores y el personal de mantenimiento deben seguir las instrucciones del fabricante y estar capacitados en la instalación y mantenimiento adecuados de las plataformas niveladoras, incluyendo inspecciones periódicas para detectar desgastes, grietas o daños en los componentes principales. (Guía de Seguridad en procesos de Almacenamiento y Manejo de..., 2021).

Formación de operadores.

Se debe proporcionar una formación adecuada a los operadores de las plataformas niveladoras, asegurando que estén familiarizados con su funcionamiento, así como las medidas de seguridad y los procedimientos de emergencia (Gua de Seguridad en procesos de Almacenamiento y Manejo de..., 2021).

La norma UNE-EN 1398:2010 y las normativas complementarias establecen los requisitos y estándares de seguridad para las plataformas niveladoras hidráulicas. Estas normativas son fundamentales para garantizar la protección de las personas y prevenir accidentes durante el uso y manipulación de estas plataformas. Es esencial que los fabricantes, instaladores y usuarios cumplan con estos estándares y realicen inspecciones periódicas, mantenimiento adecuado y formación de operadores para asegurar un entorno de trabajo seguro y eficiente.

El cumplimiento de las normativas y estándares de seguridad es esencial para garantizar un entorno de trabajo seguro y minimizar los riesgos asociados con las operaciones de carga y descarga. Además, es fundamental realizar inspecciones regulares, mantener un programa de mantenimiento adecuado y proporcionar capacitación a los operadores de las plataformas para garantizar la seguridad continua en el uso de estos equipos.

Estas regulaciones se enfocan en aspectos como la capacidad de carga, las dimensiones de la plataforma y los requisitos de seguridad para garantizar la protección de los trabajadores y prevenir accidentes. (García, 2020)

El mantenimiento adecuado de las plataformas niveladoras hidráulicas es crucial para garantizar su funcionamiento óptimo y prolongar su vida útil. Algunas tareas de mantenimiento recomendadas incluyen:

1.5.5.3 Inspección de componentes.

Es fundamental realizar inspecciones periódicas en los componentes principales de la plataforma niveladora hidráulica. Estas inspecciones tienen como objetivo detectar posibles

desgastes, grietas o daños que puedan comprometer su funcionamiento seguro. Se debe prestar especial atención al cilindro hidráulico, las válvulas y las conexiones, cualquier anomalía en estos elementos podría afectar el rendimiento y la estabilidad de la plataforma. La detección temprana de problemas permite tomar medidas preventivas o correctivas de manera oportuna, garantizando así la seguridad y eficiencia en las operaciones de carga y descarga (Rodríguez, 2018)

1.5.5.4 Lubricación.

La lubricación adecuada es esencial para el correcto funcionamiento de los componentes móviles de la plataforma niveladora. Se recomienda aplicar lubricante en los puntos de pivote y deslizamiento para reducir la fricción y asegurar un movimiento suave. Esto ayuda a evitar el desgaste prematuro de los componentes y optimiza la eficiencia de la plataforma. Al utilizar el lubricante adecuado y seguir las recomendaciones del fabricante, se garantiza un mantenimiento adecuado y prolonga la vida útil de los componentes, contribuyendo a la seguridad y el rendimiento de la plataforma" (García, 2019).

1.5.5.5 Limpieza.

Mantener la plataforma niveladora hidráulica limpia y libre de obstrucciones es fundamental para su correcto funcionamiento. Se deben eliminar regularmente los escombros, residuos u otros elementos que puedan acumularse en la superficie de la plataforma. Estas obstrucciones pueden interferir con el movimiento suave de los componentes y comprometer la seguridad durante las operaciones de carga y descarga. Además, se recomienda limpiar y revisar periódicamente las áreas de drenaje para garantizar un flujo adecuado del fluido hidráulico y prevenir posibles obstrucciones. Mantener una plataforma limpia y en condiciones óptimas contribuye a la seguridad, la eficiencia y la durabilidad del equipo (González, 2020).

1.5.5.6 Importancia del mantenimiento preventivo para garantizar el funcionamiento adecuado de la plataforma.

El mantenimiento preventivo es esencial para asegurar el funcionamiento adecuado de las plataformas niveladoras hidráulicas. Mediante inspecciones regulares y la realización de tareas de mantenimiento recomendadas, se pueden identificar y corregir posibles problemas antes de que se conviertan en fallas mayores. Esto ayuda a prevenir tiempos de inactividad no planificados, reduce los costos de reparación y garantiza la seguridad y eficiencia de las operaciones de carga y descarga (Martínez, 2019).

1.5.6 Problemas comunes y soluciones

Las plataformas niveladoras hidráulicas pueden presentar problemas comunes, pero muchos de ellos tienen soluciones adecuadas. Algunos problemas típicos que pueden surgir son:

1.5.6.1 Fugas de aceite

Las fugas de aceite son un problema común que puede afectar el rendimiento y la eficiencia de la plataforma. Si se detectan fugas de aceite, es importante identificar la fuente de la fuga y tomar medidas correctivas de inmediato. Esto puede implicar el reemplazo de juntas tóricas o sellos dañados en el sistema hidráulico. Además, se debe verificar el estado de las conexiones y tuberías para asegurarse de que estén en buen estado y bien ajustadas.

1.5.6.2 Mal funcionamiento del sistema

Si la plataforma no se ajusta correctamente o no responde adecuadamente a las órdenes, es necesario interpretar y abordar el mal funcionamiento del sistema. Una posible causa podría ser una obstrucción en las válvulas de control o en los conductos del sistema hidráulico. En este caso, se debe realizar una inspección minuciosa para identificar y eliminar cualquier obstrucción. Además, se deben revisar los componentes eléctricos del sistema, como interruptores y relés, para detectar posibles fallas o conexiones sueltas.

1.5.6.3 Soluciones y medidas correctivas correspondientes

Para solucionar problemas en las plataformas niveladoras hidráulicas, se pueden tomar las siguientes medidas correctivas:

- Reparación de fugas de aceite
- Reemplazar las juntas tóricas o sellos dañados, y asegurarse de que las conexiones estén correctamente apretadas.

1.5.6.4 Verificación y mantenimiento del sistema hidráulico

Inspeccionar las válvulas de control y el sistema hidráulico para detectar obstrucciones, fugas o problemas eléctricos. Limpiar o reemplazar componentes según sea necesario (González, 2019).

El mantenimiento y cuidado adecuados de las plataformas niveladoras hidráulicas son fundamentales para su funcionamiento óptimo. Realizar inspecciones regulares, aplicar lubricación, limpiar y solucionar problemas comunes, como fugas de aceite o mal funcionamiento del sistema, ayuda a garantizar la eficiencia y seguridad de las operaciones de carga y descarga. El mantenimiento preventivo es clave para prevenir fallas mayores y mantener un rendimiento confiable de las plataformas niveladoras.

1.5.7 Innovaciones y tendencias en las plataformas niveladoras hidráulicas

Las plataformas niveladoras hidráulicas han experimentado avances tecnológicos significativos en los últimos años.

Algunas tendencias e innovaciones destacadas incluyen:

1.5.7.1 Diseño y funcionamiento mejorados.

Se han desarrollado diseños más ergonómicos y eficientes que facilitan la carga y descarga de mercancías. Los sistemas hidráulicos se han optimizado para lograr un ajuste de altura más preciso y rápido.

1.5.7.2 Automatización y tecnologías de control.

Las plataformas niveladoras están incorporando cada vez más sistemas automatizados y tecnologías de control. Esto incluye la integración de sensores, sistemas de posicionamiento y control remoto, lo que mejora la eficiencia y la seguridad en las operaciones.

1.5.7.3 Energía sostenible.

La incorporación de fuentes de energía sostenible, como sistemas híbridos o eléctricos, en las plataformas niveladoras hidráulicas es una tendencia en crecimiento. Esta medida contribuye a reducir el impacto ambiental, optimizar el consumo de energía y fortalecer la imagen corporativa de las empresas. Al adoptar tecnologías más sostenibles, se promueve un enfoque responsable hacia la carga y descarga de mercancías, contribuyendo a la construcción de un futuro más sostenible y consciente del medio ambiente.

1.5.7.4 Uso de sistemas automatizados y tecnologías de control para mejorar la eficiencia y la seguridad.

Inspeccionar las válvulas de control y el sistema hidráulico para detectar obstrucciones, fugas o problemas eléctricos. Limpiar o reemplazar componentes según sea necesario.

El mantenimiento y cuidado adecuados de las plataformas niveladoras hidráulicas son fundamentales para su funcionamiento óptimo. Realizar inspecciones regulares, aplicar lubricación, limpiar y solucionar problemas comunes, como fugas de aceite o mal funcionamiento del sistema, ayuda a garantizar la eficiencia y seguridad de las operaciones

de carga y descarga. El mantenimiento preventivo es clave para prevenir fallas mayores y mantener un rendimiento confiable de las plataformas niveladoras (González, 2021)

1.5.7.5 Estudios de casos y ejemplos de aplicación

Numerosas empresas e industrias han implementado con éxito plataformas niveladoras hidráulicas.

1.5.7.6 Algunos ejemplos prácticos incluyen:

Centros de distribución y logística.

Las plataformas niveladoras son ampliamente utilizadas en centros de distribución y almacenes para agilizar las operaciones de carga y descarga, optimizando los flujos de trabajo y mejorando la productividad.

Industria de la alimentación y bebidas

Empresas del sector alimentario utilizan plataformas niveladoras para garantizar una carga y descarga seguras de productos perecederos, evitando daños y pérdidas durante el proceso.

Resultados obtenidos y beneficios logrados.

La implementación exitosa de plataformas niveladoras hidráulicas ha demostrado varios beneficios, como:

Mejora de la eficiencia.

El uso de plataformas niveladoras agiliza las operaciones de carga y descarga, reduciendo el tiempo de espera y mejorando la productividad general.

Seguridad mejorada.

Las plataformas niveladoras proporcionan un acceso seguro y estable entre los camiones y la plataforma, reduciendo los riesgos de lesiones para los operadores y evitando daños a la mercancía.

1.5.7.7 Reducción de costos

La optimización de los procesos de carga y descarga a través de las plataformas niveladoras puede llevar a una reducción de costos operativos, al minimizar los daños y las pérdidas de mercancía (García, 2019).

Las plataformas niveladoras hidráulicas han experimentado avances tecnológicos significativos, incluyendo sistemas automatizados y tecnologías de control. Estos avances mejoran la eficiencia y la seguridad en las operaciones de carga y descarga. Ejemplos prácticos demuestran los beneficios obtenidos en diversas industrias, como una mayor eficiencia, seguridad mejorada y reducción de costos operativos (García, 2019).

1.5.8 Las plataformas niveladoras hidráulicas son elementos fundamentales en la logística y el transporte

Las plataformas niveladoras hidráulicas ofrecen numerosas ventajas, como la mejora de la eficiencia en las operaciones de carga y descarga, la reducción de riesgos de lesiones y daños a la mercancía, y su utilidad en almacenes, centros de distribución y muelles de carga. Además, se enfatizó la importancia del cumplimiento de las normativas para garantizar la seguridad de los operadores y la mercancía.

En cuanto a las tendencias e innovaciones, se mencionaron los avances tecnológicos en el diseño y funcionamiento de las plataformas niveladoras, el uso de sistemas automatizados y tecnologías de control, y la implementación de energías sostenibles. Estos avances contribuyen a mejorar la eficiencia y la seguridad en las operaciones de carga y descarga.

En términos de investigación futura, existen posibles áreas de estudio que pueden ampliar aún más el conocimiento sobre las plataformas niveladoras hidráulicas. Algunos temas de investigación podrían incluir la optimización del diseño de los componentes, la aplicación de inteligencia artificial y el desarrollo de sistemas de monitoreo en tiempo real para el mantenimiento predictivo.

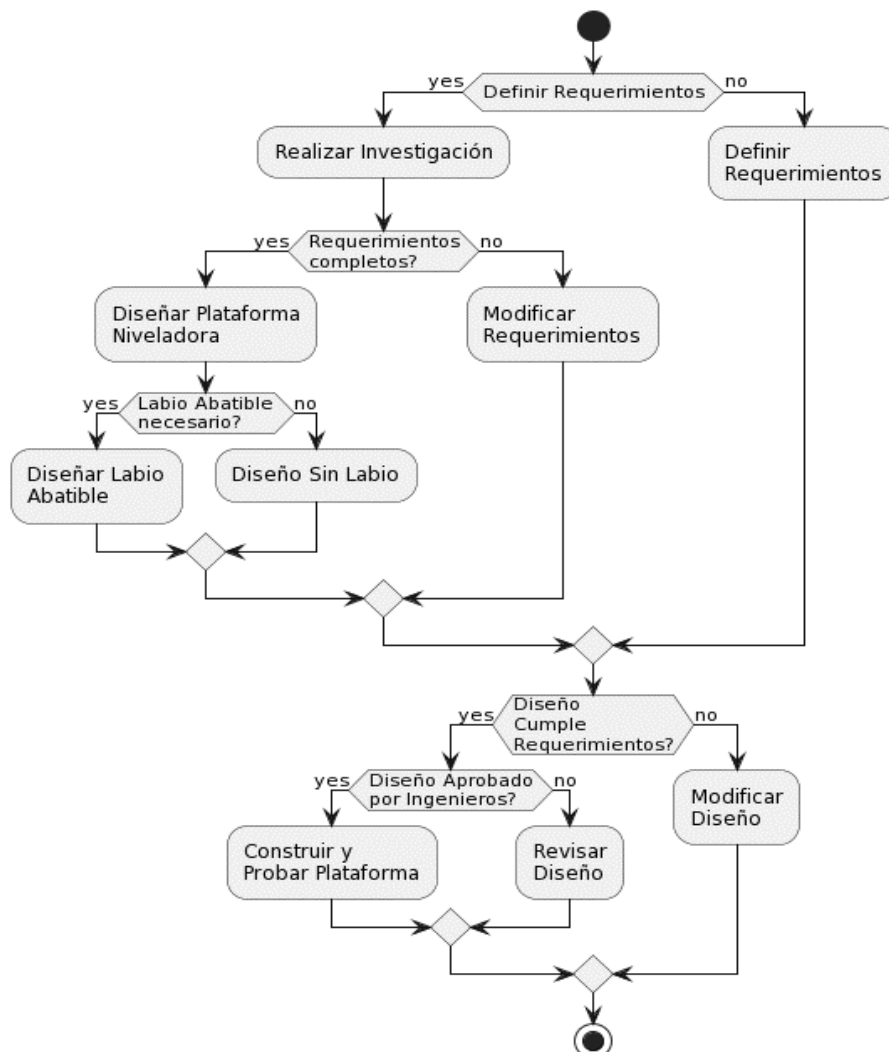
Capítulo 2

2.1 Metodología.

La metodología de diseño es un enfoque estructurado y sistemático que guía el proceso de crear soluciones eficientes y efectivas para desafíos específicos. Se presenta una metodología detallada para el diseño de una plataforma niveladora mediante sistemas hidráulicos, destinada a mejorar la eficiencia en la carga y descarga de camiones en muelles de carga. A continuación, se encuentra un diagrama de bloques que ilustra de manera visual los pasos clave de esta metodología. Este diagrama presenta desde la investigación preliminar y análisis de requerimientos hasta la verificación de funcionalidad, las pruebas de carga y la finalización con ajustes y documentación.

FIGURA 18

DIAGRAMA DE BLOQUES DE LA METODOLOGÍA DEL DISEÑO.



2.1.1 Parámetros para análisis de alternativas

El diseño de una plataforma niveladora mediante sistemas hidráulicos es de suma importancia para garantizar su eficiencia y seguridad en los procesos de carga y descarga. En primer lugar, se debe considerar la capacidad de carga, evaluando el peso que la plataforma puede soportar sin comprometer su integridad estructural. Además, las dimensiones y el tamaño de la plataforma deben equilibrarse adecuadamente para adaptarse al espacio disponible y a las necesidades de carga (Delgado, 2019).

Otro factor crucial en la metodología de diseño es la eficiencia energética. Se deben seleccionar componentes y materiales que minimicen el consumo de energía, así como implementar técnicas de control y regulación eficientes. Esto no solo reduce los costos operativos, sino que también tiene un impacto ambiental menor (Kim, 2021).

La seguridad de los trabajadores es un aspecto fundamental en el diseño de las plataformas niveladoras. Es esencial incorporar características de seguridad, como sistemas de bloqueo, sensores de detección de personas y superficies antideslizantes, para prevenir accidentes y garantizar un entorno laboral seguro. Además, cumplir con las normativas y estándares de seguridad aplicables es imprescindible (González, 2020).

A continuación, se muestra en la *Tabla 1* cuáles son los factores de influencia y su descripción.

TABLA 1

FACTORES DE INFLUENCIA Y SU DESCRIPCIÓN.

Factores de Influencia	Descripción
Capacidad de carga	Peso máximo que la plataforma puede soportar de manera segura y eficiente, influyendo en la resistencia y durabilidad.
Rango de elevación	Rango de alturas que la plataforma puede alcanzar, afectando su versatilidad y adaptabilidad a diferentes alturas de carga y muelles de carga.

Velocidad de elevación/descenso	Velocidad a la que la plataforma se eleva o desciende, influyendo en la eficiencia.
Estabilidad y seguridad	Estabilidad durante las operaciones de elevación y carga, con sistemas hidráulicos seguros y confiables que incluyan características de seguridad como frenos y sistemas de bloqueo.
Mantenimiento y vida útil	Costos de mantenimiento y durabilidad de la plataforma, considerando un diseño robusto y de fácil mantenimiento para reducir costos operativos y prolongar la vida útil.
Compatibilidad con equipos y entorno	Adecuación de la plataforma a otros equipos y al entorno en el que se utilizará, incluyendo alineación con muelles de carga, sistemas de control y sistemas de seguridad existentes.
Costo	Consideración del factor económico, incluyendo costos de adquisición, instalación, mantenimiento y operación en relación con los beneficios y rendimiento de la plataforma.

Nota: Esta tabla corresponde a los factores de influencia que intervienen en una plataforma hidráulica. Desarrollada por el autor del documento.

Al seleccionar una plataforma niveladora hidráulica, es importante tener en cuenta varios criterios para garantizar la elección adecuada. La capacidad de carga es fundamental, ya que determina la cantidad de peso que la plataforma puede soportar de manera segura. Además, las dimensiones y el tamaño deben adaptarse al espacio disponible y a los vehículos utilizados. Otro factor crucial es la altura de ajuste, que permite adaptarse a diferentes alturas de camiones o muelles de carga, facilitando el proceso de carga y descarga (Rodríguez, 2020).

Los materiales de construcción son otro criterio relevante, ya que afectan la resistencia y durabilidad de la plataforma. Se deben considerar opciones como acero o aluminio, según

las necesidades específicas. La seguridad también es primordial, por lo que se deben buscar características como barandillas, sistemas de bloqueo y superficies antideslizantes para garantizar un entorno de trabajo seguro (Fernández, 2018).

Además, es importante considerar la eficiencia energética y optar por tecnologías que minimicen el consumo de energía, como sistemas hidráulicos de bajo consumo o soluciones híbridas o eléctricas. Por último, la facilidad de mantenimiento y servicio es un factor clave a evaluar, incluyendo la accesibilidad a los componentes, la disponibilidad de repuestos y el soporte técnico proporcionado por el fabricante. Esto lo podemos observar en la Tabla 2.

TABLA 2

CRITERIOS DE SELECCIÓN Y SU DESCRIPCIÓN.

Criterios de	Descripción
Selección	
Capacidad de carga	Evalúa la capacidad máxima de carga que puede soportar la plataforma niveladora, asegurando que cumpla con los requisitos de peso necesarios.
Dimensiones	Considera el tamaño y las dimensiones de la plataforma para asegurar que se ajuste adecuadamente al espacio disponible en el área de carga.
Velocidad de operación	Evalúa la velocidad de elevación y descenso de la plataforma para garantizar un flujo de trabajo eficiente y reducir los tiempos de espera.
Nivel de automatización	Analiza el grado de automatización y control de la plataforma, incluyendo características como sistemas de control remoto o integración con otros equipos o sistemas.
Seguridad	Evalúa las características de seguridad de la plataforma, como sistemas de bloqueo, sensores de seguridad y alarmas, para garantizar un entorno de trabajo seguro.

Mantenimiento	Considera la facilidad de mantenimiento y acceso a los componentes clave de la plataforma, lo que influye en la eficiencia y los costos de mantenimiento a largo plazo.
Costo	Analiza el costo total de adquisición, instalación y operación de la plataforma niveladora, teniendo en cuenta el presupuesto y la relación costo-beneficio.
Durabilidad	Evalúa la calidad de los materiales y la construcción de la plataforma, asegurando su resistencia y durabilidad a largo plazo en condiciones de uso exigentes.

Nota: Desarrollada por el autor del documento

Al diseñar una plataforma hidráulica para el sistema de nivelación en andenes de carga y descarga, es esencial realizar una comparación exhaustiva de diferentes aspectos clave. Estos aspectos nos permiten evaluar y seleccionar la opción más adecuada para nuestras necesidades específicas.

En primer lugar, debemos considerar la capacidad de carga y el tamaño de la plataforma. Es necesario asegurarnos de que la plataforma pueda manejar eficientemente las cargas requeridas y que se ajuste al espacio disponible en el andén.

Otro factor importante es la altura de ajuste y la adaptabilidad de la plataforma. Debe ser capaz de adaptarse a diferentes alturas de camiones o muelles de carga, permitiendo una transferencia fluida y segura de la carga.

La elección de materiales de construcción también desempeña un papel crucial. Debemos evaluar la resistencia y durabilidad de los materiales utilizados en la plataforma, considerando su capacidad para soportar las demandas diarias de carga y descarga.

Además, la seguridad y las características tecnológicas son aspectos fundamentales a tener en cuenta. La plataforma debe contar con medidas de seguridad adecuadas, como barandillas y sistemas de bloqueo, y puede beneficiarse de tecnologías avanzadas, como sensores de detección de personas, para garantizar la seguridad de los trabajadores.

Al realizar una comparación minuciosa en relación con estos aspectos, estaremos en mejores condiciones para tomar decisiones informadas y seleccionar la plataforma hidráulica más adecuada, maximizando la eficiencia y seguridad en las operaciones de carga y descarga en los andenes de carga.

TABLA 3

CRITERIOS DE COMPARACIÓN POR PARES PARA EL DISEÑO DE UNA PLATAFORMA HIDRÁULICA PARA EL SISTEMA DE NIVELACIÓN EN ANDENES DE CARGA Y DESCARGA.

Criterios de Comparación	Cap. de carga	Dimensiones	Vel. de Op.	Seguridad	Mantenimiento	Costo	Calificación	Peso
Capacidad de carga	-	2	2	3	2	5	14	0.15
Dimensiones	2	-	3	4	3	3	15	0.16
Velocidad de operación	2	3	-	4	3	2	14	0.15
Seguridad	3	4	4	-	4	3	18	0.19
Mantenimiento	2	3	3	4	-	3	15	0.16
Costo	5	3	4	3	3	-	18	0.19
Total							94	

Nota: Desarrollada por el autor del documento

A continuación, en la Tabla 4 se muestran los rangos de importancia respecto a los criterios que se van a utilizar en la matriz de decisiones que se muestra en la Tabla 5.

TABLA 4

RANGOS DE CRITERIOS (VALORACIÓN)

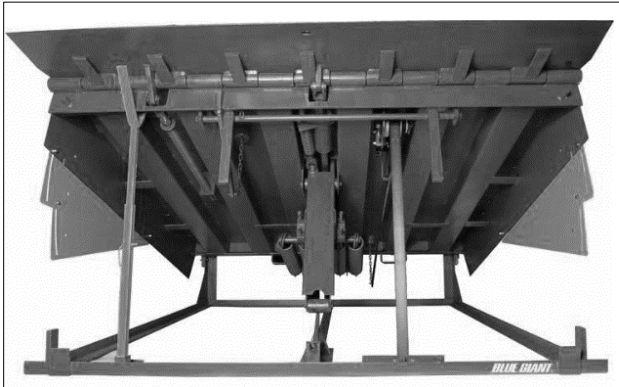
Rango	1-3
Criterio	1. Menos importante 2. Medianamente Importante 3. Mas importante

Nota: Desarrollada por el autor del documento

2.1.2 Modelo 1: Plataforma hidráulica Mecánica con labio abatible.

FIGURA 19

PLATAFORMA HIDRÁULICA CON UN SOLO CILINDRO PRINCIPAL



Nota. La figura muestra una plataforma niveladora con un sistema mecánico.

Las plataformas niveladoras mecánicas para muelle son dispositivos que facilitan la carga y descarga de mercancías en muelles de carga a través de sistemas mecánicos, como resortes o cadenas, en lugar de hidráulicos o eléctricos. Si bien tienden a tener un funcionamiento más simple y un costo inicial más bajo, su falta de personalización y control de carga, junto con una velocidad de operación constante, puede limitar su adaptabilidad y aumentar el riesgo de daños a la mercancía o problemas de seguridad si no se utilizan adecuadamente, requiriendo un esfuerzo manual adicional en algunas versiones.

La elección entre plataformas mecánicas y otras opciones dependerá de las necesidades específicas de la empresa y las operaciones logísticas.

2.1.3 Modelo 2: Plataforma hidráulica con labio abatible con dos niveles de funcionamiento.

FIGURA 20

PLATAFORMA HIDRÁULICA DE ALTO RENDIMIENTO

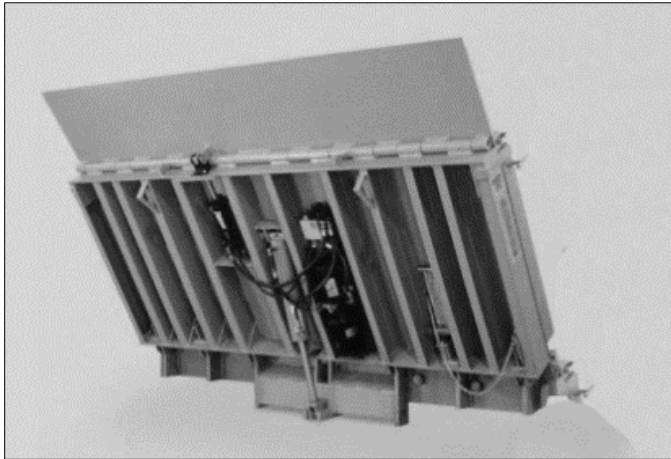


Nota. La figura muestra como la plataforma niveladora consta de un cilindro principal y un cilindro abatible.

Las plataformas niveladoras hidráulicas son una solución avanzada y altamente eficiente para la carga y descarga en muelles de carga. Su funcionamiento se basa en sistemas hidráulicos precisos que permiten ajustar la altura de la plataforma de manera óptima, lo que la hace ideal para adaptarse a una amplia gama de vehículos de carga. Su capacidad de carga precisa y su control de carga excepcional garantizan la seguridad de la mercancía y los operadores durante el proceso de carga y descarga. Esta plataforma se destaca por su versatilidad y capacidad para abordar diversas aplicaciones logísticas, convirtiéndola en la opción más eficaz para empresas que buscan mejorar la eficiencia y la productividad en sus operaciones de carga y descarga.

2.1.4 Modelo 3

FIGURA 21 A
PLATAFORMA HIDRÁULICA VERTICAL



La plataforma niveladora de muelle es un dispositivo para garantizar una superficie plana y segura para la transferencia eficiente de productos, entre el almacén y el vehículo de carga. Esta plataforma vertical proporciona estabilidad y comodidad durante las operaciones logísticas al eliminar las brechas y obstáculos que podrían dificultar el proceso de carga y descarga. Su diseño robusto y versátil la convierte en una herramienta importante para garantizar la eficiencia y la seguridad en la manipulación de productos durante las operaciones de muelle.

2.1.5 Modelo 4

FIGURA 22 B

PLATAFORMA HIDRÁULICA CON DOS CILINDROS PRINCIPALES



Nota: La figura muestra como la plataforma niveladora consta de dos cilindros principales.

La plataforma niveladora hidráulica de dos cilindros representa una solución avanzada para mejorar los procesos de carga y descarga. Su diseño integra dos cilindros hidráulicos que permiten ajustar con precisión la altura de la plataforma principal, lo que garantiza un control minucioso de la carga y una adaptación excepcional a vehículos con alturas variables. Esta plataforma se elige preferentemente cuando se necesita una capacidad de carga significativa y una precisión elevada en el ajuste de la altura. Aunque puede resultar más costosa y compleja en comparación con las versiones de un solo cilindro, su versatilidad y rendimiento superior la convierten en una inversión valiosa para empresas que buscan mejorar la eficiencia y la seguridad en sus operaciones logísticas.

Selección de mejor alternativa en base a la matriz de decisiones

Se ha seleccionado la segunda opción debido a su capacidad para mejorar la retracción del labio abatible. Es importante resaltar que esta elección se basa en un sistema de funcionamiento sencillo que utiliza cilindros de simple efecto, simplificando así su operación. Para garantizar la seguridad, se ha implementado un sistema adicional que incorpora tanto una válvula antirretorno como una válvula de secuencia. Estas medidas garantizan un rendimiento óptimo y confiable de la plataforma en todo momento.

El panel de control principal incluye dos botones destinados al funcionamiento estándar. Además, se ha agregado un botón de emergencia para situaciones urgentes. Esta disposición hidráulica no solo demuestra su eficacia en la reducción de costos operativos, sino que también elimina la necesidad de aplicar esfuerzos excesivos tanto en la elevación como en el descenso de la plataforma. El mecanismo de descenso opera como un sistema que permite que la plataforma regrese a su estado inicial sin requerir intervenciones laboriosas en el proceso, lo cual contribuye significativamente a disminuir la carga de trabajo de la bomba.

Además, es relevante destacar que esta elección no solo optimiza la funcionalidad, sino que también representa una solución rentable y segura para las operaciones diarias.

En el análisis llevado a cabo a través de la matriz de decisiones, se examinaron varios aspectos cruciales relacionados con la concepción de una plataforma para niveles en áreas de carga y descarga de andenes. Entre los aspectos considerados se encontraban la capacidad de carga, las dimensiones, la velocidad de funcionamiento, la seguridad, el mantenimiento y el costo. Cada uno de estos elementos recibió una ponderación que reflejaba su importancia en el proceso de selección.

Los resultados obtenidos a través de la matriz de decisiones indican que la alternativa más viable es la plataforma hidráulica de dos cilindros. Su diseño demuestra ser seguro, confiable y eficiente en las actividades de carga y descarga en los andenes de carga, lo que aborda uno de los desafíos primordiales en el diseño de estas plataformas. Estos hallazgos se encuentran detallados en la Tabla 5 correspondiente a la matriz de decisiones.

TABLA 5

MATRIZ DE DECISIONES

Opciones /Criterios		Capacidad de carga 20%	Dimensiones 15%	Vel Op. 15%	Seguridad 20%	Mantenimiento 15 %	Costo 15 %	Total
Plataforma mecánica	Ponderación	2	1	1	1	3	3	1.8
	Resultado	0.4	0.15	0.15	0.2	0.45	0.45	
Plataforma Niveladora hidráulica con dos Cilindros.	Ponderación	3	2	3	3	2	2	2.55
	Resultado	0.6	0.3	0.45	0.6	0.3	0.3	
	Ponderación	1	2	2	1	2	2	1.6

Plataforma hidráulica Vertical	Resultado	0.2	0.3	0.3	0.2	0.3	0.3	
Plataforma con dos cilindros hidráulicos para el labio abatible y uno para el principal	Ponderación	3	2	2	3	2	1	
	Resultado	0.6	0.3	0.3	0.6	0.3	0.15	2.25

Nota: Desarrollada por el autor del documento

En esta sección, se presentan diversas alternativas para diseñar plataformas niveladoras con sistemas hidráulicos y se explica cómo se seleccionó la mejor opción. El objetivo es exponer la metodología de diseño y respaldar la elección final.

Inicialmente, se identificaron cuatro modelos de plataformas niveladoras con sistemas hidráulicos: Modelo 1, Modelo 2, Modelo 3 y Modelo 4. Cada uno de estos modelos tenía variaciones en capacidad de carga, dimensiones, altura de elevación y características adicionales.

Para formular estas alternativas de solución, se analizaron minuciosamente las especificaciones técnicas y las características de cada modelo.

Después de una evaluación exhaustiva de todas las opciones, se determinó que el Modelo 2 era la elección óptima para el diseño de las plataformas niveladoras con sistemas hidráulicos. Esta elección se basó en criterios como la capacidad de carga de 72,500 kg, que cumple con los requisitos de aplicaciones industriales moderadas. Además, la plataforma de 1.85 metros de ancho y 2 metros de largo proporciona un amplio espacio para manejar cargas voluminosas. La altura de elevación estándar permite acceder a distintos niveles de carga. Además, las características adicionales, como el sistema de nivelación sencillo, el control mediante una botonera fácil de usar y el cumplimiento de los estándares de seguridad, contribuyen a mejorar la eficiencia y comodidad en las operaciones.

2.1.6 Principio De Funcionamiento De Los Cilindros Hidráulicos

Cuando un recipiente cerrado con un pistón móvil recibe flujo hidráulico, la fuerza aplicada a la superficie del pistón lo desplaza. Este proceso constituye el fundamento de funcionamiento de los cilindros hidráulicos. Las ecuaciones que describen la fuerza y la velocidad del cilindro son las siguientes:

La fuerza del cilindro (F) se relaciona con la presión (P) y el área del cilindro (A) mediante estas ecuaciones.

$$F = P \cdot A \quad (2.1)$$

Cuando el flujo hidráulico entra en un recipiente cerrado con un pistón móvil, este pistón se desplaza debido a la fuerza aplicada en su superficie. Este principio de funcionamiento es fundamental en los cilindros hidráulicos. Las ecuaciones que expresan la relación entre la fuerza y la velocidad del cilindro, así como el caudal de entrada y el área del cilindro, son las siguientes:

La fuerza del cilindro (F) se relaciona con la presión (P) y el área del cilindro (A) mediante la ecuación $F = P \cdot A$.

La velocidad del cilindro (V) está relacionada con el caudal de entrada (C) y el área del cilindro (A) mediante la ecuación $V = C / A$.

$$V = \frac{C}{A} \quad (2.2)$$

La potencia del cilindro, medida en kilovatios (KW) o caballos de fuerza (HP), se calcula como el producto de la fuerza aplicada por la velocidad a la que se desplaza el cilindro por unidad de tiempo. Esto se expresa de la siguiente manera:

$$\text{Potencia de salida del cilindro} = \text{Fuerza} \times \text{Velocidad}$$

$$P_{saldida\ cilindro} = P_{presión} \cdot (V_{vel} \cdot A_{área}) \quad (2.3)$$

Por lo general, esto se nombra potencia hidráulica.

2.1.7 Diseño de los mecanismos del sistema hidráulico.

Resistencia de materiales.

La resistencia es un aspecto fundamental tanto en la selección de un material como en la fabricación de un componente mecánico. La capacidad de resistencia de un elemento se ve influenciada significativamente por la elección del material, así como por su tratamiento y procesamiento. Esta resistencia es crucial tanto en situaciones de tracción como en compresión.

FIGURA 23

MATERIAL EN TENSIÓN



Según la disposición de las fuerzas exteriores actuando sobre un cuerpo, puede estar sometida a esfuerzos de tracción y compresión donde las fuerzas alargan o contraen sufriendo el cuerpo tensión longitudinal uniforme.

$$\sigma = \frac{P}{A} \quad (2.4)$$

La ecuación σ se utiliza para calcular el esfuerzo normal en un material. En esta ecuación, σ representa el esfuerzo normal, P es la carga aplicada y A es el área transversal. La relación entre el esfuerzo calculado σ y el esfuerzo admisible $[\sigma]$ se establece mediante la ecuación $[\sigma] = S_y / F_s$. Aquí, $[\sigma]$ denota el esfuerzo admisible, S_y representa la resistencia a la fluencia del material y F_s es el factor de seguridad. Esta ecuación relaciona el esfuerzo normal con la carga aplicada, el área transversal, la resistencia a la fluencia y el factor de seguridad.

2.1.8 Formulas ASD (Allowable Stress Design) en compresión.

Las fórmulas ASD resultan en diseños más coherentes y rentables en comparación con muchas otras fórmulas utilizadas para el diseño de columnas. Mientras que algunas fórmulas de diseño de columnas tienden a generar miembros excesivamente reforzados en el rango más bajo de la relación L/r (longitud efectiva dividida por el radio de giro), las fórmulas ASD proporcionan diseños eficientes en una amplia gama de relaciones de esbeltez.

$$\lambda = \frac{Le}{r} \quad (2.5)$$

$$Le = L \cdot K \quad (2.6)$$

λ representa la esbeltez de la columna, Le se refiere a la longitud efectiva del miembro, L es la longitud total de la columna, y K es el factor de apoyo utilizado en los cálculos de diseño estructural. Estos parámetros son esenciales para determinar la estabilidad y la capacidad de carga de una columna en ingeniería estructural.

$$r = \sqrt{\frac{I}{A}} \quad (2.7)$$

Donde: r se refiere al radio de giro mínimo, que es una propiedad geométrica de una sección transversal de un miembro estructural. I representa la inercia mínima, que es una medida de la resistencia a la flexión de una sección transversal.

2.1.8.1 Criterios del Diseño

Los criterios de diseño fueron definidos considerando las necesidades y requisitos particulares del proyecto. Estos requisitos englobaron aspectos como la capacidad de carga necesaria, las dimensiones de la plataforma, la altura a la que se debía elevar, la estabilidad requerida, la seguridad de los operadores, la durabilidad y la facilidad de mantenimiento. Además, se aseguró que los criterios de diseño estuvieran en concordancia con los objetivos y especificaciones establecidos durante el proceso de evaluación de soluciones alternativas.

2.1.8.2 Selección de Recursos

En el proceso de diseño, se hizo la elección de recursos adecuados, entre ellos materiales, componentes hidráulicos, sistemas de control, sistemas de seguridad y sistemas de energía. En esta selección, se consideraron aspectos como la calidad, disponibilidad, compatibilidad y la relación costo-efectividad de los recursos elegidos.

2.1.8.3 Justificación del Método de Diseño

El empleo de dos cilindros hidráulicos en lugar de uno en una plataforma hidráulica se justifica por diversas razones fundamentales. En primer lugar, la utilización de únicamente dos cilindros hidráulicos para todo el sistema conlleva a la creación de un sistema sencillo y de operación fluida durante el proceso de elevación y descenso de la plataforma. Al optar por este enfoque, se minimizan las complicaciones de funcionamiento del sistema. Esto, a su vez, contribuye al ahorro económico, ya que el sistema se torna más simple de instalar, mantener e incluso operar.

Por lo tanto, este mecanismo hidráulico es ampliamente empleado, principalmente debido a su facilidad de manejo. A pesar de que este diseño puede requerir un mayor consumo energético al elevar la plataforma hidráulica, es importante destacar que, al descender la plataforma, el sistema puede aprovechar su propio peso, prescindiendo de la acción directa de la bomba hidráulica. La elección de esta alternativa de diseño tiene una gran importancia, ya que se traduce en una solución sencilla, fácil de operar y que aporta a la reducción de costos.

2.1.8.4 Población y Muestreo / Descripción del Diseño

Esta sección del informe proporcionará una descripción detallada del diseño de las plataformas niveladoras con sistemas hidráulicos, presentando la metodología utilizada, los principios técnicos, los criterios de diseño y la justificación de los métodos y diseño

seleccionados. También se describirá la implementación o los experimentos realizados, así como los resultados obtenidos y las conclusiones alcanzadas.

Se ha llevado a cabo una investigación importante sobre las principales problemáticas asociadas al mantenimiento de las plataformas niveladoras con sistemas hidráulicos, y es de vital importancia destacar estos hallazgos. Uno de los problemas más comunes es la falta de retracción del labio o la uña abatibles de estas plataformas. Esto puede deberse a diversos factores, como la falta de lubricación en el sistema, el desgaste de los bocines que protegen el eje principal y la ausencia de una estructura adecuada para soportar el peso total de la plataforma, incluida la carga a la que estará sometida. Para abordar estas problemáticas, es esencial realizar un estudio exhaustivo y mejorar estos aspectos mencionados anteriormente. Al hacerlo, lograremos un equipo más eficiente y seguro que requerirá un mantenimiento correctivo menos frecuente.

Otro aspecto crucial a tener en cuenta en las plataformas niveladoras hidráulicas es la estabilidad que deben proporcionar durante su uso. Se recomienda utilizar dos cilindros hidráulicos al subir y bajar la plataforma principal. Si se emplea un solo cilindro hidráulico, el funcionamiento puede ser similar, pero se corre el riesgo de experimentar inestabilidad debido al peso de la plataforma. Dado que la estructura de estas plataformas está diseñada de manera robusta, es importante abordar la problemática de la desestabilización y las vibraciones del sistema. Para contrarrestar este problema, se recomienda utilizar dos cilindros hidráulicos, lo que permite elevar la plataforma de manera más equilibrada. Del mismo modo, se debe implementar un sistema de doble cilindro para la secuencia correspondiente a la retracción del labio abatible, con el objetivo de distribuir la carga en varios puntos y lograr un mejor rendimiento general del sistema.

Considerar estos aspectos relacionados con el mantenimiento y la estabilidad dentro del diseño y funcionamiento de las plataformas niveladoras con sistemas hidráulicos contribuirá significativamente a mejorar la eficiencia y seguridad de los equipos. Además, se

reducirá la frecuencia del mantenimiento correctivo y se prolongará la vida útil de los equipos, lo que resultará en un servicio de mayor calidad y una mejor experiencia para los usuarios.

Capítulo 3

3.1 Resultados y análisis para el sistema hidráulico.

TABLA 6 A

RESULTADOS DEL DISEÑO FINAL

Detalle	Característica
Cilindro Hidráulico Principal	406 mm de carrera
Cilindro Hidráulico Labio Abatible	100 mm de carrera
Plancha de acero lagrimada	6 mm de espesor
Vigas para plataforma principal	Vigas perfil IPE 160 mm
Vigas estructurales de la base	Vigas tubo 100x50x3 mm
Selección de unidad Hidráulica	2.5 KW - 3 KW
Diagrama Hidráulico	Conexión Del Sistema
Plancha lagrimada labio abatible	12 mm de Espesor
Buje del eje principal	$\varnothing_{int} = 31 \text{ mm}$ $\varnothing_{ext} = 45 \text{ mm}$ Tolerancia de ajuste del Buje: $\varnothing_{max} = 31.025 \text{ mm}$ $\varnothing_{min} = 31.00 \text{ mm}$
Eje principal pasador	31 mm diámetro x 1.85 m Tolerancia de ajuste del Eje: $\varnothing_{max} = 30.991 \text{ mm}$ $\varnothing_{min} = 30.975 \text{ mm}$

Nota: Los valores de la tabla corresponden a los principales resultados obtenidos para el diseño.

3.1.1 Resultados detallados de los componentes y las piezas para el diseño de la plataforma

Los montacargas de la empresa Sarcofruit SA trabajan en un rango de carga De 1.5 toneladas, teniendo una carga máxima para la plataforma niveladora de 7330 Kg.

TABLA 6 B

TABLA DE PESOS POR EJE DELANTERO Y TRASERO DE UN MONTACARGAS SIN CARGA Y CON CARGA MÁXIMA.

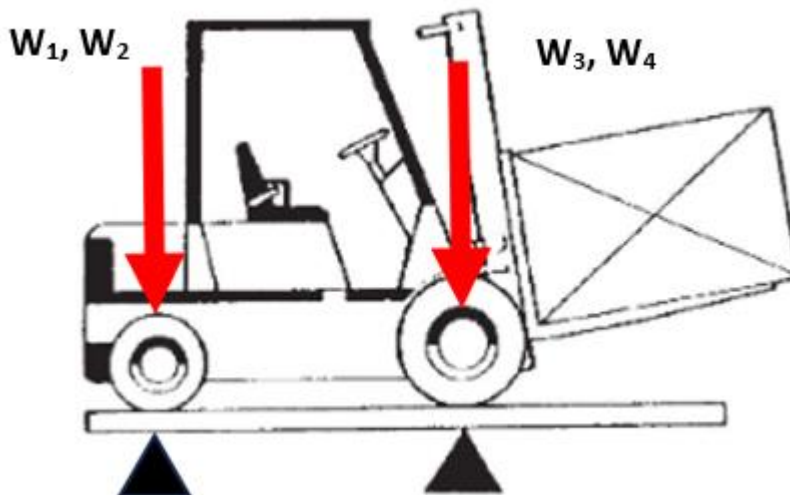
Peso del eje con carga - delantero y posterior.	6490,00 - 760,00 kg.
Peso del eje sin carga - delantero y posterior.	1730,00 - 2520,00 kg.

Peso total del montacargas sin carga = 4250,00 kilogramos

Peso total de montacargas con carga máxima= 7250,00 kilogramos

FIGURA 24

Distribución de las fuerzas en el montacargas.



3.1.2 Ubicación del montacargas en la rampa niveladora.

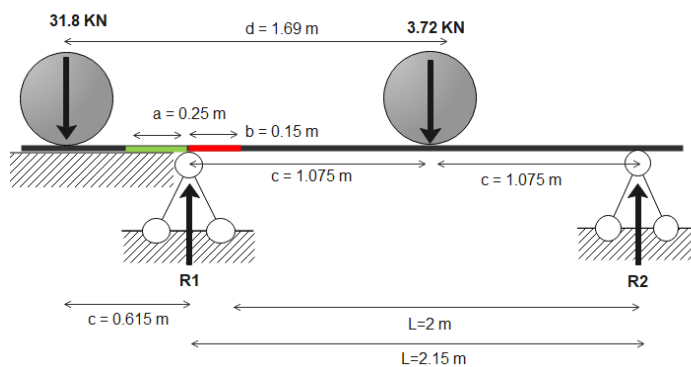
A continuación, se analiza las 3 ubicaciones del montacarga en la rampa niveladora y sus soportes en cada apoyo.

3.1.2.1 Carga eje delantero entre apoyos.

La figura 23 muestra la ubicación del eje delantero en el medio del andén hacia el contenedor.

FIGURA 25

UBICACIÓN DEL EJE DELANTERO FUERA DE LA RAMPA Y EL EJE POSTERIOR EN EL CENTRO DE LA PLATAFORMA.



Nota: la imagen muestra. la posición del montacargas en el estado final.

TABLA 7

RESULTADOS DE LAS FUERZAS ACTUANTES EN LOS APOYOS.

Nº	simbología	Descripciones	Valores	Unidades	Fórmula
1	M _{máxima}	Momento máximo	1.99 ≈ 2	KN. m	$M_{máximo} = \frac{W_{tot} \cdot L}{4}$
2	R ₁ , R ₂	Reacciones	1.86	KN.	$R_1 = \frac{W_{tot}}{2}$
3	V, R ₁ , R ₂	Fuerza de corte	1.86	KN.	$V_{corte} = \frac{W_{tot}}{2}$

Nota: Creado por el redactor del texto.

3.1.2.2 Carga eje delantero y posterior entre los apoyos.

La figura 24 muestra la ubicación del montacargas en el medio de la rampa hacia el contenedor.

FIGURA 26

UBICACIÓN DEL MONTACARGA ENTRE LOS DOS APOYOS.

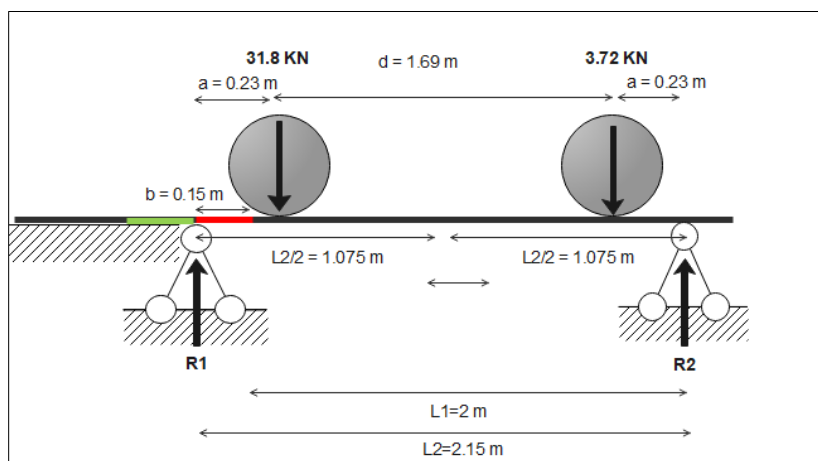


TABLA 8

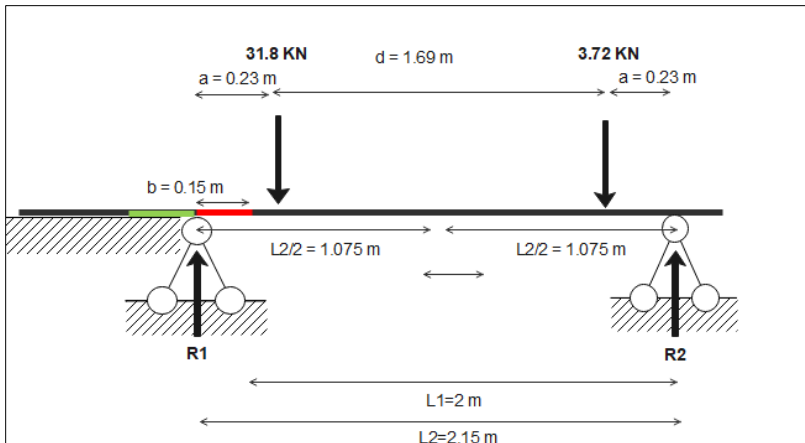
RESULTADOS DE LAS FUERZAS ACTUANTES EN LOS APOYOS.

N ^o	simbología	Descripciones	Valores	Unidades
1	M máx.	Momento máximo.	6.60	KN.m
2	R_1	Reacción.	28.81	KN.
3	R_2	Reacción.	6.72	KN.
4	V_1	Fuerza Cortante.	28.81	KN.
5	V_2	Fuerza Cortante.	6.72	KN.

Nota: Creado por el redactor del texto.

FIGURA 27

DIAGRAMA DE CORTE Y MOMENTO CUANDO EL MONTACARGAS SE ENCUENTRA ENTRE LOS DOS APOYOS.



Nota: Gráficas realizadas en <https://deflection.app/?language=es>

3.1.2.3 Carga eje posterior entre dos apoyos.

FIGURA 28

UBICACIÓN DEL EJE DELANTERO EN MEDIO DE LA RAMPA Y EJE POSTERIOR FUERA DE LA RAMPA.

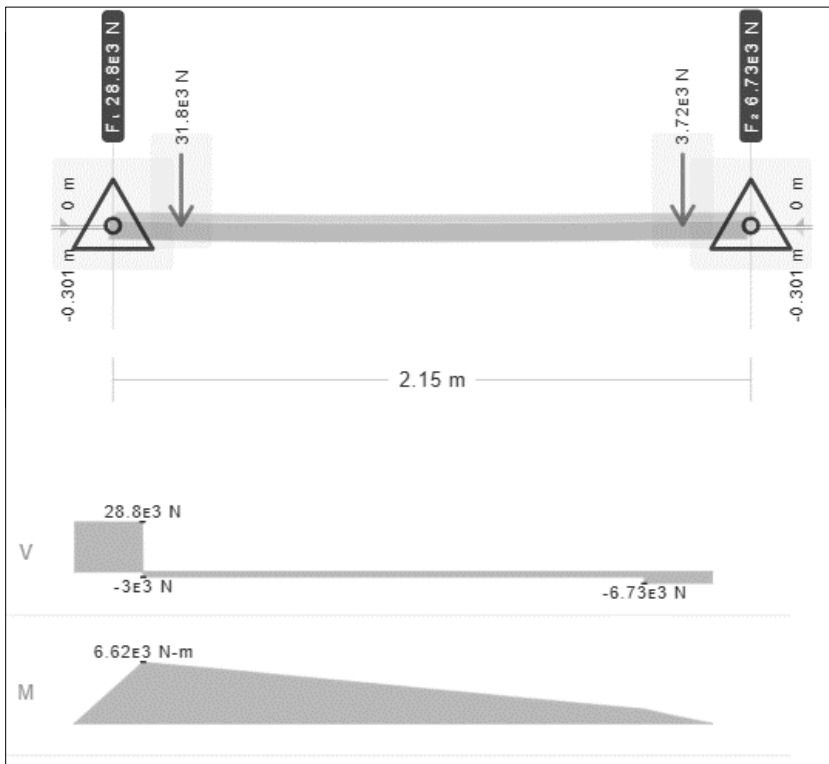


TABLA 9

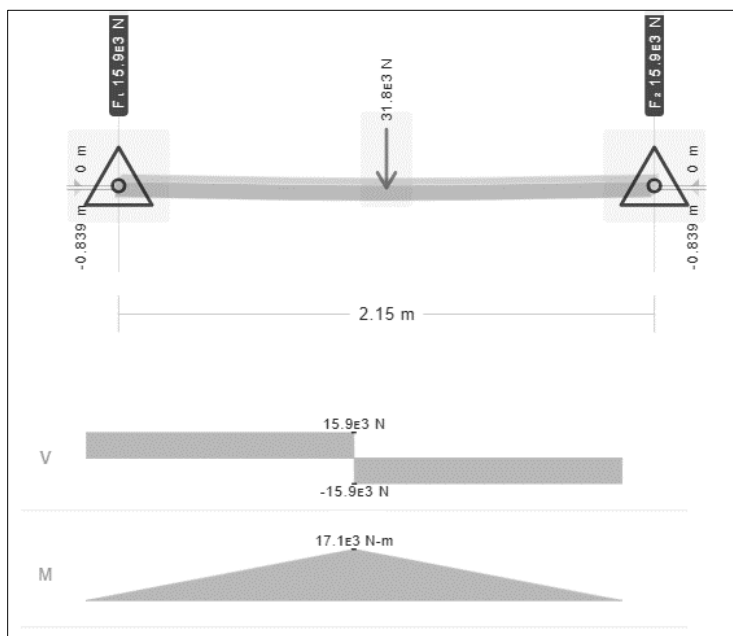
RESULTADOS DE LAS FUERZAS ACTUANTES EN LOS APOYOS.

Nº	simbología	Descripciones	Valores	Unida	Fórmulas
----	------------	---------------	---------	-------	----------

				des	
1	M máx.	Momento máx.	17.10	KN. m	$M_{max} = \frac{W_{tot} \cdot L}{4}$
2	R1=R2	Reacciones.	15.90	KN.	$R_1 = \frac{W_{carga}}{2}$
3	V	F de corte.	15.90	KN.	$V_{corte} = \frac{W_{carga}}{2}$

FIGURA 29

DIAGRAMA DE MOMENTO CORTANTE Y FLECTOR



Nota: Gráficas realizadas en <https://deflection.app/?language=es>

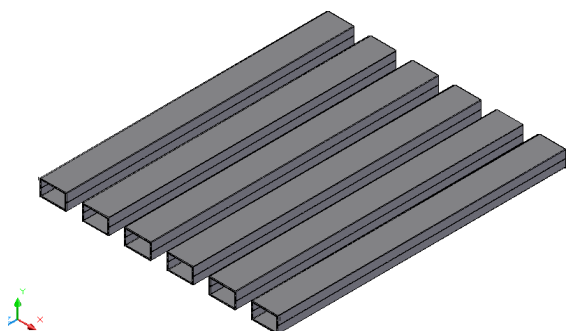
Con estos antecedentes se concluye que el momento máximo tiene un valor de 17,11 KN.m, se encuentra cuando el montacarga está en el centro de la rampa, en los instantes inicial y final del desplazamiento del montacarga se tiene el mayor valor correspondiente el esfuerzo cortante $V = 31.8$ KN, esto lo podemos ver en las gráficas de momento cortante y flector de la sección anterior.

3.1.3 Diseño y selección de vigas para la plataforma.

La plataforma constara de 8 vigas, de perfil tipo IPE reforzado con la plancha de acero lagrimado.

FIGURA 30

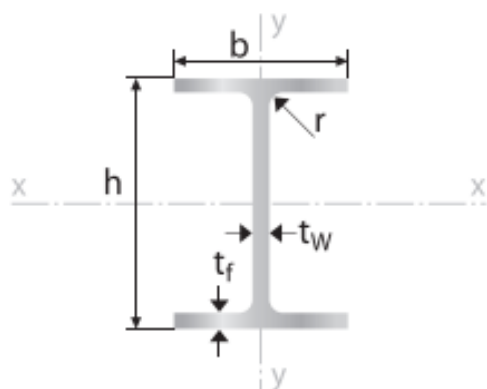
ESQUEMA DE LA PLATAFORMA.



Se desea que la sección transversal de la viga IPE 160 no exceda la distancia máxima de 200 que tiene el ancho de la llanta de un montacargas, se alinean de esta manera y con un perfil comercial IPE.

FIGURA 31

SECCIÓN DE PERFIL ESTRUCTURAL IPE 160



La posición de la viga vertical se evalúa en relación con el eje "y". A continuación, se procede a calcular las características de la sección.

TABLA 10

DATOS PARA EL CÁLCULO DEL ESFUERZO Y DEFLEXIÓN.

Nº	simbología	Descripciones	Valores	Unidades
1	W_{tot}	Diseño de la carga.	31.8	KN
2	l	Extensión de la rampa.	2.15	m
3	M_{max}	Valor máximo del momento.	17.11	KN.m
4	C	Distancia desde la superficie externa.	0.050	m
5	E	Módulo de elasticidad.	$207,00 \times 10^6$	KPa
6	I_y	Momento de inercia	$5.767 \times 10^{-6} \text{ m}^4$	m^4

Nota: Creado por el redactor del texto.

Reemplazando los valores, se obtienen los siguientes resultados que se presentan en la tabla 19.

TABLA 11

RESULTADOS DE ESFUERZO Y DEFLEXIÓN.

Nº	simbología	Descripciones	Valores	Unidades	Fórmulas
1	σ	Esfuerzo calculado.	148437.55	KPa.	$\sigma_{max} = \frac{M_{max} \cdot C}{I}$
2	Δ_{max}	Deflexión máxima	10.63×10^{-20}	m	$\Delta_{max} = \frac{W_{tot} \cdot l^3}{48 \cdot E \cdot I}$

Nota: Creado por el redactor del texto.

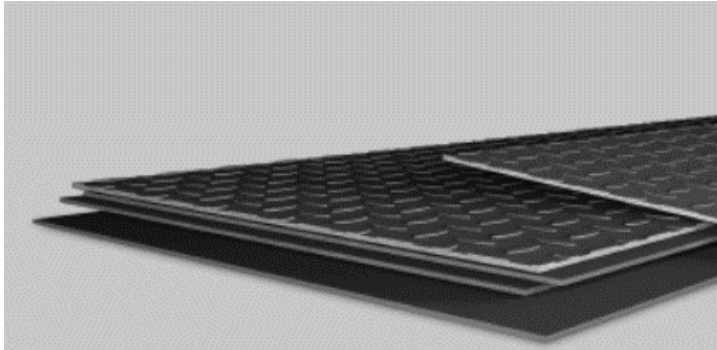
Con esta sección de perfil el esfuerzo calculado de 148437.5 KPa es menor que el esfuerzo máximo admisible, la deflexión máxima admisible que se proyecta es de muy pequeña y tiende a cero estando dentro los valores de tolerancia.

3.1.4 Diseño del piso de la plataforma.

Sobre las 8 vigas será colocado una plancha antideslizante que cubrirá la estructura principal. En el presente cálculo se estima el espesor de la placa.

FIGURA 32

PLANCHA LAGRIMADA DE LA PLATAFORMA.

**TABLA 12**

VALORES DE LAS FUERZAS QUE ACTÚAN EN EL PISO DE LA PLATAFORMA NIVELADORA.

Nº	simbología	Descripciones	Valores	Unidades	Fórmulas
1	M máx.	Momento máximo.	17.1	KN. m	$M_{ma} = \frac{W_{tot} \cdot L}{4}$
2	R3=R4	Reacción.	13.47	KN.	$R_1 = \frac{W_{tot}}{2}$
3	V= R3=R4	F corte.	13.47	KN.	$V_{corte} = \frac{W_{tot}}{2}$

Nota: Creado por el redactor del texto.

3.1.4.1 Diseño del labio abatible para la plataforma niveladora.

En la parte delantera, el labio está sometido a una combinación de carga axial más flexión.

FIGURA 33

ESQUEMA DEL LABIO A COMPRESIÓN.

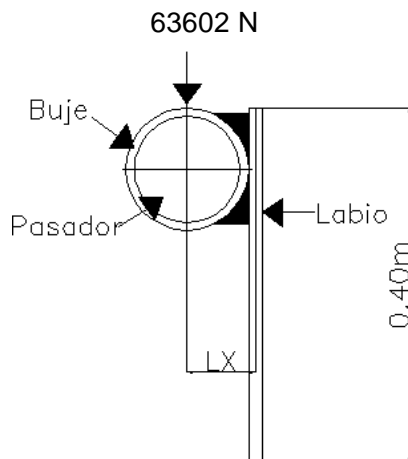


FIGURA 34

SECCIÓN TRANSVERSAL DEL LABIO.

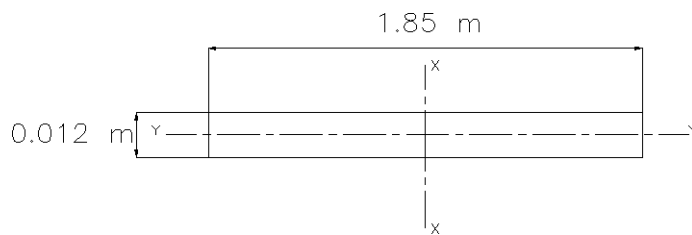


TABLA 13

RESULTADO DE VALORES PARA EL DISEÑO DEL LABIO ABATIBLE.

Nº	simbología	Descripciones	Valores	Unidades
1	I_x	Inercia en el eje X.	6.3×10^{-3}	m ⁴
2	I_y	Inercia eje Y.	2.7×10^{-7}	m ⁴
3	A	Área.	0.023	m ²
4	C	Distancia externa.	0.01	m
5	S	Módulo de sección	4.4×10^{-5}	m ³

Nota: Creado por el redactor del texto.

Podemos concluir que un labio con un grosor de 12 mm es adecuado para su función como columna bajo la influencia de tensiones combinadas.

3.1.5 Cálculo de viga sujeción para e soporte del cilindro delantero.

La fuerza mostrada es la que tiene que soportar el cilindro de la plataforma, y se transmite a la viga que se encuentra en la parte delantera del vástago.

FIGURA 35

VIGA DE SUJECIÓN DEL CILINDRO.

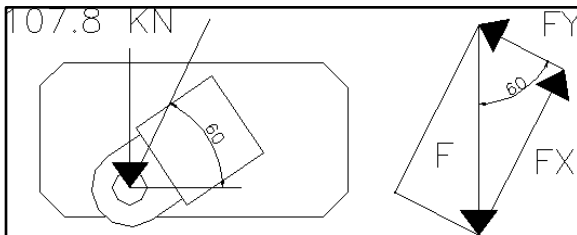


TABLA 14

RESULTADOS DE LAS FUERZAS ACTUANTES EN LA VIGA PORTA HORQUILLA.

Nº	simbología	Descripciones	Valores	Unidades
1	M máxima	Momento máximo.	2.94	KN. m
2	R ₁ , R ₂	Fuerzas de reacción.	46.70	KN.
3	V, R ₁ , R ₂	Cortante máximo	46.70	KN.

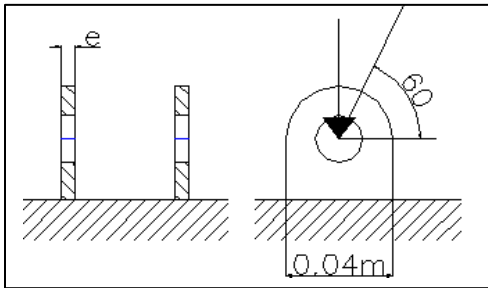
Nota: valores que corresponden a datos calculados para el soporte del cilindro.

3.1.6 Espesor del soporte del cilindro principal.

Este soporte está situado en el suelo del andén y será responsable de sostener la carga que actúe sobre la parte frontal del cilindro.

FIGURA 36

FUERZAS QUE ACTÚAN EN EL SOPORTE DEL CILINDRO.



Esfuerzo a compresión:

$$\sigma = \frac{F_x}{A}$$

$$\sigma_{max} = 112721 \text{ KPa}$$

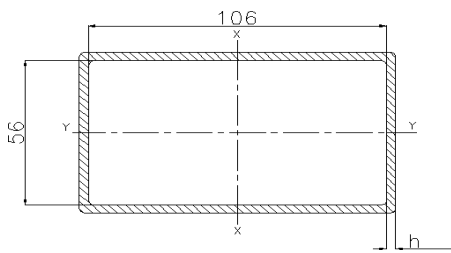
$$e = 10 \text{ cm}$$

El grosor necesario para cada soporte debe ser de 11 mm

3.1.6.1 Soldadura para las columnas y la base de la plataforma

FIGURA 37

CORDÓN DE SOLDADURA ENTRE LAS COLUMNAS Y LA BASE DE LA PLATAFORMA



$$A = 7.1 \times 10^{-4} \text{ m}^2$$

Esfuerzo cortante

$$\tau = 76 \text{ MPa}$$

Valor del Factor de seguridad

$$FS = \frac{0.59 \times S_y}{\tau}$$

$$FS = 2.6$$

En esta evaluación se nota que el margen de seguridad es elevado. No obstante, debido a consideraciones prácticas, no es factible reducir el grosor del cordón de soldadura.

3.1.7 Elección de cilindros hidráulicos.

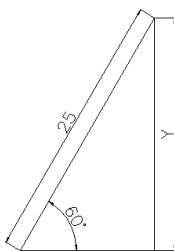
Los tres criterios para elegir el equipo hidráulico son la capacidad de carga máxima, la distancia de desplazamiento (carrera) y la velocidad de elevación. Para que el andén hidráulico funcione correctamente, se necesitan dos cilindros hidráulicos de doble acción. El primero se encargará de elevar la plataforma principal, mientras que el segundo se utilizará para elevar el labio de unión entre el andén y el camión.

3.1.8 Selección de las especificaciones del cilindro de la plataforma principal.

El cilindro para seleccionar debe ser de doble acción y su tarea consistirá en elevar el peso de la plataforma principal. Cuando se inicie la descarga, el cilindro tendrá que soportar una carga de trabajo de 7,250 kg. Además, debido a limitaciones de espacio en la fosa de empotramiento, el cilindro deberá colocarse a un ángulo de inclinación de 60 grados, dado que su longitud en posición retraída es de 25 pulgadas.

FIGURA 38

ÁNGULO DE INCLINACIÓN QUE TIENE EL CILINDRO HIDRÁULICO.



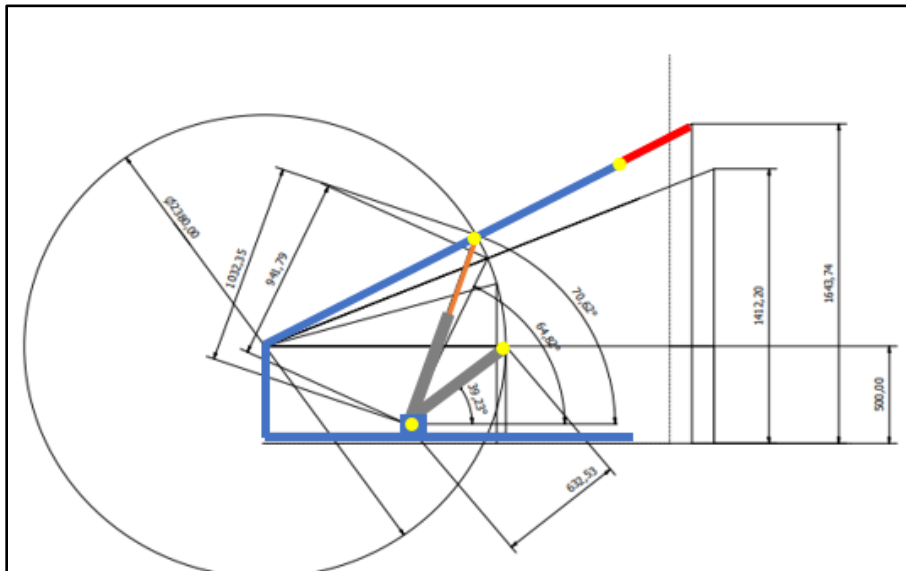
Como se puede apreciar, la profundidad mínima requerida para la fosa es de 0.55 metros.

3.1.8.1 Cálculos del valor de desplazamiento del cilindro hidráulico.

Dado que se requiere un cilindro hidráulico con una carrera de 400 mm y el catálogo de cilindros hidráulicos de esta marca ofrece el modelo SAE-64016, que tiene una carrera de 16 pulgadas (406 mm), este cilindro es compatible con los requisitos del proyecto, aunque la carrera es ligeramente mayor de lo especificado, es la opción más cercana disponible en el catálogo de la marca.

FIGURA 39

ALTURA MÁXIMA DEL CILINDRO.



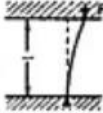
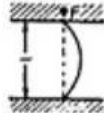
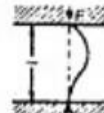
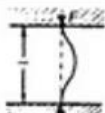
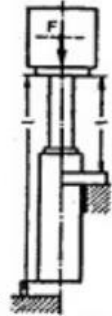
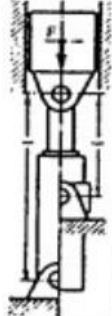
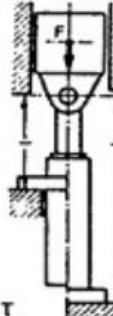
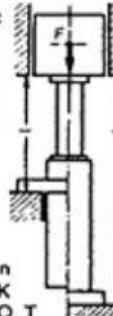
El valor de elevación máxima con el límite de carrera de 16 pulgadas es de 1.64 m desde la base de la plataforma y un ángulo que varía desde los 39.23° a 70,62° grados.

3.1.8.2 Cálculo del diámetro del vástago del cilindro hidráulico.

El cálculo del diámetro mínimo que debe tener el vástago se efectúa mediante la teoría de estabilidad, teniendo en cuenta la esbeltez del elemento, ya que está sometido a compresión. Los detalles sobre el cálculo del pandeo se encuentran en la sección de anexos del documento.

FIGURA 40

FACTOR DE ANCLAJE DE CILINDRO

Solicitaciones según Euler				
Solicitaciones según Euler	Caso 1	Caso 2 (básico)	Caso 3	Caso 4
	Un extremo libre, un extremo fijo	Dos extremos articulados	Un extremo articulado, un extremo fijo	Dos extremos fijos
Gráfico				
Longitud libre de pandeo	$s_K = 2l$	$s_K = l$	$s_K = l \cdot \sqrt{\frac{1}{2}}$	$s_K = \frac{l}{2}$
Situación de montaje del cilindro	 <p>Forma de sujeción C, D, F, H, K L, M, N, P, Q, T</p>	 <p>Forma de sujeción B, E, G, R, S</p>	<p>Indicación: Guiado cuidadoso de la carga, posible bloqueo</p>  <p>Forma de sujeción C, D, F, H, K L, M, N, P, Q, T</p>	<p>Indicación: Desfavorable; gran posibilidad de bloqueo</p>  <p>Forma de sujeción C, D, F, H, K L, M, N, P, Q, T</p>

Nota: Tomada de: <https://ingemecanica.com/tutorialsemanal/tutorialn212.html>

El caso de sujeción para la máquina de la figura 40 se define como 2. La longitud de pandeo (L_p) se calcula utilizando la fórmula $L_p = K \cdot L$, donde K es igual a 2 y L es igual a 0.4 metros, lo que resulta en $L_p = 2 \cdot 0.4$ metros, es decir, $L_p = 0.8$ metros.

Para determinar el diámetro mínimo del vástago, se requiere reemplazar el valor de la inercia de una sección circular en la fórmula de carga axial de pandeo, teniendo en cuenta la fuerza F_p (carga máxima) de 93.35 kN.

$$d = 0.034\text{m}$$

Se ha determinado que el diámetro mínimo necesario para que el vástago no falle debido al pandeo es de 34 mm. El cilindro hidráulico seleccionado tiene un diámetro de vástago de 50.8 mm, lo que supera ampliamente el valor mínimo requerido, lo que confirma que es una elección adecuada para la aplicación.

Para obtener la presión del sistema de la plataforma principal, es necesario calcular el área del pistón del cilindro hidráulico. Dado que el diámetro del pistón es de 4 pulgadas (4 plg), podemos usar la siguiente fórmula para calcular el área del pistón (A):

$$A = \pi * (\text{radio})^2$$

Donde el radio es la mitad del diámetro, en este caso:

$$\text{Radio} = 4 \text{ plg} / 2 = 2 \text{ plg}$$

Sustituyendo este valor en la fórmula:

$$A = \pi * (2 \text{ plg})^2$$

$$A = \pi * 4 \text{ plg}^2$$

$$A = 4 * \pi \text{ plg}^2$$

El área del pistón del cilindro es igual a 4π pulgadas cuadradas. Con esta área, puedes calcular la presión en el sistema hidráulico utilizando la fórmula de la presión:

$$\text{Presión} = \text{Fuerza} / \text{Área}$$

Donde la fuerza es la carga máxima que mencionaste anteriormente, que es de 93.35 kN. Recuerda que debes asegurarte de que todas las unidades estén en el mismo sistema (por ejemplo, convertir kN a N si es necesario) para obtener la presión en las unidades correctas.

$$P = \frac{A}{F} = \frac{93.8 \text{ KN}}{\frac{\pi * D^2}{4}}$$

$$P = 11514.3 \text{ KPa}$$

La presión requerida para mantener la plataforma en su posición deseada es de 11,514.3 kPa, la cual es una presión segura ya que no supera la capacidad máxima del cilindro, que es de 3,000 psi (20,700 KPa). Ahora, se necesita calcular el flujo de fluido necesario para elevar la plataforma principal.

$$Q = V * A$$

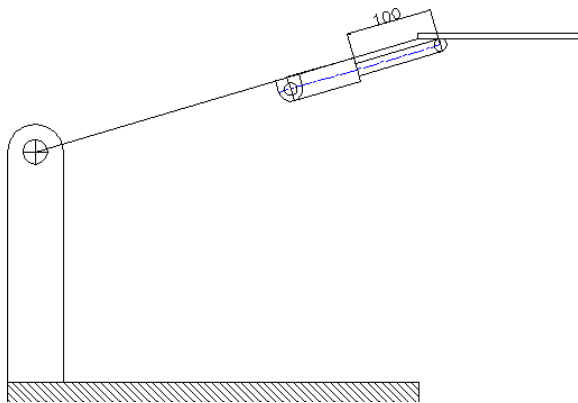
$$Q = 1.6 * 10^{-4} \frac{m^3}{s}$$

3.1.8.3 Selección de cilindro del labio.

El cilindro que seleccionamos será de doble efecto, su función es empujar el peso del labio abatible.

FIGURA 41

DESPLAZAMIENTO MÁXIMO DEL CILINDRO DE LABIO.



Diámetro mínimo del vástago:

$$d = \sqrt[4]{\frac{64 * (Lp) * (Cs) * (Fp)}{\pi * E}}$$

$$d = 5,00 * 10^{-3} m$$

El cilindro hidráulico seleccionado tiene un diámetro de vástago de 25.4 mm, lo cual supera el diámetro mínimo de 5 mm necesario para evitar el pandeo, lo que confirma que es una elección adecuada. Para determinar la presión requerida en el labio, es esencial calcular el área del pistón del cilindro, que tiene un diámetro de 2 pulgadas (2 plg)

$$P = 335 KPa$$

La presión máxima que el cilindro puede soportar es de 2500 psi (equivalentes a 17,250 KPa), lo que implica que 335 KPa se encuentra dentro de los límites admisibles. Ahora, necesitamos determinar el caudal requerido para elevar el labio.

$$Q = V * A$$

$$Q = 2.03 * 10^{-5} \frac{m^3}{s}$$

3.1.9 Selección de la central hidráulica y sus características técnicas.

Cuando calculamos la bomba hidráulica, es esencial tener en cuenta las pérdidas que ocurren en la tubería que conecta el cilindro principal de la plataforma y el cilindro del labio. Luego, se sumarán las nuevas presiones resultantes de cada cilindro, lo que nos permitirá seleccionar el motor y la bomba adecuados. La elección de la tubería se realizará de manera independiente para cada uno de los cilindros.

TABLA 15

SELECCIÓN DE MANGUERA HIDRÁULICA PARA EL CILINDRO PRINCIPAL.

ESPECIFICACIONES TECNICAS

Medida	Diámetro interior (Pulg./mm)	Diámetro Exterior mm (+/- 1.2)	Presión de Trabajo		Presión de Prueba		Presión de Ruptura		Radio de Curvatura
			Bar	PSI	Bar	PSI	Bar	PSI	
4	1/4 / 6.4	15	400	5800	640	9275	1600	23200	100
5	5/16 / 7.9	16.6	350	5075	560	8115	1400	20300	115
6	3/8 / 9.5	19	330	4785	528	7650	1320	19140	130
8	1/2 / 12.7	22.2	275	3990	440	6376	1100	15960	180
10	5/8 / 15.9	25.4	250	3625	400	5797	1000	14500	200
12	3/4 / 19.0	29.3	215	3120	340	4927	850	12480	240
16	1 / 25.4	38.1	165	2395	260	3768	650	9570	300
20	1 1/4 / 31.8	48.3	125	1810	200	2898	500	7240	420
24	1 1/2 / 38.1	55	90	1305	144	2087	360	5220	500
32	2 / 50.8	67.4	80	1160	128	1855	320	4640	630

Nota: <https://www.solucioneshidraulicasindustriales.com/catalogo>

Se ha seleccionado una manguera de alta presión con una longitud de 20 unidades de medida para la tubería. A continuación, se considerará la velocidad dentro de las tuberías en el análisis.

TABLA 16

SELECCIÓN DE MANGUERA HIDRÁULICA PARA EL LABIO ABATIBLE.

ESPECIFICACIONES TECNICAS									
Medida	Diámetro interior (Pulg./mm)	Diámetro Exterior mm (+/- 1.2)	Presión de Trabajo		Presión de Prueba		Presión de Ruptura		Radio de Curvatura mm
			Bar	PSI	Bar	PSI	Bar	PSI	
3	3/16 / 4.8	11.8	250	3620	400	5797	1000	14490	90
4	1/4 / 6.4	13.4	225	3260	360	5212	900	13050	100
5	5/16 / 7.9	15	215	3115	340	4927	850	12320	115
6	3/8 / 9.5	17.4	180	2610	288	4174	720	10440	130
8	1/2 / 12.7	20.6	160	2320	256	3710	640	9280	180
10	5/8 / 15.9	23.7	130	1885	208	3014	520	7540	200
12	3/4 / 19.0	27.7	105	1520	168	2434	420	6000	240
16	1 / 25.4	35.6	88	1275	140	2028	350	5200	300
20	1 1/4 / 31.8	43.5	63	910	100	1450	250	3600	420
24	1 1/2 / 38.1	50.6	50	725	80	1160	200	2900	500
32	2 / 50.8	64.1	40	580	64	927	160	2320	630

Nota: <https://www.solucioneshidraulicasindustriales.com/catalogo>

Tubería seleccionada medida 32.

TABLA 17

SELECCIÓN DEL MOTOR Y BOMBA HIDRÁULICA

Trifásica 230 / 400 V / 1500 r.p.m / 3 Phase 230 / 400 V / 1500 r.p.m / Triphasé 230 / 400 V / 1500 r.p.m															
Potencia Power Puissance (kw)	Presión / Pressure / Pression (bar)													Q (l/min)	
	100	110	120	130	140	150	160	170	180	190	200	210			
Desplazamiento Displacement Déplacement (cctrev)	0,8	0.25	0.25	0.37	0.37	0.37	0.37	0.37	0.55	0.55	0.55	0.55	0.55	1.1	
	1,2	0.37	0.37	0.55	0.55	0.55	0.55	0.55	0.75	0.75	0.75	0.75	0.75	1.6	
	1,6	0.55	0.55	0.55	0.75	0.75	0.75	0.75	0.75	1.1	1.1	1.1	1.1	2.1	
	2,1	0.75	0.75	0.75	1.1	1.1	1.1	1.1	1.1	1.1	1.1	1.1	1.5	1.5	2.8
	2,5	0.75	1.1	1.1	1.1	1.1	1.1	1.5	1.5	1.5	1.5	1.5	1.5	1.5	3.3
	3,3	1.1	1.1	1.1	1.5	1.5	1.5	1.5	2.2	2.2	2.2	2.2	2.2	2.2	4.4
	4,3	1.5	1.5	1.5	2.2	2.2	2.2	2.2	2.2	2.2	2.2	3.0	3.0	3.0	5.7
	4,8	1.5	1.5	2.2	2.2	2.2	2.2	2.2	2.2	3.0	3.0	3.0	3.0	3.0	6.3
	6,2	2.2	2.2	2.2	3.0	3.0	3.0	3.0	3.0	3.0	4.0	4.0	4.0	4.0	8.2
	7,9	2.2	3.0	3.0	3.0	4.0	4.0	4.0	4.0	4.0	4.0	5.5	5.5	5.5	10.4

Fuente: <https://www.solucioneshidraulicasindustriales.com/catalogo>

La presión a la que trabaja la bomba se puede calcular utilizando la potencia del motor y el caudal de la bomba. Para ello, convertimos la potencia de 2 HP a vatios (W), que es aproximadamente igual a 1491.4 W. Luego, dividimos esta potencia por el caudal de la bomba, que es de $1.75 \times 10^{-4} \text{ m}^3/\text{s}$.

3.2 Presupuesto general

Conocer un presupuesto general es crítico, ya que proporciona una guía financiera que facilita la planificación estratégica, el control de gastos, la toma de decisiones fundamentadas, la optimización de recursos, la evaluación del rendimiento, el acceso a

financiamiento y la preparación para contingencias, lo que en última instancia promueve la estabilidad y el éxito financiero de un proyecto o empresa.

3.2.1 Análisis Financiero

En la evaluación financiera del proyecto, se persigue el cálculo integral del gasto total asociado al nivelador de andén hidráulico. Este procedimiento involucra la ejecución de un minucioso escrutinio de cada una de las piezas esenciales con el propósito de determinar su valor individual.

Con el fin de obtener estimaciones de costos que sean precisas y veraces, se ha optado por solicitar cotizaciones basadas en los planos de desglose y ensamblaje del nivelador de andén hidráulico. Esto asegura que los costos reflejen de manera exacta los componentes y la mano de obra requeridos para la construcción del nivelador.

3.2.2 Estudio De Costos

Para realizar un análisis de los costos, resulta fundamental contar con datos relativos a los siguientes aspectos:

- Los desembolsos vinculados a la adquisición de materiales.
- Los gastos asociados con la producción y fabricación.
- Los costos inherentes a la mano de obra.
- El monto total de gastos.
- El costo final del proyecto.

3.3 Costo de materiales.

A continuación, se efectuará la evaluación de los costos de todos los materiales que se utilizarán en la máquina.

La Tabla 14 revela una distribución de costos detallada y esencial para la construcción de una plataforma niveladora en Ecuador. Los materiales seleccionados, como los perfiles de

acero, planchas antideslizantes y ejes, cumplen con los requisitos de resistencia y seguridad necesarios para operaciones de carga y descarga. La diversidad de materiales y sus especificaciones técnicas demuestran un enfoque integral en el diseño, con un énfasis particular en la estabilidad, durabilidad y seguridad. Si bien el costo total de \$1081.10 USD podría variar según los proveedores locales, esta inversión representa una base sólida para la construcción de una plataforma niveladora confiable y eficiente en el contexto de aplicaciones industriales en Ecuador.

TABLA 14

MATERIALES NORMALIZADOS.

Detalle del material	Canti dad	Especificaciones	COSTO (USD)	
			Costo	Total
IPE, A-36	4	6 m de largo x 160 mm de base	89.35	357.4
Plancha antideslizante, Material A-36	1	2 metros de largo, 1.85 m ancho, espesor 6 mm	160	160,00
Eje acero AISI 1045	1	2 metros de largo x 35 mm diámetro	85.00	85,00
Eje de acero A-36	1	2 metros de largo x 31 mm diámetro	116.00	116,00
Tubo, ASTM	2	6 metros de largo, tubo de 100 x 50 y 3 mm de espesor	58,60	117,2
Tubo ASTM A-36	1	1 metro de largo 60x60 y 3 mm de espesor	5.00	5,00
Perfil	1	6m, 125x125x8mm	76.70	76,70
Plancha 12 mm	1	185 cm x 60 cm	105	105,00
Plancha 2 mm	1	240 x 120 cm	59.84	59,84
Total (a)				1081,10

Nota: Estos materiales se pueden conseguir en el medio local y su precio varía según el proveedor.

3.4 Costo de componentes usados para el sistema hidráulico.

TABLA 15

COMPONENTES PARA EL SISTEMA HIDRÁULICO.

COSTO (USD)				
Componente	Cantidad	Detalles del sistema	Unidad	Total
Cilindro Hidráulico abatible	1	10 cm de carrera, 3000Psi de presión máxima.	250	200
Cilindro Hidráulico principal	1	400 cm de carrera, 3000Psi de presión máxima.	650	650
Válvulas		Válvula de secuencia	100	100
Central hidráulica	1	Unidad hidráulica, con válvulas y componentes.	1500,00	980.00
Total				2450,00

Nota: Componentes hidráulicos disponibles en el medio local.

3.5 Costo de componentes para el sistema eléctrico.

TABLA 16

MATERIALES PARA EL SISTEMA ELÉCTRICO.

COSTO (USD)				
Componente	Cantidad	Detalles	Costo	Total
Electroválvulas	1	Electroválvula Hidráulica	89,00	89,00
Pulsador o botonera	4		8.51	34.00
Contactores	4	110 V	27.59	51,00

Botón de Emergencia	1	110 V	3.82	3.80
Total			177.82	

Nota: Estos componentes son opcionales si no se compra la central hidráulica que ya los incluye.

3.6 Costo de otros materiales utilizados.

TABLA 17

OTROS MATERIALES USADOS PARA EL ACABADO

Denominación	Cantidad	Especificaciones Técnicas	COSTO (USD)	
			Unidad	Total
Pintura sintética azul	2 galones	Anticorrosivo azul sintético	27.68	55.36
Pintura Amarilla	2 litros	Anticorrosivo amarillo	6.50	13,00
Lija metálica	3		1.60	3.20
Electrodo 6011	6 kilos		3.11	16.66
Electrodo 6013	6 kilos		3.42	20.52
Diluyente	4 litros		4,00	12,00
TOTAL			120.74	

Nota: Estos materiales pueden ser variables dependiendo de los requerimientos del acabado.

TABLA 18

COSTO TOTAL DE MATERIALES UTILIZADOS

Operación	Valor (USD)
MATERIALES	1081.10
COMPONENTES HIDRÁULICOS	2450.00
COMPONENTES ELÉCTRICOS	177.82
OTROS MATERIALES	171.40
TOTAL	3880.32

Nota: Desarrollado por el autor del documento.

La fabricación de ciertas piezas requiere un proceso de maquinado, lo que conlleva un gasto asociado debido al uso de maquinaria y herramientas especializadas.

TABLA 19

COSTO TOTAL DE MECANIZADO DE COMPONENTES.

DETALLE	VALOR (USD)
Mecanizado	105.76
Proceso de corte de placas	66.50
Soldadura de Estructura	137.50
Otros	12.66
Total	322.42

Nota: Desarrollado por el autor del documento.

3.7 Costo Total.

Para calcular el costo global del diseño del andén hidráulico, se ha considerado una serie de factores que incluyen el costo de los materiales, los gastos de mecanizado y la inversión en mano de obra.

TABLA 20

COSTO TOTAL.

Título	Costos (USD)
Costos totales de los materiales.	3880.23
Costos de maquinado de piezas.	322.42
Costos de mano de obra.	800,00
Total	5002.65

Nota: Desarrollado por el autor del documento.

El costo de producción puede disminuir si se realiza una producción mayor, tenemos un costo de elaboración de 5 mil dólares, para obtener una ganancia sobre dicho valor y que esta corresponda al 15% como margen de utilidad el valor del sistema hidráulico tendría un costo de 5750\$ estando a un valor muy competitivo dentro del mercado actual

Figura 41 B*Costos de plataformas niveladoras en el País*

Rubro	Unidad	Descripción	Cantidad	Costo unitario	Costo parcial
1		Materiales			
mt26amc020a	Ud	Rampa niveladora hidráulica, para instalar en foso, de 60 kN de capacidad de carga nominal, formada por una plataforma de lámina lagrimada de acero, de 2500 mm de longitud, 2000 mm de anchura y 8 ó 10 mm de espesor, con labio abatible delantero de lámina lagrimada de acero, de 2500 mm de longitud, 400 mm de anchura y 8 ó 10 mm de espesor y bastidor de perfiles de acero laminado. Incluso cilindros hidráulicos, motor trifásico, bandas laterales reflectantes, perfiles metálicos angulares de 80x80 mm para recibido de la rampa niveladora hidráulica a obra, perfiles metálicos de refuerzo y cuadro de maniobra con pulsador de detención de emergencia.	1,000	6.286,82	6.286,82
Subtotal materiales:					6.286,82
2		Mano de obra			
mo011	h	Montador.	8,970	9,71	87,10
mo080	h	Ayudante montador.	8,970	6,06	54,36
Subtotal mano de obra:					141,46
3		Herramienta menor			
	%	Herramienta menor	2,000	6.428,28	128,57
Costos directos (1+2+3):					6.556,85

Es decir, se tiene un valor menor al del mercado actual y ofreciendo una plataforma personalizada acorde a los requerimientos del cliente, asimismo, considerando estándares de seguridad y mantenimiento. Para poder realizar las operaciones de control adecuadas y el mantenimiento preventivo a la máquina, Esto nos garantiza un producto competitivo y rentable para las empresas locales.

La venta final del producto con todos los requerimientos antes mencionados es la mostrada en la tabla mostrada a continuación:

Tabla 20 B

<i>COSTO TOTAL.</i>	
Título	Costos (USD)
Costo de producción	5000,00
Guanacia neta	750,55
Total	5750,00

Capítulo 4

4.1.1 Conclusiones

- La elección de una plataforma hidráulica con labio abatible demuestra ser una solución integral para optimizar los procesos de carga y descarga en entornos logísticos. La capacidad de ajustar la altura y adaptarse a diferentes vehículos agiliza las operaciones y minimiza los tiempos de espera.
- El análisis mecánico revela que el diseño cumple con los requisitos de esfuerzo y momento, con un esfuerzo cortante máximo de 31.8 kN y un momento máximo de 17.11 kN/m. Estos valores están por debajo de los límites admisibles, asegurando la integridad estructural del sistema incluso bajo cargas máximas.
- El diseño de las 6 vigas tipo C soldadas para formar un perfil rectangular es adecuado para distribuir las cargas de manera uniforme y proporcionar estabilidad. La adición de una lámina de acero lagrimada de 6 mm como refuerzo superior refuerza aún más la resistencia y durabilidad del sistema.
- La utilización de cilindros hidráulicos, uno principal para la plataforma y otro pequeño para el labio abatible, permite un control preciso de los movimientos. Las carreras de 16 pulgadas y 100 mm respectivamente proporcionan un rango de movimiento adecuado para el funcionamiento deseado.
- La elección de una bomba de 2.5 KW para el sistema hidráulico es apropiada, ya que proporciona la potencia requerida sin excesos de consumo energético. Esto contribuye a la eficiencia operativa y al ahorro de energía.
- La inversión de 5000, 00 dólares está respaldada por un desglose detallado de costos, asignando la mayor parte a materiales de alta calidad. Esta distribución financiera garantiza la resistencia y durabilidad de la plataforma, reduciendo el costo total de propiedad a lo largo del tiempo.
- La inclusión de dos cilindros hidráulicos, uno para el labio abatible y otro para la plataforma principal, es una elección técnica que garantiza una adaptabilidad precisa

a diferentes alturas de camiones y cargas. Esto permite una transición suave y segura, optimizando la eficiencia operativa.

- La estructura de labio abatible y los sistemas de control hidráulico permiten una carga y descarga más segura. La precisión en el ajuste y la regulación de la plataforma contribuyen a reducir el riesgo de daños tanto a la mercancía como a los operadores.
- La asignación de costos a maquinado y mano de obra especializada asegura un proceso de fabricación de alta calidad. Esta sinergia garantiza que la plataforma cumpla con estándares de seguridad y rendimiento, y resista las condiciones operativas más exigentes
- Las pruebas de carga y estrés exhaustivas demuestran la capacidad de la plataforma para soportar cargas variables y condiciones operativas extremas. Este enfoque garantiza su resistencia, longevidad y desempeño óptimo en el entorno industrial.
- El diseño de tolerancias precisas en las conexiones y componentes hidráulicos garantiza un ajuste perfecto y minimiza el riesgo de fugas, lo que contribuye a la integridad estructural y al funcionamiento seguro del sistema.
- La documentación técnica detallada, que incluye planos, diagramas hidráulicos y procedimientos de mantenimiento, se convierte en una valiosa referencia para la instalación, operación y mantenimiento efectivos de la plataforma en el largo plazo.
- La metodología de diseño aplicada, junto con la selección de componentes y el enfoque en los detalles, asegura que la plataforma hidráulica con labio abatible proporcione una solución eficiente, segura y rentable para las necesidades logísticas específicas de SarcoFruit SA.

4.1.2 Recomendaciones

- Realizar un análisis FMEA exhaustivo (Análisis de Modo y Efecto de Falla) para identificar y priorizar los posibles riesgos asociados al diseño y operación de la plataforma. Implementar estrategias de mitigación adecuadas para minimizar su impacto.

- Especificar materiales de alta calidad y estándares de fabricación que cumplan con las normativas relevantes para asegurar la durabilidad, la resistencia a la corrosión y la compatibilidad con los fluidos hidráulicos.
- Diseñar la plataforma con sistemas de control redundantes para garantizar la seguridad y funcionalidad en caso de fallos. Considerar estrategias para la recuperación segura en situaciones imprevistas.
- Implementar sistemas de sellado de alta calidad en las conexiones hidráulicas para prevenir fugas de fluido y asegurar la eficiencia operativa a largo plazo.
- Realizar pruebas exhaustivas en el labio abatible para garantizar su funcionamiento seguro y fiable durante la operación. Evaluar la estabilidad y el tiempo de respuesta del mecanismo.
- Realizar pruebas de carga y estrés en condiciones extremas que simulan cargas máximas y variaciones en la altura de los camiones. Esto confirmará la capacidad de la plataforma para enfrentar escenarios operativos desafiantes.
- Establecer un plan de mantenimiento preventivo que incluya inspecciones periódicas, cambios de fluidos hidráulicos y verificaciones de componentes críticos para prolongar la vida útil y mantener el rendimiento óptimo.

BLIBLIOGRAFÍA

- I. Referencias: Calleja, J. (2009). Tecnología mecánica y metrotecnia. Paraninfo. García, M. (2015). Sistemas neumáticos e hidráulicos. Marcombo.
- II. Pérez, M. (2018). Soluciones para empresas de cadena de frío. [Solutions for cold chain companies]. Revista de Logística y Distribución, 25(3), 45-52.
- III. Calleja, J. (2019). Tecnología mecánica y metrotecnia. Paraninfo. García, M. (2015). Sistemas neumáticos e hidráulicos. Marcombo.
- IV. Rodriguez J. (2018). Mantenimiento de plataformas niveladoras hidráulicas [Maintenance of hydraulic leveling platforms]. Revista de Logistica y Transporte [Logistics and Transportation Magazine], 6(2), 45-52.
- V. González, M. (2020). Guía de mantenimiento de plataformas niveladoras [Maintenance guide for leveling platforms]. Editorial Técnica Industrial.
- VI. González, P. (2022). Mantenimiento y cuidado de las plataformas niveladoras hidráulicas [Maintenance and care of hydraulic leveling platforms]. Editorial Técnica Industrial.
- VII. Aradock Puertas y Automatismos. Accedido el 20 de Mayo de 2023 desde <https://www.aradock.es/ventajas-de-las-rampas-niveladoras/>
- VIII. Taylor, A. (2020). Design considerations for hydraulic loading dock levelers. International Journal of Industrial Engineering, 7(2), 123-137.
- IX. Smith, J., Johnson, M., & Brown, K. (2021). Hydraulic loading dock levelers: A comprehensive design guide. Journal of Logistics Engineering, 15(3), 45-62.
- X. Johnson, R., & Lee, S. (2019). Hydraulic dock leveler design and optimization. International Journal of Supply Chain Management, 12(1), 78-94.
- XI. Brown, L., & García, R. (2020). Hydraulic systems for cold chain loading dock equipment. Journal of Cold Chain Technologies, 8(2), 56-72.

- XII. Clark, B. (2018). Safety considerations in the design of hydraulic dock levelers. *Journal of Occupational Safety and Health*, 25(4), 90-105.
- XIII. Miller, T. (2021). Hydraulic loading dock levelers for efficient material handling. *International Journal of Materials Handling*, 9(2), 34-50.
- XIV. Johnson, R. (2023). Automation and control systems for hydraulic loading dock levelers. *Journal of Automation Engineering*, 18(1), 112-128.

APÉNDICE

APÉNDICE A
PLANOS Y DIAGRAMAS

Diagrama Hidráulico (Simulación_FluidSim_H)

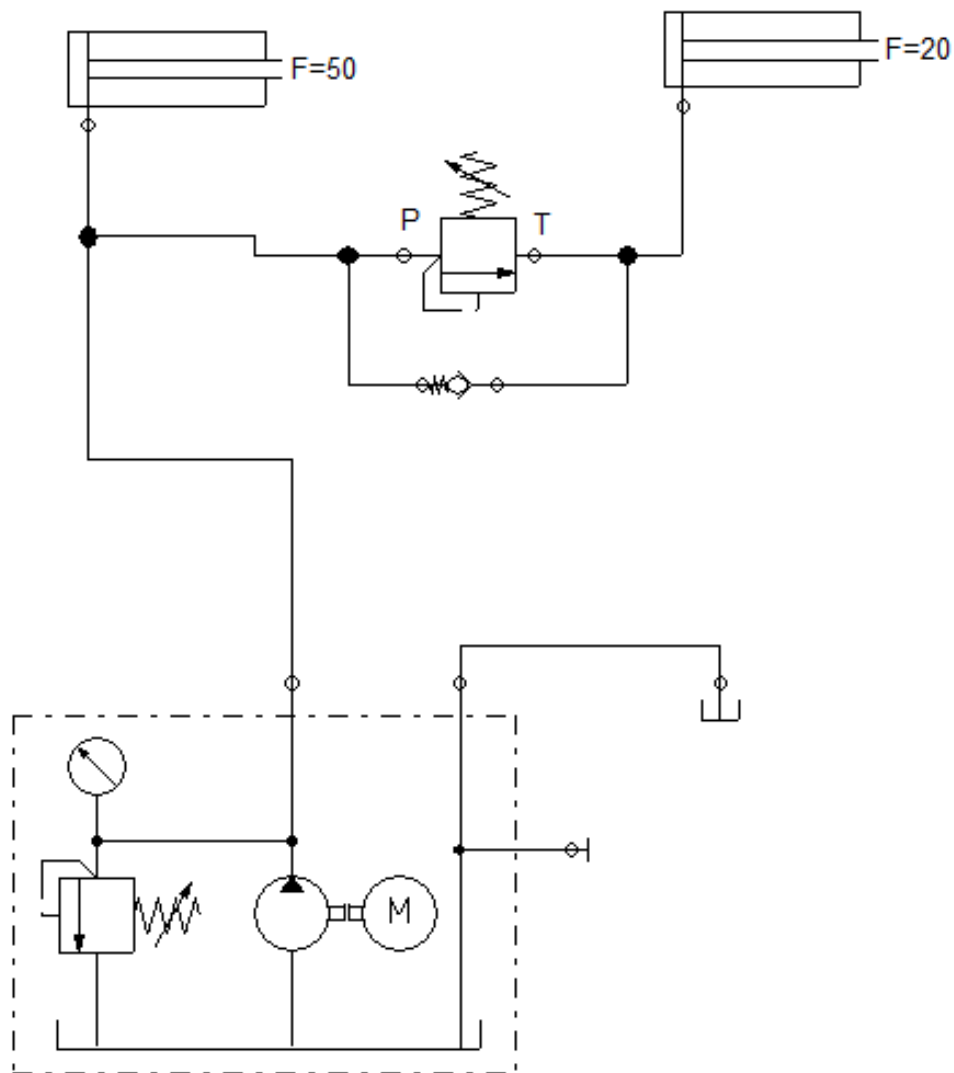
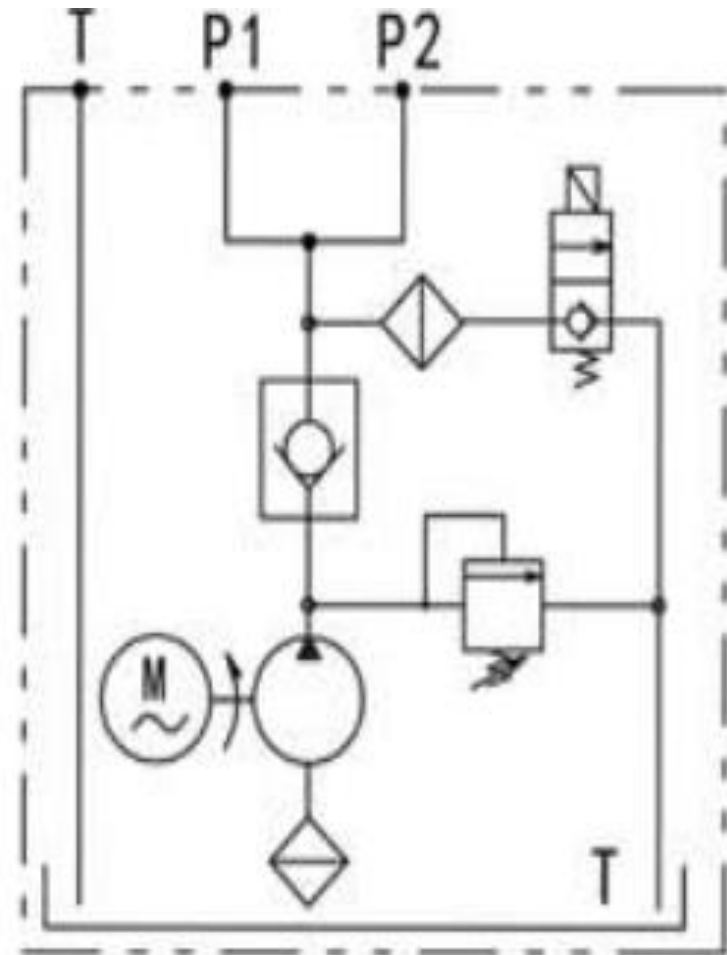
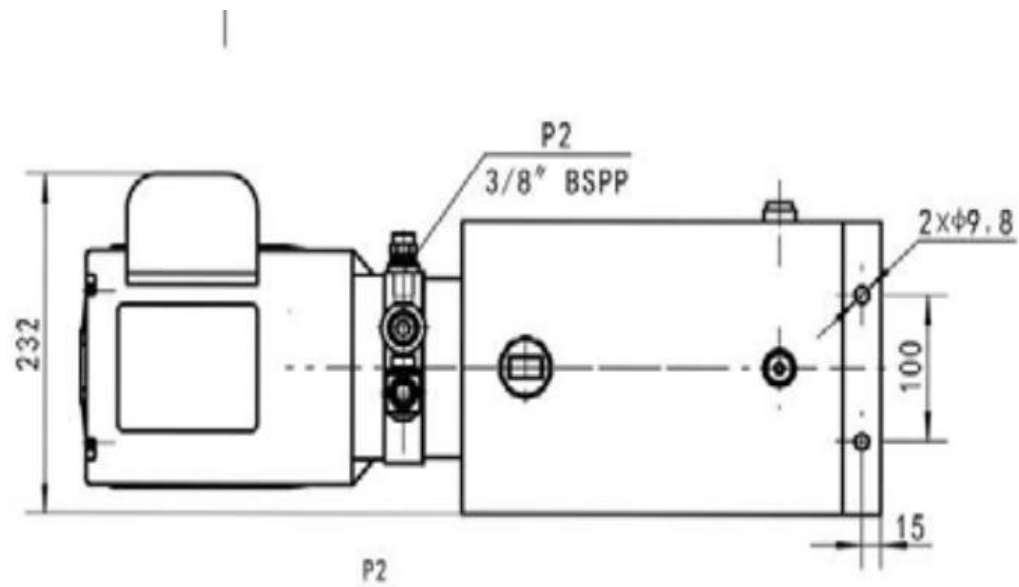
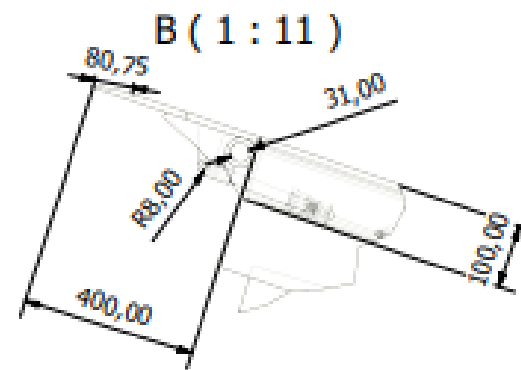
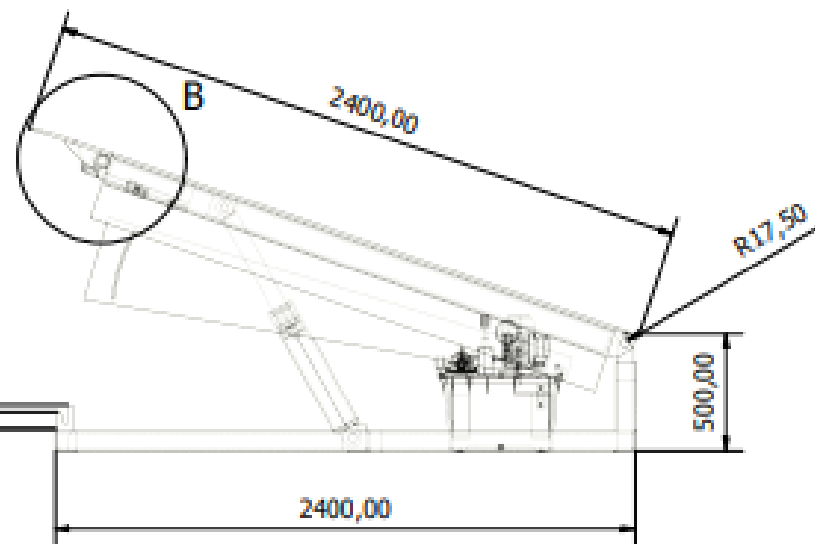
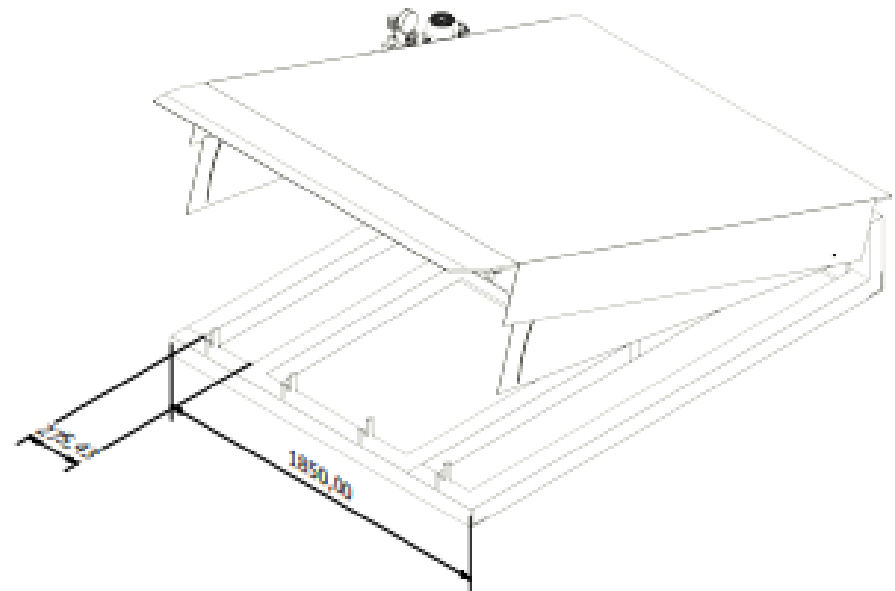
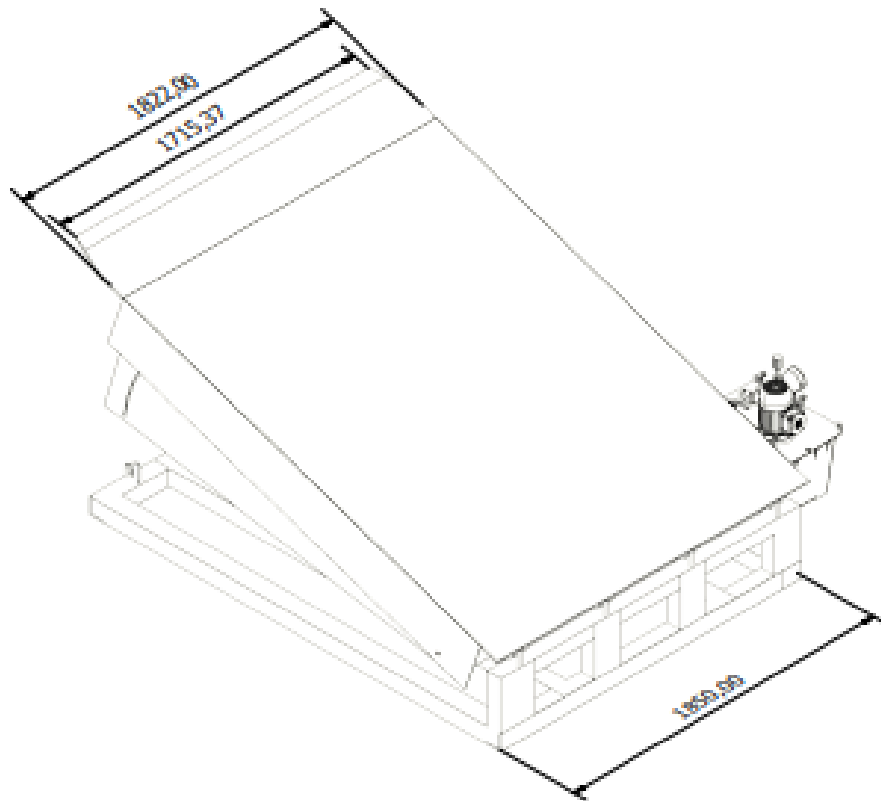
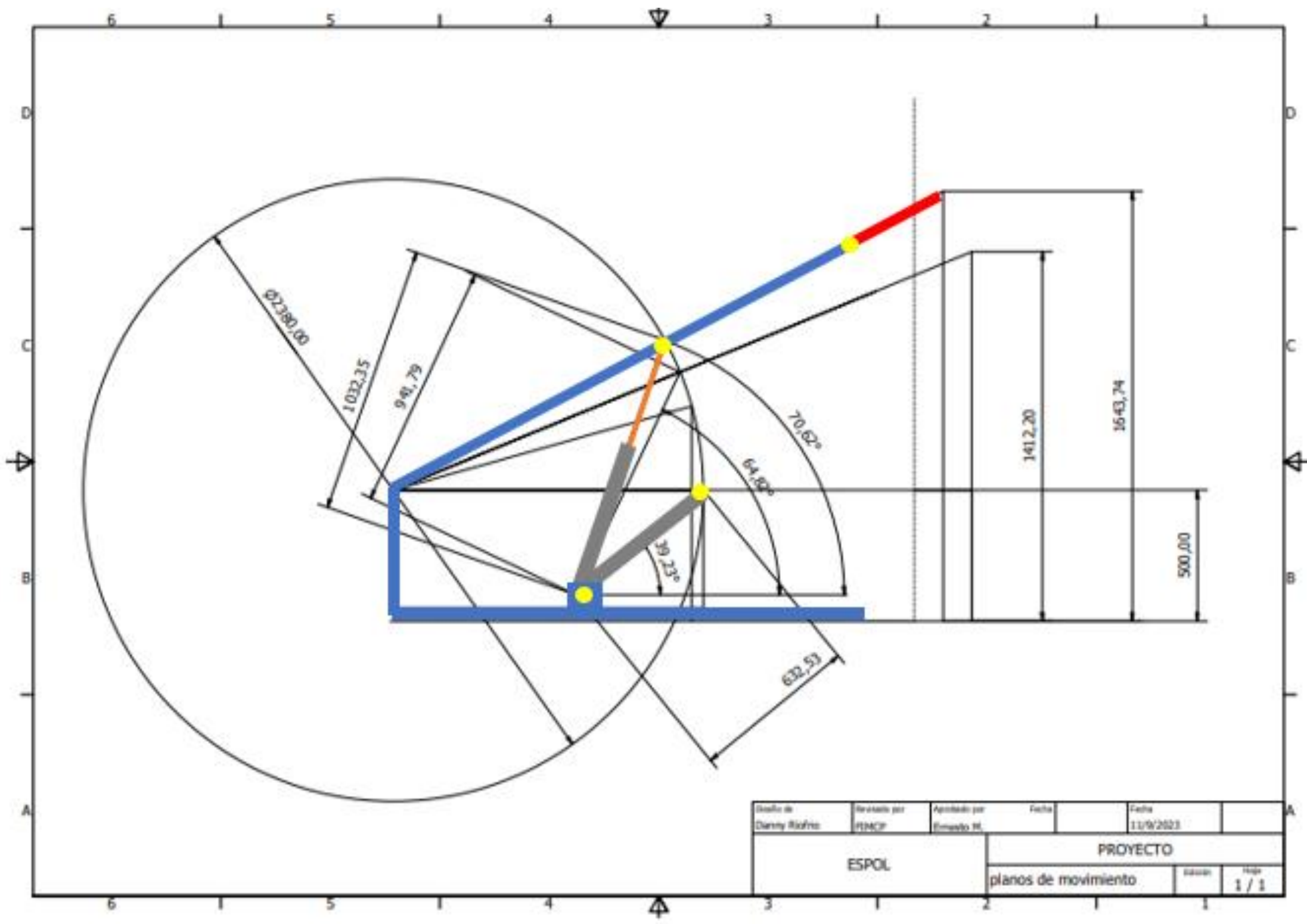


DIAGRAMA DEL ESQUEMA DE LA CENTRAL HIDRAULICA O GRUPO MOTRIZ



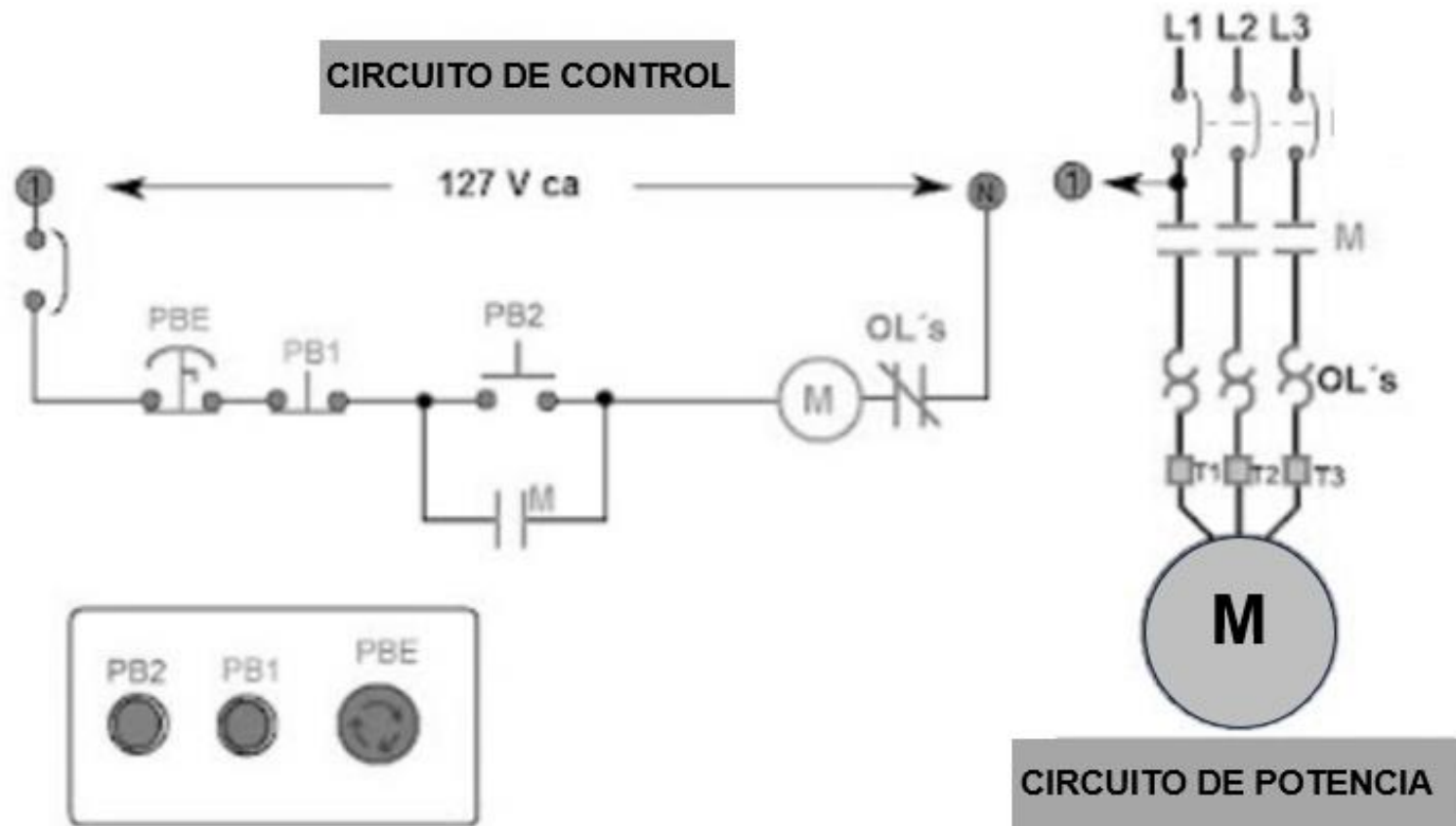


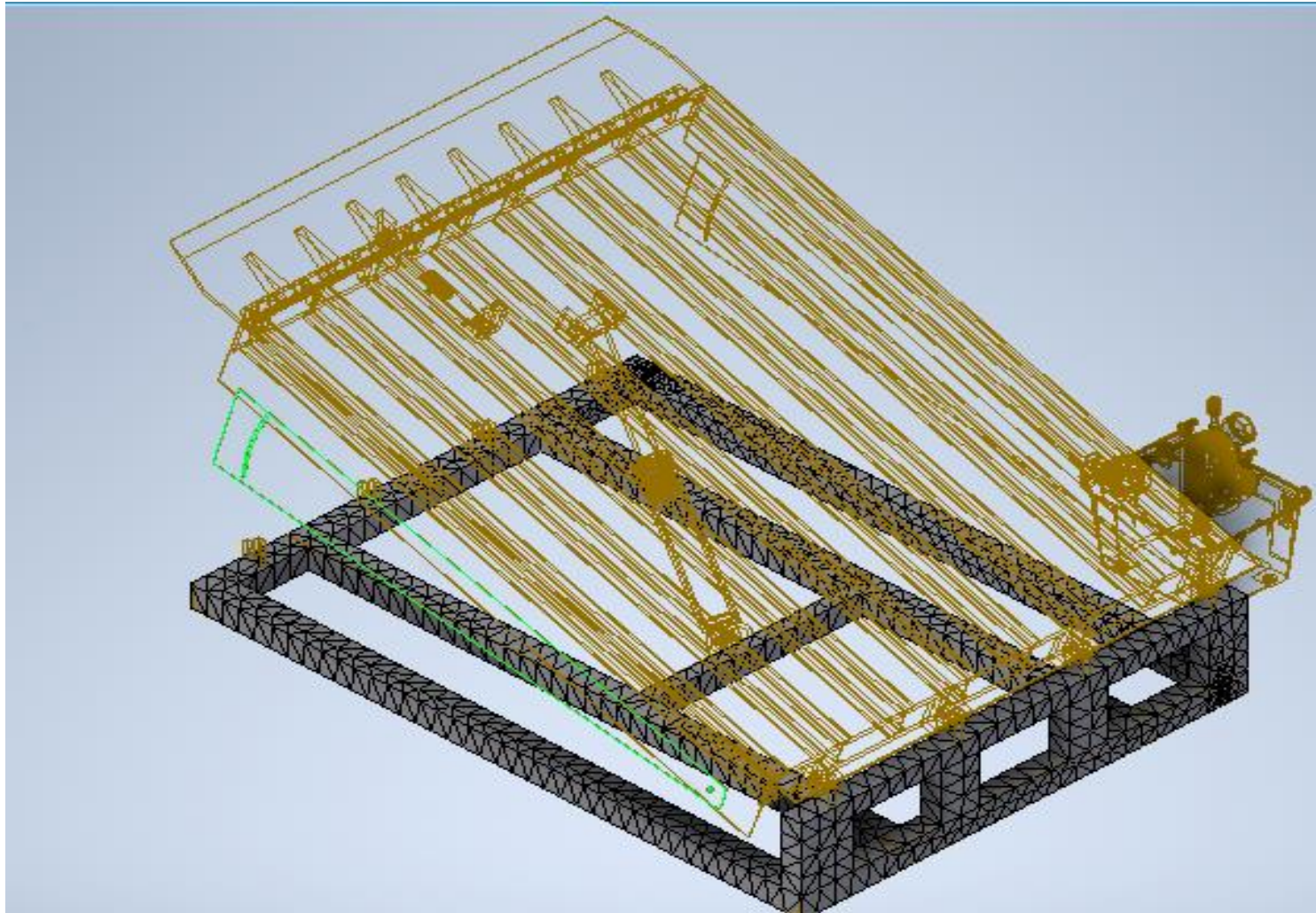
Diseño de Danny Riofrio	Revisado por Ernesto Lozano	Aprobado por FIMCP	Fecha	Fecha 3/9/2023	
ESPOL			Proyecto Integrador		
			PLATAFORMA NIVELADORA	Edición 1	Hoja 1 / 1

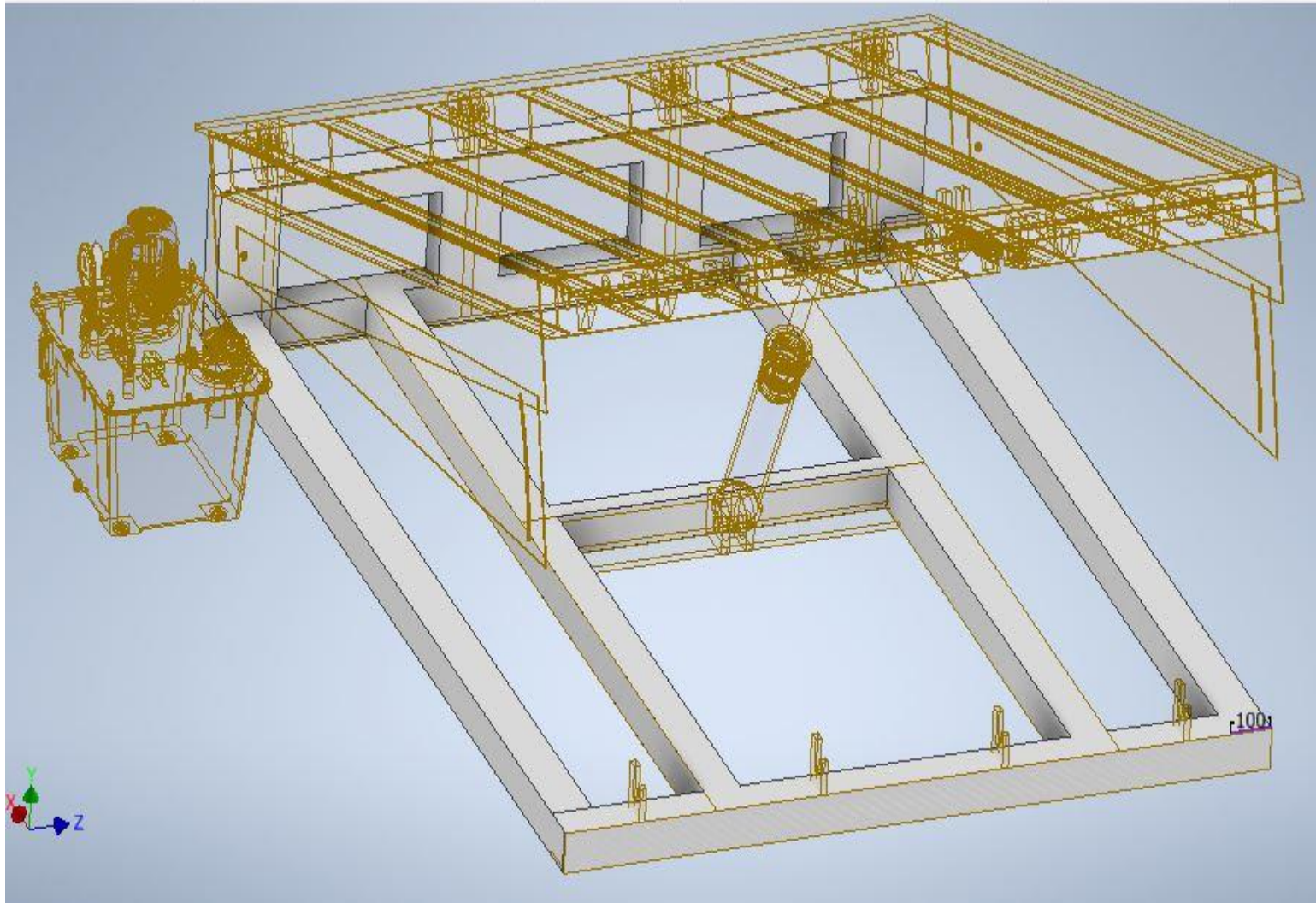


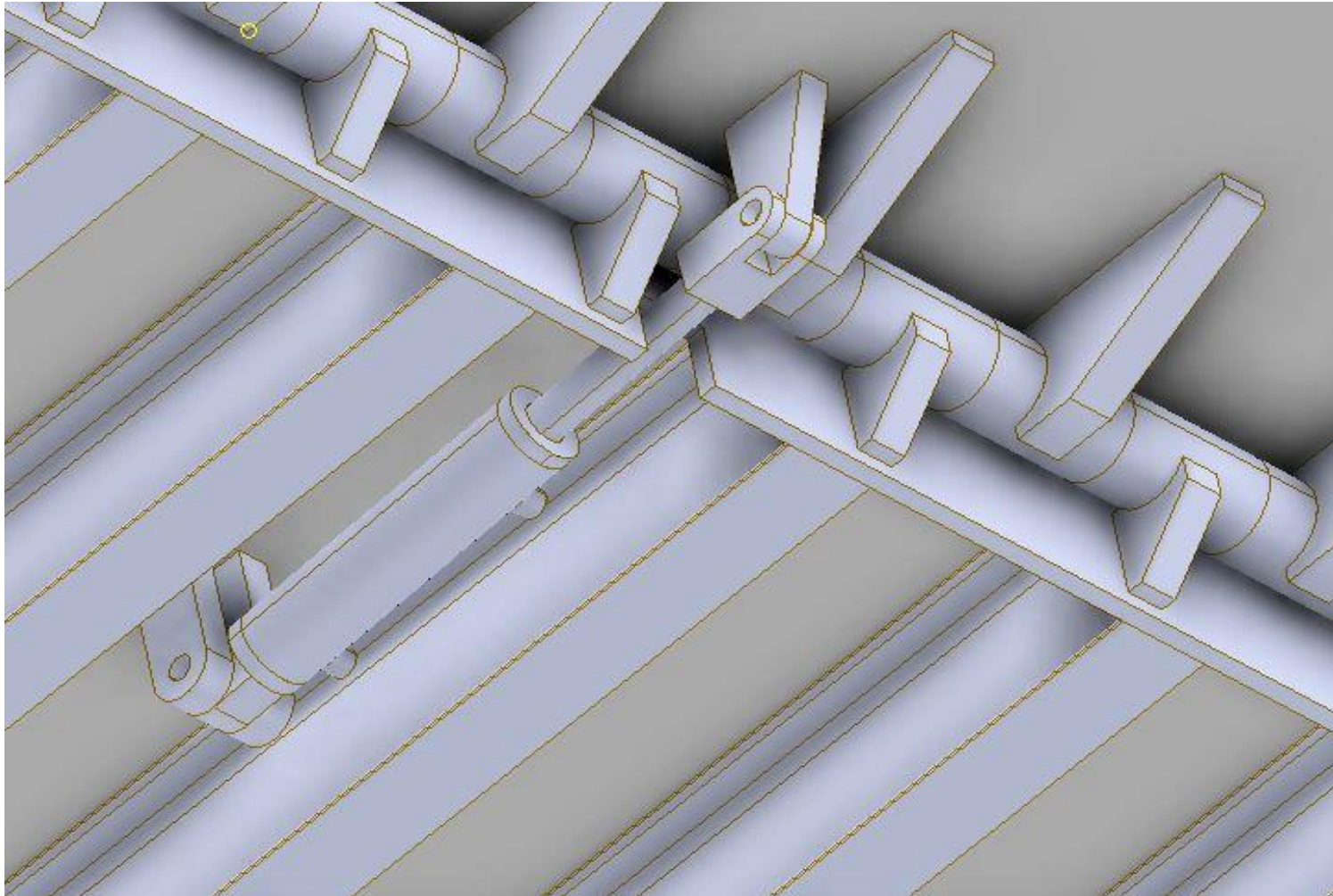
Diseño de Danny Rialto	Revisado por RDMCP	Aprobado por Emanuel M.	Fecha	Fecha 11/9/2023
ESPOL			PROYECTO	
			planos de movimiento	Hoja 1 / 1

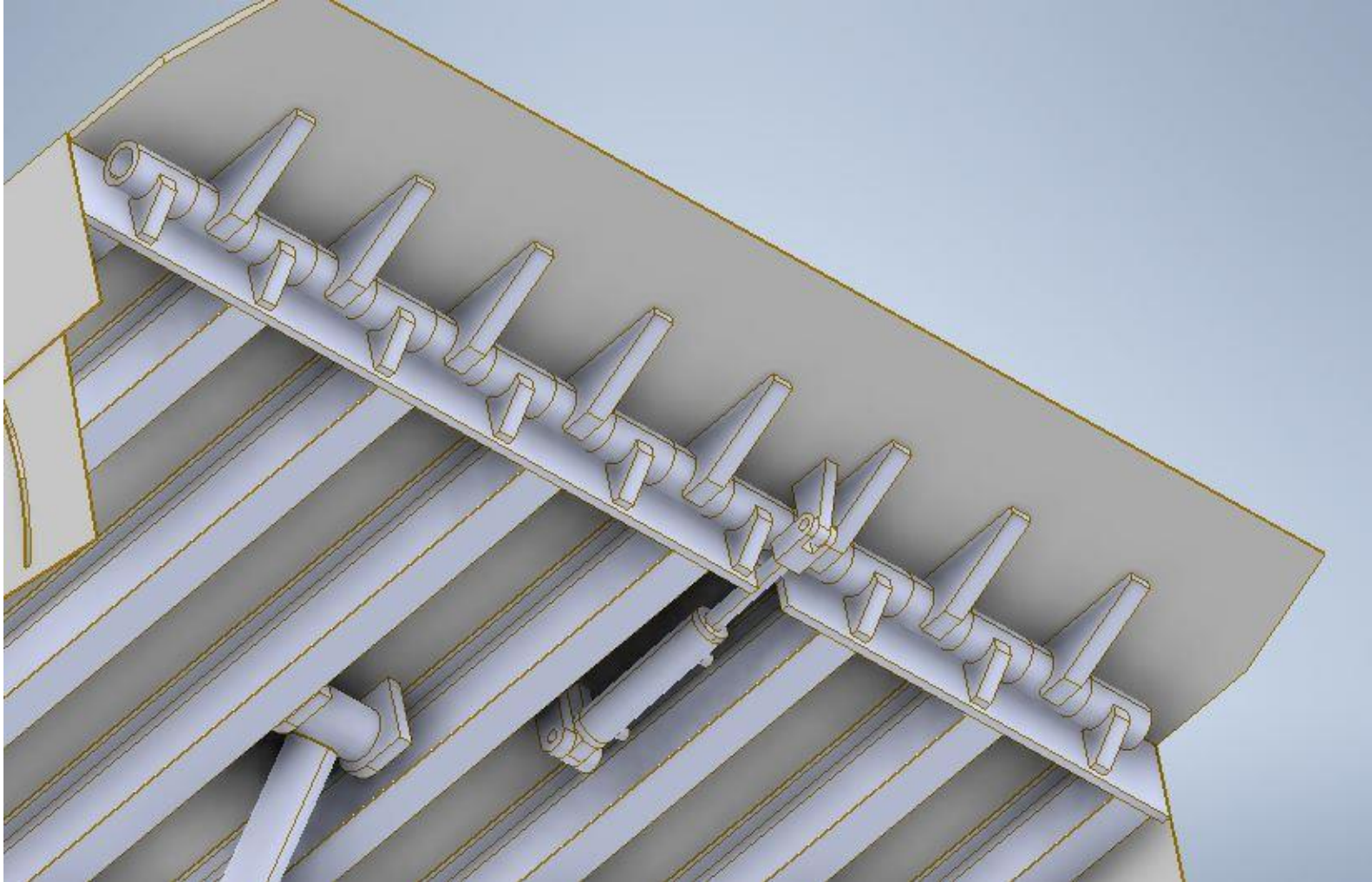
DIAGRAMA ELECTRICO PARA ARRANQUE Y PARADA DEL SISTEMA

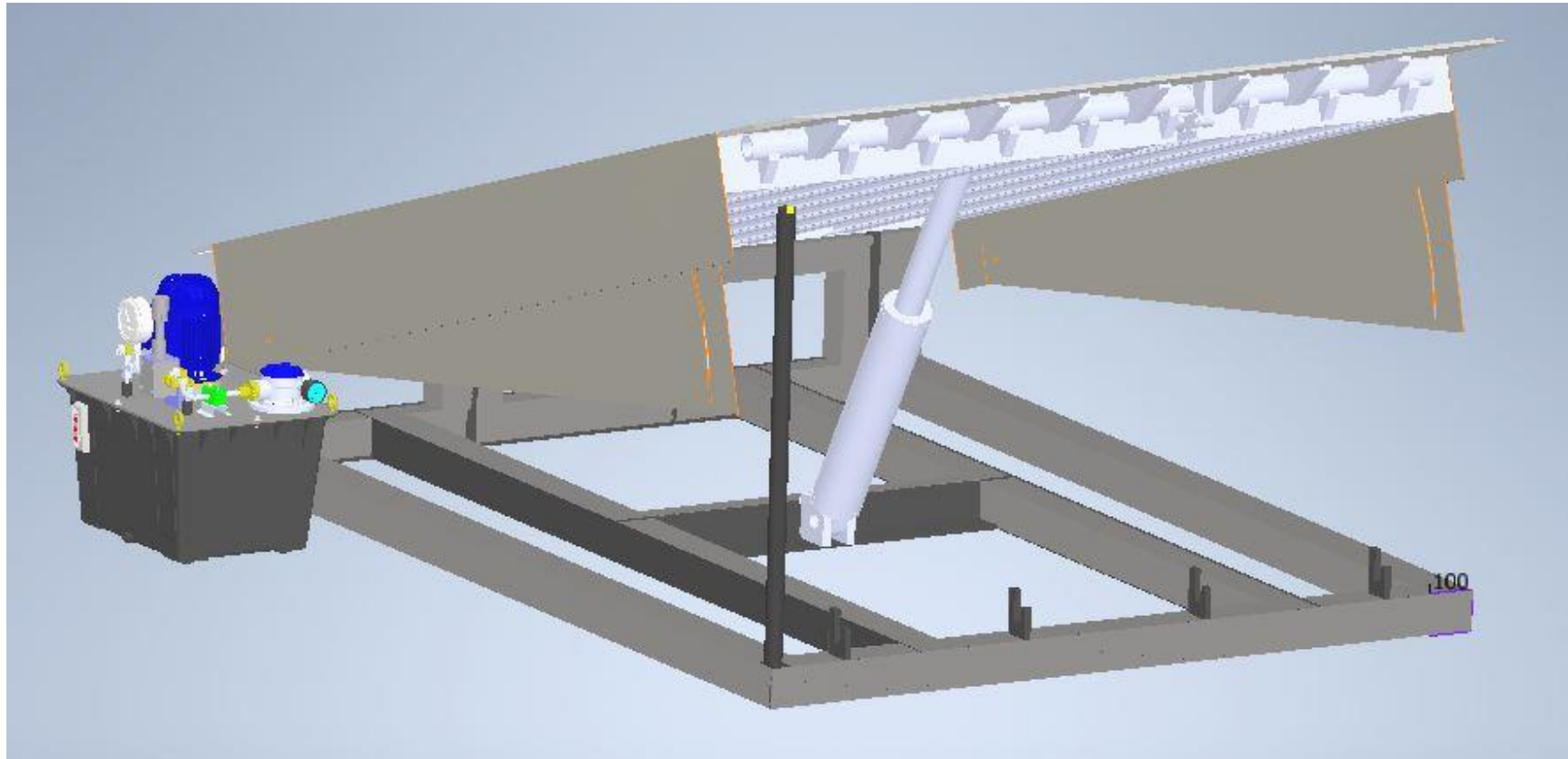


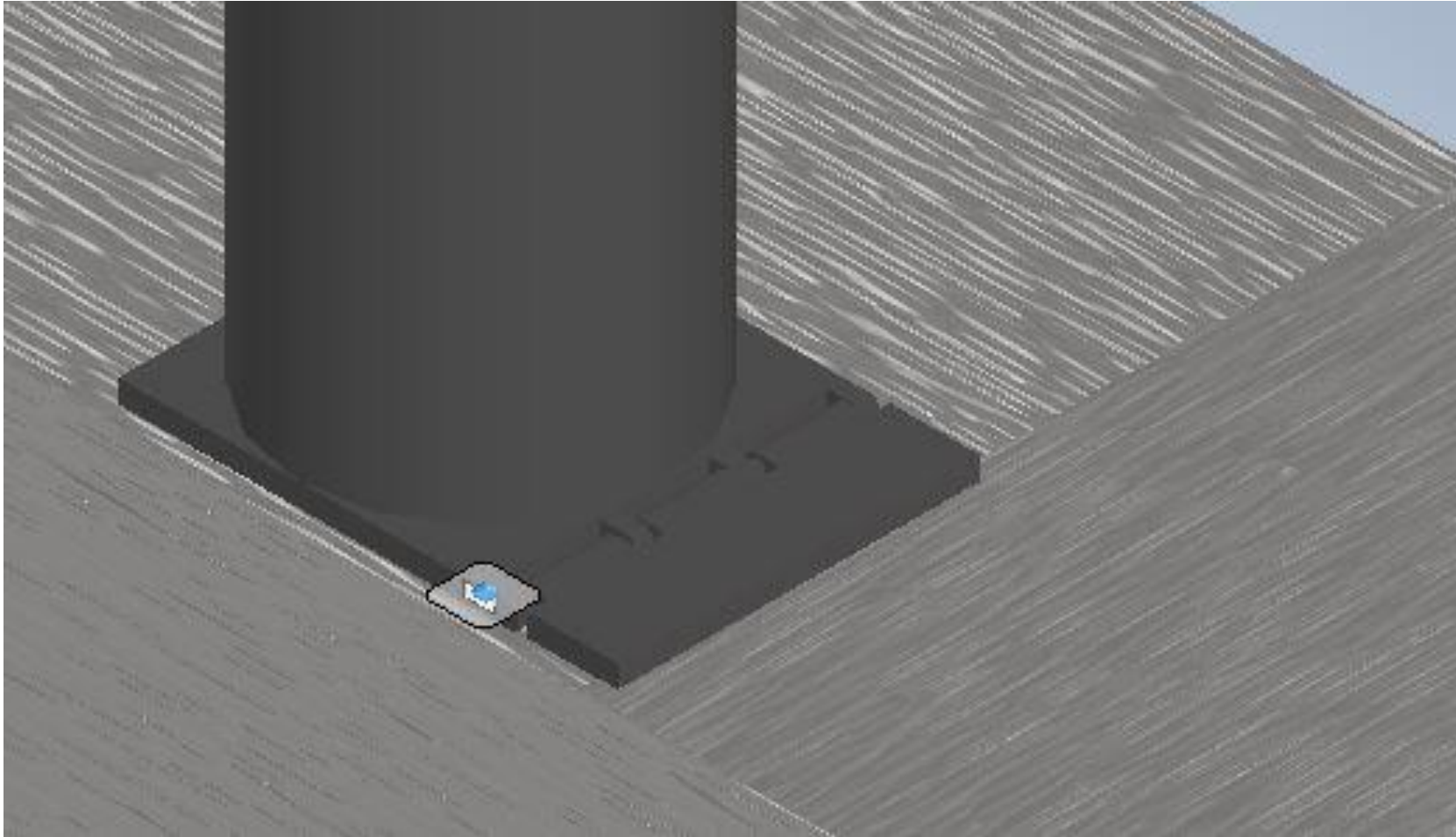
VISTA POSTERIOR DE PLATAFORMA NIVELADORA

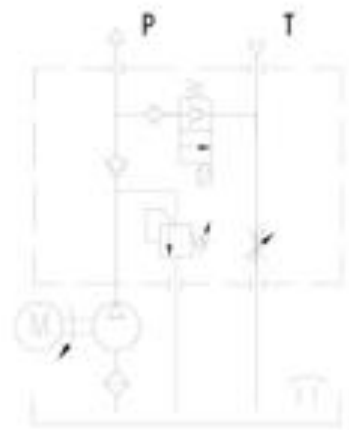
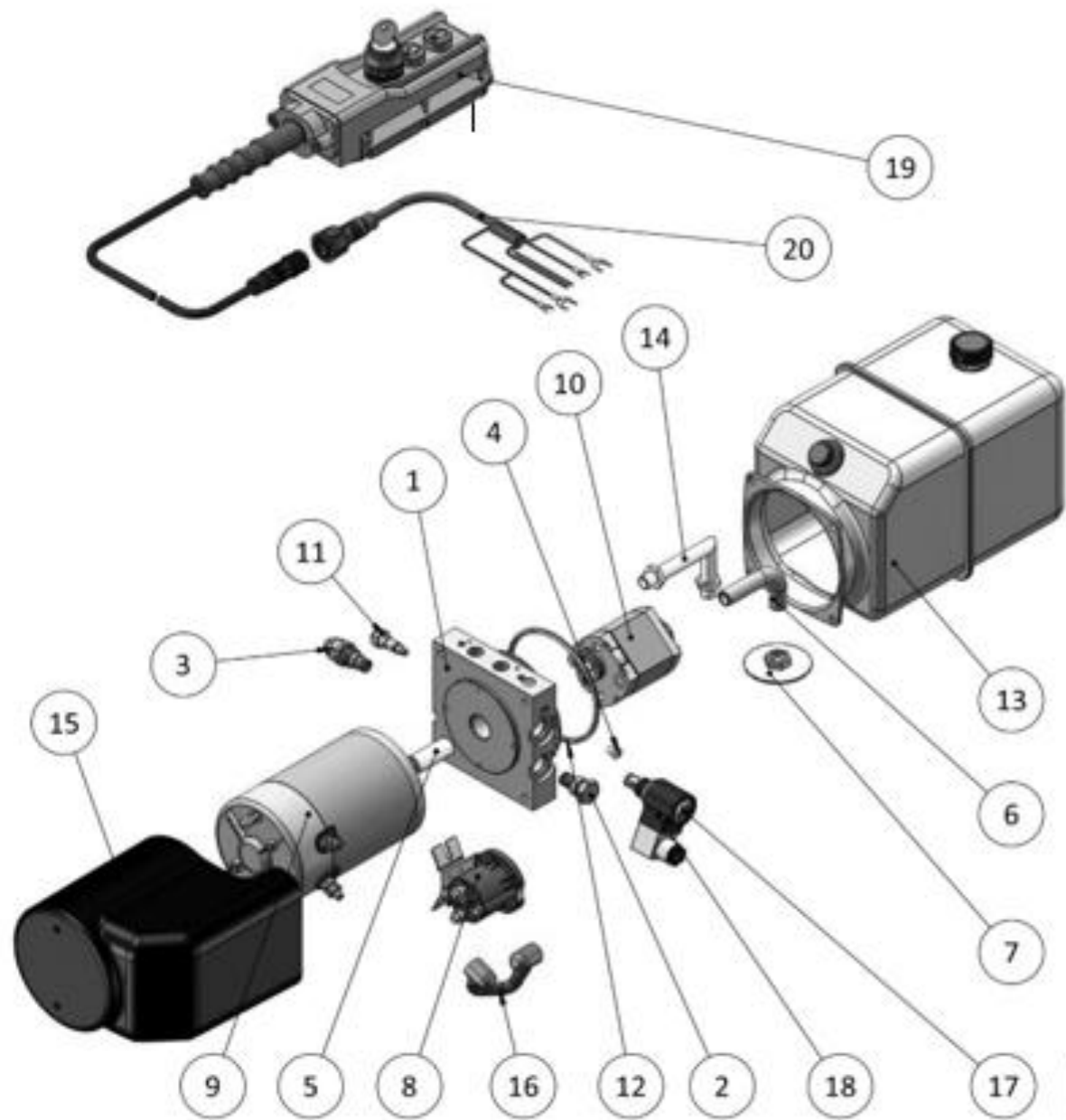
VISTA PRINCIPAL DE LA PLATAFORMA NIVELADORA

BUJES PARA EL LABIO ABATIBLE

LABIO ABATIBLE, BUJES Y CILINDRO SECUNDARIO

BARRA DE SEGURIDAD PARA MANTENIMIENTO DE PLATAFORMA NIVELADORA

BISAGRA ANCALADA A LA BASE PARA SUJECCIÓN DE BARRA DE SEGURIDAD PARA MANTENIMIENTO



ITEM	
1	Centermanifold
2	Check Valve
3	Relief Valve
4	Oil Port Plug
5	Coupling
6	Suction Pipe
7	Filter
8	DC Motor Starter
9	DC Motor
10	Gear Pump
11	Throttle Valve
12	O-ring
13	Plastic Tank
14	Return Pipe
15	Motor Cover
16	Cable
17	2/2 NC Solenoid Valve
18	Coil for 2/2 Valve
19	Lock Remote Pendant
20	3 wires Control Cable

Diseño de Danny Riofrio	Revisado por Ernesto Lozano	Aprobado por FIMCP	Fecha	Fecha 3/9/2023
ESPOL			Proyecto Integrador	
			plano de la base sin borrar	Edición 1 / 1

APÉNDICE B

CATALOGOS Y PROPIEDADES

FIGURA 1
CATÁLOGO DE PERFILES TIPO C

Designación	Dimensiones (mm)			Masa Kg/m	A cm ²	d1 cm	Momento de inercia		Módulo resistente		Radio de giro	
	h	b	e				Ix	Iy	Wx	Wy	ix	iy
	mm	mm	mm				cm ⁴	cm ⁴	cm ³	cm ³	cm	cm
C 200 x 50 x 2	200	50	2	4,59	5,87	0,92	316	11,8	31,6	2,88	7,34	1,42
C 200 x 50 x 3	200	50	3	6,80	8,7	0,96	462	17,1	46,2	4,23	7,29	1,4
C 200 x 50 x 4	200	50	4	8,95	11,5	1,0	600	22,1	60	5,52	7,23	1,39
C 200 x 50 x 5	200	50	5	11,05	14,2	1,05	729	26,7	72,9	6,75	7,17	1,37
C 200 x 50 x 6	200	50	6	13,08	16,81	1,09	850,8	31,18	85,08	7,97	7,11	1,36
C 200 x 60 x 5	200	60	5	11,83	15,18	1,34	853,8	45,29	85,33	9,72	7,5	1,73
C 200 x 60 x 6	200	60	6	14,02	18,01	1,39	963,8	53,04	96,37	11,5	7,31	1,71
C 200 x 60 x 8	200	60	8	18,23	23,5	1,53	1219	66,96	121,9	14,96	7,2	1,68
C 200 x 80 x 6	200	80	6	15,91	20,42	2,14	1190	120,8	119	20,61	7,63	2,43
C 200 x 80 x 8	200	80	8	20,74	26,69	2,14	1514	153,9	151,4	26,27	7,53	2,4
C 200 x 80 x 10	200	80	10	25,34	32,71	2,23	1803	183,9	180,3	31,87	7,42	2,37
C 200 x 80 x 12	200	80	12	29,71	38,47	2,32	2060	210,4	206	37,04	7,32	2,34
C 200 x 100 x 6	200	100	6	17,79	22,82	2,78	1416	225,3	141,6	31,19	7,87	3,14
C 200 x 100 x 8	200	100	8	23,25	29,89	2,87	1809	289,6	180,9	40,61	7,77	3,11
C 200 x 100 x 10	200	100	10	28,48	36,71	2,97	2165	348,6	216,5	49,59	7,67	3,08
C 200 x 100 x 12	200	100	12	34,28	43,28	3,07	2485	420,8	248,5	60,72	7,58	3,12
C 250 x 60 x 3	250	60	3	8,45	10,8	1,1	894,5	30,27	71,56	6,18	9,1	1,67
C 250 x 60 x 4	250	60	4	11,15	14,27	1,14	1167	39,31	93,35	8,09	9,04	1,66
C 250 x 60 x 5	250	60	5	13,79	17,68	1,19	1426	47,85	114,1	9,95	8,98	1,65
C 250 x 60 x 6	250	60	6	16,38	21,02	1,23	1674	55,89	133,9	11,72	8,92	1,63
C 250 x 60 x 8	250	60	8	21,37	27,48	1,32	2133	70,52	170,6	15,07	8,81	1,6
C 250 x 80 x 6	250	80	6	18,26	23,42	1,82	2031	129	162,5	21,28	9,31	2,34
C 250 x 80 x 8	250	80	8	23,88	30,69	1,91	2601	164,7	208,1	27,03	9,2	2,31
C 250 x 80 x 10	250	80	10	29,27	37,71	2,00	3119	197,3	249,5	32,88	9,09	2,28
C 250 x 80 x 12	250	80	12	34,42	44,47	2,09	3589	225,8	287,1	38,2	8,98	2,25
C 250 x 100 x 6	250	100	6	20,14	25,82	2,49	2388	241,6	191,1	32,17	9,61	3,05
C 250 x 100 x 8	250	100	8	26,39	33,89	2,58	3069	311,4	245,6	41,96	9,51	3,03
C 250 x 100 x 10	250	100	10	32,41	41,71	2,67	3695	375,8	295,6	51,27	9,41	3,0
C 250 x 100 x 12	250	100	12	38,19	49,27	2,77	4268	450,3	341,5	62,28	9,31	3,02
C 250 x 120 x 10	250	120	10	35,55	45,71	3,40	4272	629,6	641,7	73,21	9,67	3,71
C 250 x 120 x 12	250	120	12	41,96	54,07	3,49	4948	732,6	395,8	86,09	9,57	3,68
C 300 x 80 x 4	300	80	4	13,98	17,87	1,56	2186	93,35	145,8	14,5	11,06	2,29
C 300 x 80 x 5	300	80	5	17,33	22,18	1,61	2685	114,4	179	17,9	11,0	2,27
C 300 x 80 x 6	300	80	6	20,62	26,42	1,65	3165	134,6	211	21,19	10,94	2,26

FIGURA 2
CARACTERÍSTICAS DEL ACERO SAE 2045

SOLDADURA					
Este acero se puede soldar fácilmente, se recomienda soldadura A.W.S clase E-6010, E-6011, E-6013 de la American Welding Society.					
ACERO SAE 1045					
DIN	CK - 45				
UNI	C - 45				
AFNOR	XC - 45				
SAE	1045				
CARACTERÍSTICAS DE EMPLEO					
SAE 1045 es un acero grado ingeniería de aplicación universal que proporciona un nivel medio de resistencia mecánica y tenacidad a bajo costo con respecto a los aceros de baja aleación. Frecuentemente se utiliza para elementos endurecidos a la llama ó por inducción. Este acero puede ser usado en condiciones de suministro: laminado en caliente o con tratamiento térmico (templado en aceite y revenido; ó templado en agua y revenido).					
SAE 1045 es un acero de baja templabilidad que puede ser endurecido totalmente en espesores delgados por temple en agua. En secciones más gruesas se puede obtener un endurecimiento parcial de la sección de la pieza y el incremento de la resistencia será proporcional a la capa o espesor endurecido, al ser deformado en frío se presenta un incremento en la dureza y la resistencia mecánica.					
COMPOSICION QUÍMICA					
	C %	Mn %	P máx. %	S máx. %	Si máx. %
Análisis típico en %	0.43 0.50	0.6 0.9	0.04	0.05	0.2 0.4
PROPIEDADES FÍSICAS					
Estos valores son obtenidos a partir de probetas bajo condiciones específicas de laboratorio y deben ser usados como referencia.					
• Densidad → 7.85 gr/cm ³ .				• Resistividad eléctrica (microhm-cm): a 32°F = 16.2 a 212°F = 22.3	
• Módulo de elasticidad → 2 x 10 ¹¹ Pa (24 x 10 ⁶ PSI).				• Coeficiente de dilatación térmica / °C	
• Conductividad térmica → 52 W/(m·°C).				(20 - 100°C) 12.3 x 10 ⁻⁶	
• Calor específico J/(Kg·K) → 460				(20 - 200°C) 12.7 x 10 ⁻⁶	
• Coeficiente de Poisson → 0,3				(20 - 400°C) 13.7 x 10 ⁻⁶	
PROPIEDADES TÍPICAS A TEMPERATURA AMBIENTE SIN ENDURECIMIENTO					
Diámetro de la barra: 12 a 38 mm					
Propiedad	Laminado en caliente	Normalizado	Recocido		
Resistencia a la tracción MPa	655	655	620		
Punto de fluencia MPa	413	413	379		
% de elongación	23	23	26		
% de reducción de área	44	45	53		
Dureza brinell (3000 kg.)	190	190	180		

APÉNDICE C

4.2 APÉNDICE B DATOS IMPORTANTES

PARA REALIZAR CÁLCULOS

4.3 Cálculos valores importantes para el diseño de los componentes del sistema Hidráulico.

Distribución del peso en el montacarga.

TABLA 1
Características del Montacargas.

Modelo del Montacargas	GP30-NM
Carga máxima	3000 kg
Peso del montacargas sin carga incluyendo las baterías	4250 kg
Peso por eje con carga, delantero / posterior.	6490 - 760 kg
Peso x ejes sin cargas, delantero / posterior.	1730 - 2520 kg.
Longitud entre ejes	1700 mm
Longitud con la horquilla.	3795 mm
Anchura total.	1275 mm
Distancia entre centros de ruedas, delante.	1060 mm
Inclinación máxima del mástil hacia atrás.	6 grados
Altura patrón.	3030 mm
Centro de gravedad	500 mm.

Nota: Obtenido de Bodega de Sarcofruit SA

TABLA 2
Dimensiones de plataforma y Contenedor

Dimensiones de plataforma y Contenedor	
Altura máxima desde: Piso- filo de contenedor.	1.65 - 1.70 m
Altura máxima desde: Piso- filo de la plataforma.	1.60 m
Ancho máximo de la plataforma.	2 m
Ancho del contenedor.	2.4 m

TABLA 3**4.4 Cargas vivas.**

Cargas Vivas Del Anden Hidráulico	
Detalle	Cantidad
Capacidad máxima de carga del montacarga.	3000 kg
Peso del montacarga sin carga, en el eje delantero.	1730 kg.
Peso del montacarga sin carga, en el eje trasero.	2520 kg.
PESO TOTAL	7250 kg.

TABLA 4*Peso promedio de una persona.*

metros	kg
1.57	50 - 65
1.60	53 - 65
1.64	54 - 67
1.68	56 - 72
1.71	57 - 74
1.75	59 - 76
1.77	61 - 78
1.78	63 - 79
1.80	64 - 80

Nota: datos obtenidos de <https://www.tuasaude.com/es/peso-ideal/>

FIGURA 3

Tabla de pesos y medidas de embalaje/paletizaje de manzanas y peras.

A) Manzanas, B) Peras

TIPO DE CAJA	Dimensiones Exteriores (mm)	Embalaje	Peso Neto (kg)	Cajas / Pallet Standard	Tipo Pallet
Cartón	400 x 600 x 90	1 bandeja	6 / 6,5	125	995 x 1195 x 145
	400 x 600 x 150	2 bandejas	12 / 13	75	995 x 1195 x 145
	300 x 500 x 158	Canastillo	9,5	112	995 x 1195 x 145
TIPO DE CAJA	Dimensiones Exteriores (mm)	Embalaje	Peso Neto (kg)	Cajas / Pallet Standard	Tipo Pallet
Cartón	600 x 400 x 90 / 100 / 105	1 bandeja	6 / 6,5 / 7	125 / 115 / 105	995 x 1195 x 145
	600 x 400 x 150 / 170	2 bandejas	12	75 / 65	995 x 1195 x 145
	600 x 400 x 280	4 bandejas / bolsas	22	40	995 x 1195 x 145
	317 x 513 x 296	4 / 5 bandejas	18	56	995 x 1195 x 145
	600 x 400 x 150 / 170	4 / 5 bandejas	19	49	995 x 1195 x 145
	600 x 400 x 150 / 170	4 / 5 bandejas	20 / 23	49	995 x 1195 x 145

Nota: Datos tomados de Bio-natural Fruits y Unifrutti, empresas exportadoras de frutas (2023).

TABLA 5

Tabla de pesos y medidas de fruta para exportación.

Dimensiones:	50x30x30 / 12
Peso aprox. caja:	18 kg
Cajas por Pallet:	ExportPal (1200x1000): 49 / 56
Dimensiones:	60x40x16
Peso aprox. caja:	13 kg.
Cajas por Pallet:	EuroPal (1000x800): 56 ExportPal (1200x1000): 70

Por lo general los montacargas de la empresa Sarcofruit SA trabajan en un rango de carga De 1.5 toneladas, teniendo una carga máxima para la plataforma niveladora de 7330 Kg.

TABLA 6

Tabla de pesos por eje delantero y trasero de un montacargas sin carga y con carga máxima.

Peso por eje con carga, delantero / trasero.	6490 / 760 kg.
---	----------------

**Peso por eje sin carga, delantero /
trasero.**

1730 / 2520 kg.

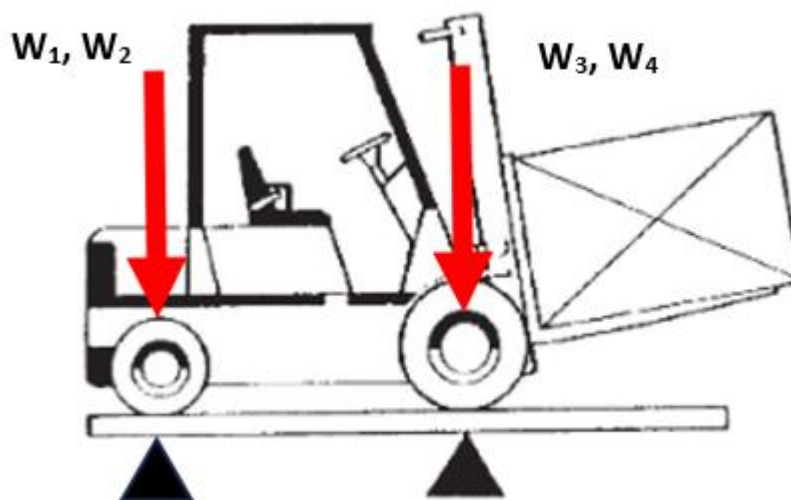
APÉNDICE D CALCULOS PARA EL DISEÑO DE LA PLATAFORMA NIVELADORA

Peso total del montacargas sin carga = 4250 kg

Peso total de montacargas con carga máxima= 7250 kg

FIGURA 4

Distribución de las fuerzas en el montacargas.



Donde: $W_1=W_2, W_3=W_4$

$W_3=W_4= 3245 \text{ Kg}$

$W_3 = 31.8 \text{ K [N]}$

$W_1=W_2= 380 \text{ Kg}$

$W_1 = 3.72 \text{ K [N]}$

$W_{\text{tot}} = 7250 \text{ kg}$

Transformando el peso total requerido para el sistema de kilogramos [Kg] a newtons [N] de la siguiente manera:

$$W_{\max} = 71.1 \text{ K [N]}$$

FIGURA 5

Especificaciones y distancia entre ejes del montacargas.

Chasis				GP30NM	
31	Tamaño de llanta – delantera, estándar	pulg.		28 x 9 x 15 - 12PR	
32	Tamaño de llanta – duales opcionales			28 x 9 x 15 - 12PR	
33	Tamaño de llanta – llantas traseras	pulg.		6.5 x 10 - 10PR	
34	Distancia entre ejes	pulg.	mm	66.9	1,700
35	Ancho de la banda de rodamiento – (estándar / duales opcionales)	pulg.	mm	41.7 / 47.2	1,060 / 1,200
36	Ancho de la banda de rodamiento – llantas traseras	pulg.	mm	38.6	980
37	Despeje – en el punto más bajo del mástil	pulg.	mm	5.4	136
38	Despeje – en el centro de la distancia entre ejes	pulg.	mm	7.4	189
39	Freno de servicio	operado con el pie, hidráulico			
40	Freno de estacionamiento	manual, mecánico			

Nota: Obtenido de ficha técnica de Montacargas Caterpillar

La distancia entre los ejes de las llantas delanteras y posteriores es de 66.9 in o 1.69 metros es decir $L_{\text{ejes}}=1.69 \text{ m}$

4.4.1 Análisis de la ubicación del montacargas en la rampa niveladora.

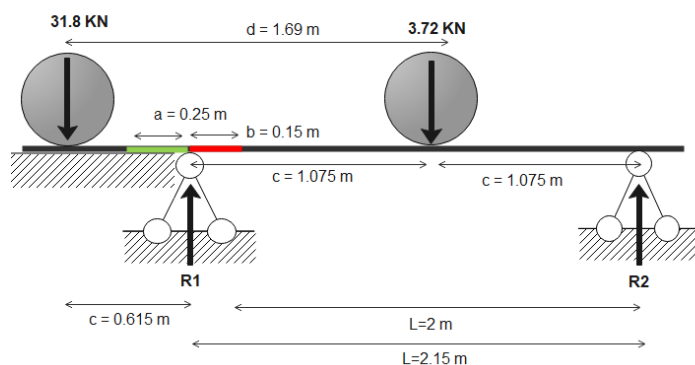
A continuación, se analiza las 3 ubicaciones del montacarga en la rampa niveladora y sus soportes en cada apoyo.

4.4.1.1 Carga eje delantero entre apoyos.

La figura 24 muestra la ubicación del eje delantero en el medio del andén hacia el contenedor.

FIGURA 6

Ubicación del eje delantero fuera de la rampa y el eje posterior en el centro de la plataforma.



Nota: la imagen muestra. la posición del montacargas en el estado final.

La tabla mostrada a continuación presenta los datos que son considerados para el cálculo de las fuerzas de corte y momento.

TABLA 7

4.5 Datos para cálculo con el eje delantero.

Ítem	Símbolo	Descripción	Valor	Unid
1	W_{tot}	Carga diseño	3.72	KN
2	L	Longitud de la rampa	2.15	m

Nota: El autor.

Reemplazando los valores, se obtienen los siguientes resultados que se presentan en la tabla mostrada a continuación.

TABLA 8

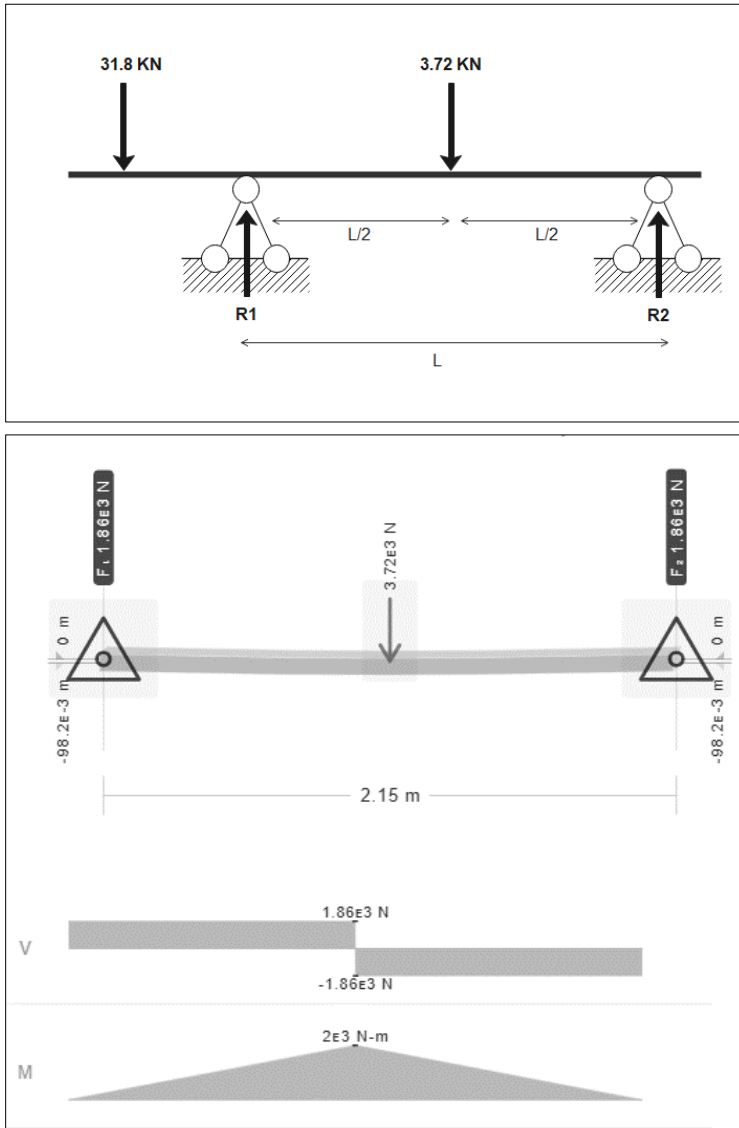
4.6 Resultados de las fuerzas actuantes en los apoyos.

Ítem	Símbolo	Descripción	Valor	Unid	Fórmula
1	$M_{m\acute{a}x}$	Momento máximo	$1.99 \approx 2$	KN. m	$M_{ma} = \frac{W_{tot} \cdot L}{4}$
2	$R_1=R_2$	Reacciones	1.86	KN.	$R_1 = \frac{W_{tot}}{2}$
3	$V= R_1=R_2$	Fuerza de corte	1.86	KN.	$V_{corte} = \frac{W_{tot}}{2}$

Nota: Desarrollado por el autor del documento.

FIGURA 7

4.7 *Diagrama de corte y momento en la primera ubicación con el eje posterior en el*



centro de los apoyos.

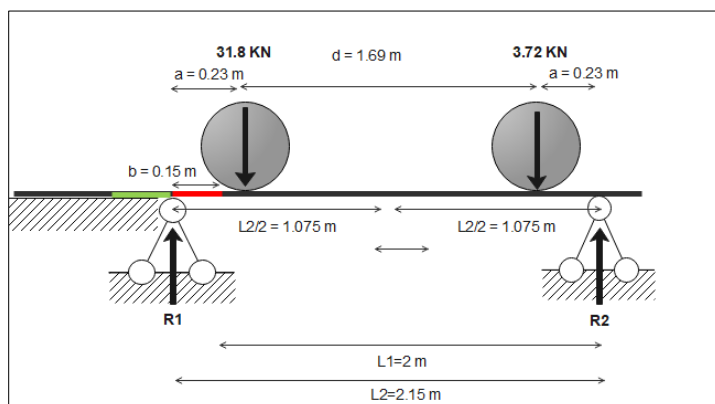
Nota: Gráficas realizadas en <https://deflection.app/?language=es>

4.7.1.1 **Carga eje delantero y trasero entre apoyos.**

La siguiente figura muestra la ubicación del montacargas en el medio de la rampa hacia el contenedor.

FIGURA 8

4.7.1.2 Ubicación del montacarga entre los dos apoyos.



La tabla siguiente presenta los datos que son considerados para el cálculo de las fuerzas de corte y momento.

TABLA 9

4.8 Datos para cálculo con el eje delantero y trasero.

Ítem	Símbolo	Descripción	Valor	Unid
1	W_1	Carga 1.	31.8	KN
2	W_3	Carga 2.	3.7	KN
3	L	Longitud de la rampa.	2.15	m
4	a	Longitud respecto a cada apoyo	0.23	m

Nota: Desarrollado por el autor del documento.

Reemplazando los valores, se obtienen los siguientes resultados que se presentan en la tabla mostrada a continuación.

TABLA 10

4.9 Resultados de las fuerzas actuantes en los apoyos.

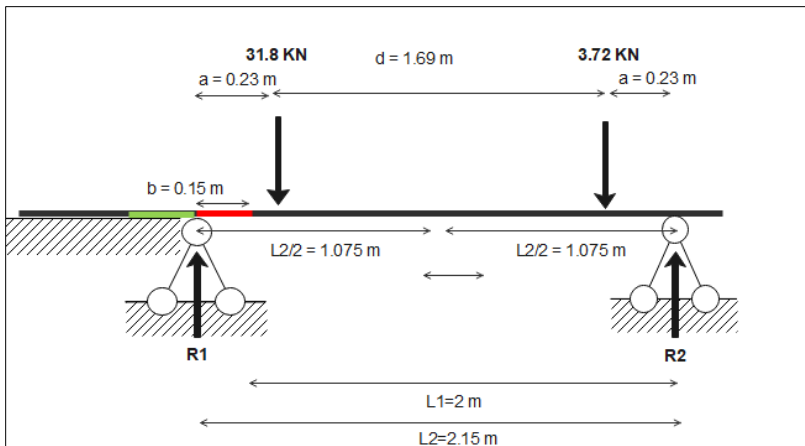
Ítem	Símbolo	Descripción	Valor	Unid
1	M máx.	Momento máximo.	6.62	KN. m

2	R1	Reacciones.	28.8	KN.
3	R2	Reacciones.	6.73	KN.
4	V ₁	Fuerza de corte.	28.8	KN.
5	V ₂	Fuerza de corte.	6.73	KN.

Nota: Desarrollado por el autor del documento.

FIGURA 9

4.10 Diagrama de corte y momento cuando el



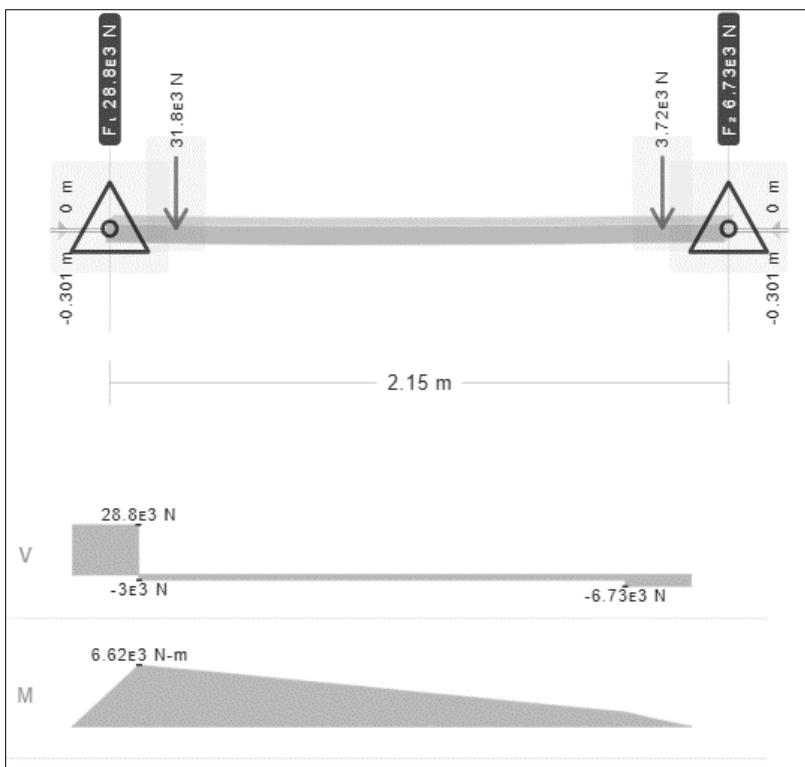
montacargas se encuentra entre los dos apoyos.

apoyos.

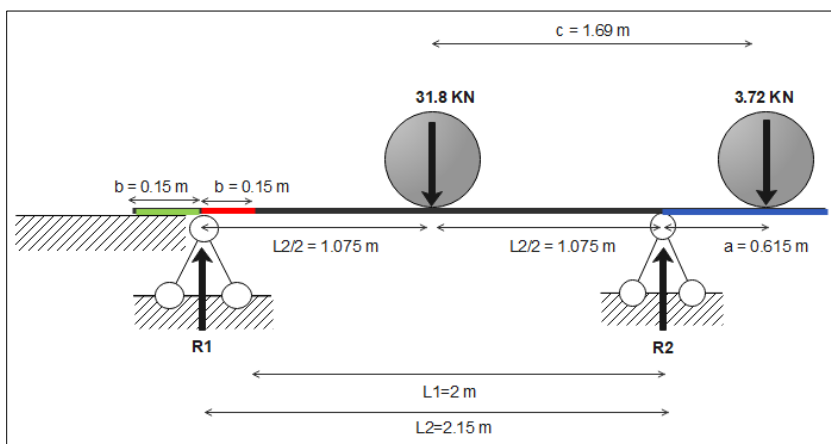
Nota: Gráficas realizadas en <https://deflection.app/?language=es>

4.10.1.1 Carga eje trasero entre apoyos.

FIGURA 10



4.11 Ubicación del eje delantero en medio de la rampa y eje posterior fuera de la rampa.



Este análisis corresponde de la siguiente manera:

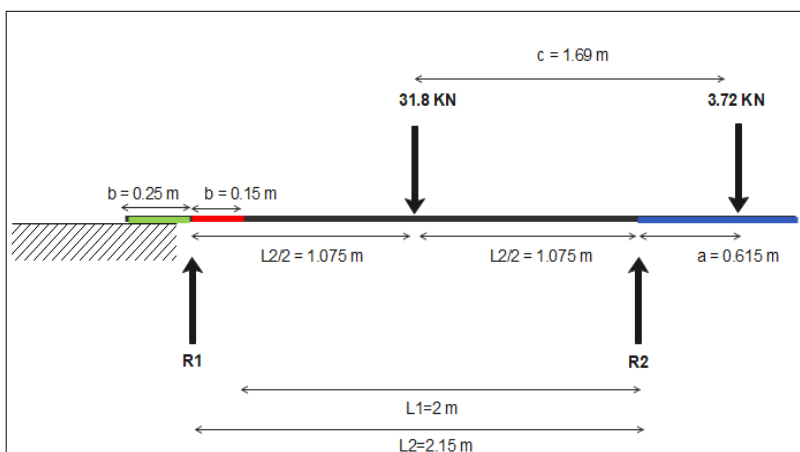
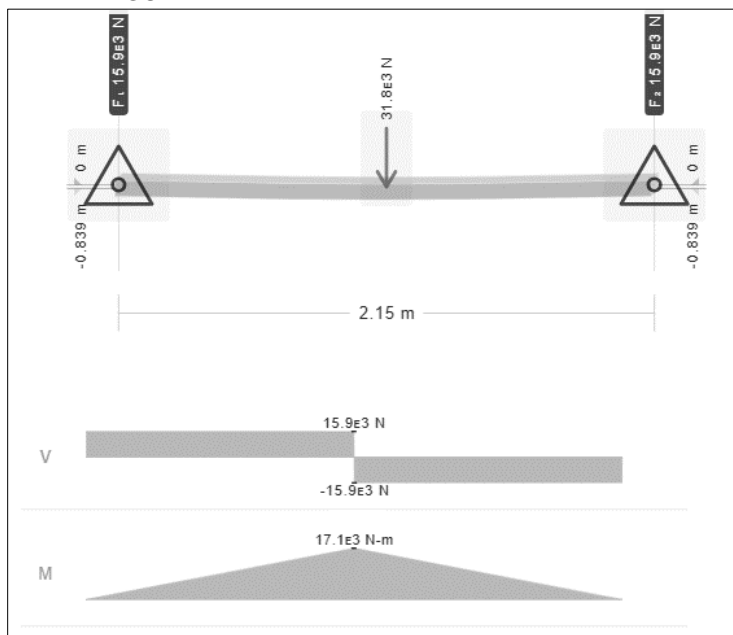


TABLA 11

4.12 Resultados de las fuerzas actuantes en los apoyos.

Ítem	Símbolo	Descripción	Valor	Unid	Fórmula
1	M máx.	Momento máximo.	17.11	KN. m	$M_{max} = \frac{W_{tot} \cdot L}{4}$
2	$R_1=R_2$	Reacciones.	15.9	KN.	$R_1 = \frac{W_{carga}}{2}$
3	$V= R_1=R_2$	Fuerza de corte.	15.9	KN.	$V_{corte} = \frac{W_{carga}}{2}$

FIGURA 11



Nota: Gráficas realizadas en <https://deflection.app/?language=es>

A partir de la información proporcionada, se puede concluir que el momento máximo en la estructura alcanza un valor de 17.11 kilonewton-metros (KN·m). Este momento máximo se presenta cuando el montacargas se encuentra en el centro de la rampa. Además, durante los instantes iniciales y finales del desplazamiento del montacargas, se experimenta el valor máximo del esfuerzo cortante, que es de 31.8 kilonewtons (KN), como se puede apreciar en las gráficas de momento cortante y flexión de la sección anterior.

4.12.1 Diseño de la plataforma principal.

La plataforma constará de 8 vigas, reforzadas con un perfil IPN y en la parte superior tiene la plancha de acero lagrimado.

FIGURA 12

Esquema de la plataforma.

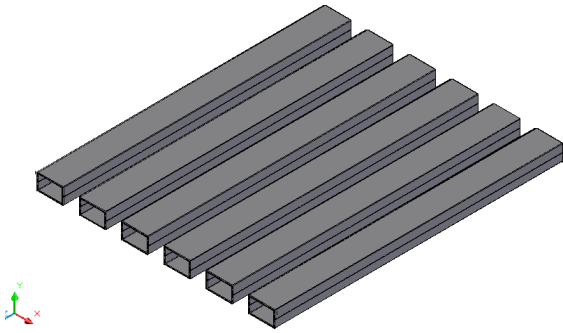
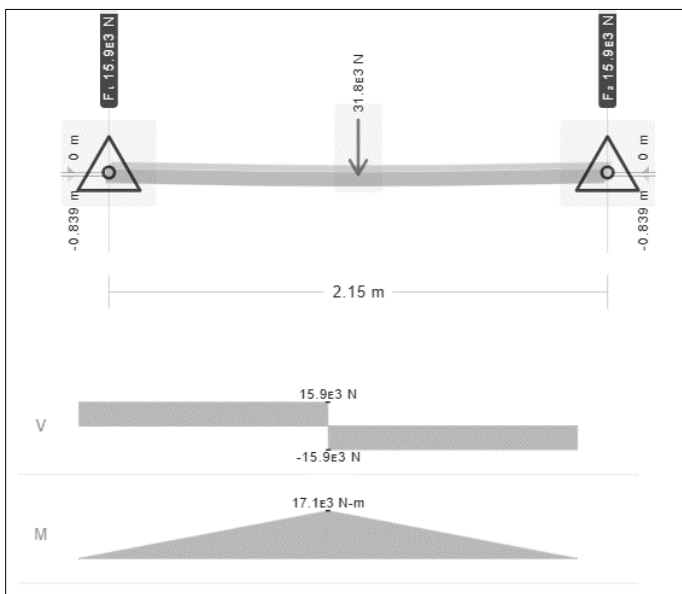


FIGURA 13
Ubicación de la viga.



Nota: Gráficas realizadas en <https://deflection.app/?language=es>

Datos:

Acero ASTM A-36

Propiedades:

Esfuerzo a la fluencia mínimo: $S_y = 250 \text{ MPa}$ (36300 PSI)

Esfuerzo a la tensión: 400 – 550 MPa (58000 – 79800 PSI)

Elongación mínima en 50 mm (2"): 23%

Módulo de elasticidad 200 G Pa (29000 KSI)

Donde F_b corresponde al esfuerzo máximo de diseño el cual servirá para compararlo con un esfuerzo mayor que deberá tener la estructura para que el sistema no falle.

$$\sigma_{adm} = \frac{Sy}{FS}$$

$$FS = 1.2$$

$$M_{max} = 17.11 \text{ KN.m}$$

$$\sigma_{adm} = \frac{250000 \text{ KPa}}{1.2}$$

$$\sigma_{adm} = 208330 \text{ KPa}$$

$$S = \frac{M_{max}}{\sigma_{adm}}$$

$$S = \frac{17.1 \text{ KN}}{208330 \text{ KPa}} = 8.2 \times 10^{-5} \text{ m}^3$$

$$S = 82.08 \text{ cm}^3$$

Dadas las opciones disponibles con este módulo de sección, se han evaluado las siguientes alternativas:

Perfil IPN 160 con un módulo de sección S_x de 117,00 cm^3 .

Perfil laminado IPE 160 con un módulo de sección S_x de 109,00 cm^3 .

Perfil laminado C 200x74x4 con un módulo de sección S_x de 107,88 cm^3 .

Se ha decidido seleccionar el perfil IPE debido a que presenta un valor apropiado para diseñar el sistema y tiene un peso de 15.8 Kg/m. En total, las vigas reforzadoras de la plataforma principal tendrán un peso de 252.8 Kg. Además, se utilizará una plancha con dimensiones de largo = 2000 mm y ancho = 1085 mm, que tiene un peso aproximado de 106 kg. Esto permitirá soportar el eje de las bisagras junto con la carga adicional que se genera cuando se coloca el montacargas sobre la plataforma.

FIGURA 15

Largo normal:
6 metros / 12 metros
Recubrimiento:
Negro
Calidad de Acero:
ASTM A 36 / ASTM A 572 Gr 50
Norma de Fabricación:
INEN 2230 / INEN 2215 / EN 10024
Observaciones:
Otras dimensiones y largos previa consulta.

> Aplicaciones
- Estructuras.
- Soporte de polipasto en puentes grúas o techos.
- Puentes.
- Rieles.

Designación	Dimensiones							Área	Peso	Propiedades Elásticas						Módulo Plástico	Cons Tors	
	Altura		Ala		Distancias					Eje y-y			Eje x-x					
	h	s	b	t	r1	r2	d			ix	Sx	rx	ly	Sy	ry			Zx
mm	mm	mm	mm	mm	mm	mm	cm ²	kg/mt	cm ⁴	cm ³	cm	cm ²	cm ³	cm	cm ³	cm ³	cm ⁴	
IFE 80	80,00	3,80	46,00	5,20	5,00	69,60	59,60	7,64	6,00	80,10	20,00	3,24	8,50	3,70	1,05	23,20	5,80	0,70
IFE 100	100,00	4,10	55,00	5,70	7,00	88,60	74,60	10,30	8,10	171,00	34,20	4,07	15,90	5,80	1,24	39,40	9,10	1,20
IFE 120	120,00	4,40	64,00	6,30	7,00	107,40	93,40	13,20	10,40	318,00	53,00	4,90	27,70	8,60	1,45	60,70	13,60	1,74
IFE 140	140,00	4,70	73,00	6,90	7,00	126,20	112,20	16,40	12,90	541,00	77,30	5,74	44,90	12,30	1,65	88,30	19,20	2,45
IFE 160	160,00	5,00	82,00	7,40	9,00	145,20	127,20	20,10	15,80	869,00	109,00	6,58	68,30	16,70	1,84	124,00	26,10	3,60
IFE 180	180,00	5,30	91,00	8,00	9,00	164,00	146,00	23,90	18,80	1317,00	146,00	7,42	101,00	22,20	2,05	166,00	34,60	4,79

Con el fin de lograr un valor de momento de inercia que supere el valor mínimo requerido para un módulo de sección más grande, se procede a unir el perfil IPN con la plancha lagrimada, formando así una estructura con un momento de inercia ligeramente superior al de la viga.

En esta estructura:

Sy se refiere al módulo de la sección en el eje y, expresado en metros cúbicos (m³).

ly representa el momento de inercia en el eje y, en metros a la cuarta potencia (m⁴).

C es la distancia desde el eje hasta la parte externa del perfil, en metros (m).

Los detalles de las propiedades de este perfil seleccionado se encuentran resumidos en la tabla 12.

TABLA 12
Propiedades de la sección de la viga.

A	20,11 cm ²
ly	869,04 cm ⁴
Sy	109,02 cm ³

Nota: Desarrollado por el autor del documento.

La tabla 18 presenta los datos que son considerados para el cálculo del esfuerzo real y de deflexión máxima.

TABLA 13

4.13 Datos para el cálculo del esfuerzo y deflexión.

N.º	simbología	Detalles	Cantidad	Unidades
1	W_{tot}	Peso del diseño	31.8	KN
2	I	Longitud de la rampa	2.15	m
3	M_{max}	Momento máximo.	17.11	KN.m
4	C	Distancia	0.106	m
5	E	Módulo de elasticidad.	207×10^6	KPa
6	I	Inercia.	8.97×10^{-6}	m^4

Nota: Desarrollado por el autor del documento.

Reemplazando los valores, se obtienen los siguientes resultados que se presentan en la tabla:

TABLA 14

4.14 Resultados de esfuerzo y deflexión.

N.º	simbología	Detalles	Cantidad	Unidades	Fórmulas
1	σ	Esfuerzo calculado.	202299,107	KPa.	$\sigma_{max} = \frac{M_{max} \cdot C}{I}$
2	Δ_{max}	Deflexión máxima	10.62×10^{-20}	m	$\Delta_{max} = \frac{W_{tot} \cdot I^3}{48 \cdot E \cdot I}$

Nota: Desarrollado por el autor del documento.

Con esta sección de perfil el esfuerzo calculado de 202299,107 KPa es menor que el esfuerzo máximo admisible que es de 208330 KPa, teniendo un FS= 1.24.

La deflexión máxima admisible que se proyecta es muy pequeña y tiende a cero estando dentro los valores de tolerancia.

4.14.1 Diseño del piso de la plataforma.

Sobre las 8 vigas será colocado una plancha antideslizante que cubrirá la estructura principal. En el presente cálculo se estima el espesor de la placa.

FIGURA 16

Acero lagrimado para la plancha de la plataforma.

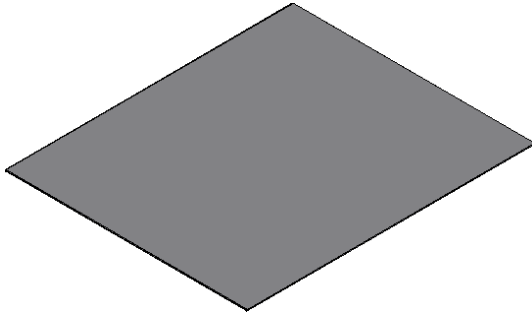


TABLA 15

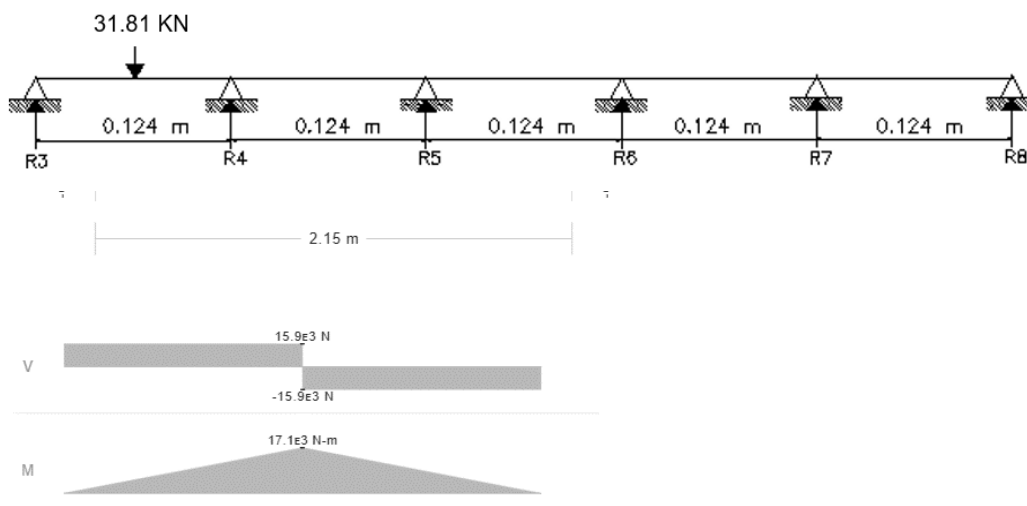
Resultados de las fuerzas actuantes en el piso de la plataforma.

N.º	simbología	Detalles	Cantidad	Unidades	Fórmula
1	M máx.	Momento máximo.	17.1	KN. m	$M_{ma} = \frac{W_{tot} \cdot L}{4}$
2	R3, R4	Reacciones	13.47	KN.	$R_1 = \frac{W_{tot}}{2}$
3	V, R3,R4	Fuerza de corte.	13.47	KN.	$V_{corte} = \frac{W_{tot}}{2}$

Nota: Desarrollado por el autor del documento.

FIGURA 17

DIAGRAMA DE CORTE Y MOMENTO PARA EL PISO DE LA PLATAFORMA



4.15 .

$$S = \frac{M_{max}}{\sigma_{max}}$$

$$S = \frac{0.985 \text{ KN}\cdot\text{m}}{148437.5 \frac{\text{KN}}{\text{m}^2}}$$

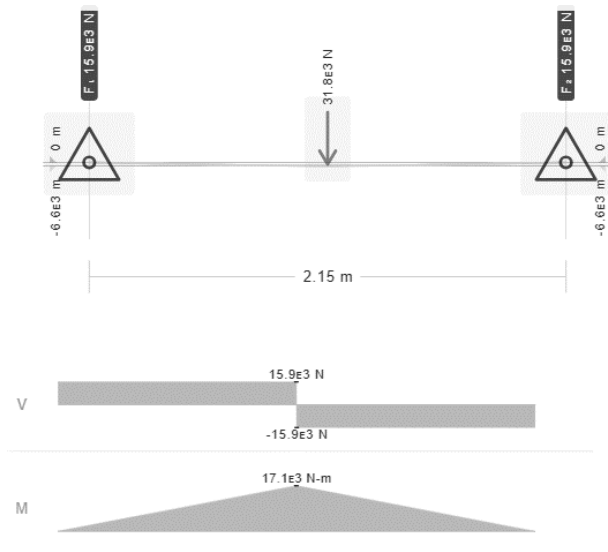
$$S = 6.64 \times 10^{-6} \text{ m}^3$$

$$S = \frac{I}{C}$$

$$I = \frac{b \cdot h^3}{12}$$

FIGURA 18

DIAGRAMA DE CORTE Y MOMENTO



$$C = \frac{h}{2}$$

Reemplazando la fórmula de inercia y centroide en el módulo de sección

$$S = \frac{b \cdot h^3}{\frac{12}{h}}$$

$$S = \frac{1.85m \times h^2}{6}$$

Al despejar h se tiene el espesor de la placa.

$$h = \sqrt{\frac{6.64 \times 10^{-6} m^3 \cdot 6}{1.85 m}}$$

$$h = 4.7 \times 10^{-3} m \approx 5 \text{ mm}$$

El espesor de la plancha antideslizante será de 6 mm

Cálculo de la deflexión máxima del antideslizante.

$$I = \frac{b \cdot h^3}{12}$$

$$I = \frac{0.124m \cdot 6 \times 10^{-3} m^3}{12}$$

$$I = 2.232 \times 10^{-9} m^4.$$

$$E = 207 \times 10^6 \text{ KPa}$$

$$\Delta_{max} = \frac{38.1 \text{ KN} \times (0.124 \text{ m})^3}{48 \cdot E \cdot I}$$

$$\Delta_{max} = 3.59 \times 10^{-6} m$$

$$\Delta_{max} = 3.59 \times 10^{-3} mm$$

La deflexión que se proyecta es de muy pequeña y está dentro de la tolerancia.

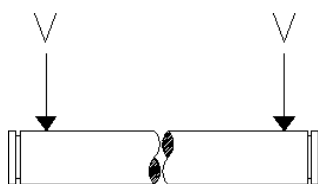
4.15.1 Diseño de eje pasador para bisagras trasera y labio.

La ilustración que sigue representa el diseño del eje que actuará como pasador en las bisagras, permitiendo la elevación de la rampa niveladora. Este eje también asumirá la carga completa cuando el montacargas se coloque sobre toda la rampa.

Para prevenir el deterioro causado por la corrosión de las superficies, hemos optado por utilizar acero AISI 1045, que presenta propiedades superiores en comparación con el acero A-36 empleado en otras partes de la máquina. Las propiedades específicas de este acero se detallan en los anexos.

FIGURA 19

Esquema de eje pasador para bisagra y labio.



$$W_{\text{tot}} = 63602 \text{ N}$$

$$W_{\text{tot}} = 63.60 \text{ KN}$$

FIGURA 20

4.16 Diagrama de cuerpo libre pasador bisagra.

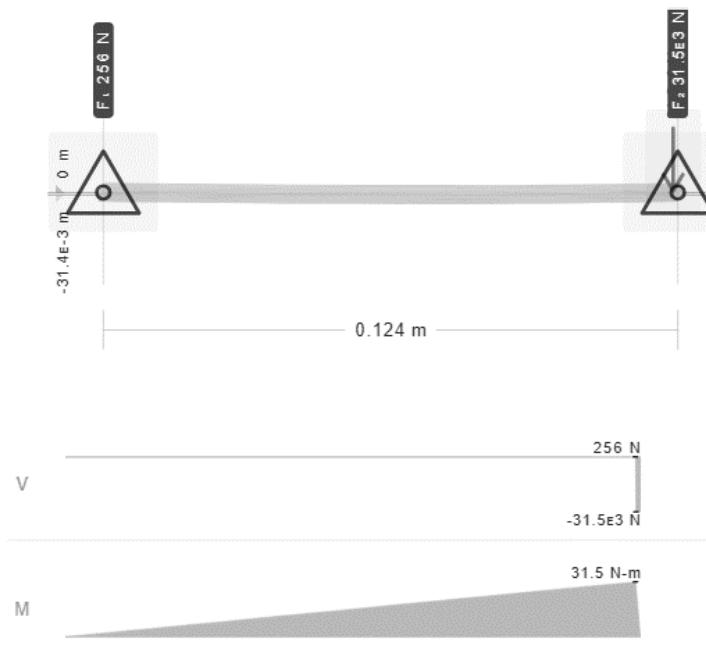


TABLA 16
RESULTADOS DE LAS FUERZAS ACTUANTES EN EL PASADOR.

N.º	simbología	Detalles	Cantidad	Unidades	Formula
1	R9=R10=V	Reacciones.	31.8	KN.	$R_9 = \frac{W_{tot}}{2}$

4.17 Nota: Desarrollado por el autor del documento.

Datos:

$S_y = 313.6 \times 10^3 \text{ KPa.}$

Esfuerzo de fluencia acero AISI 1045

$V = 63.60 \text{ KN}$

Esfuerzo máximo admisible en corte.

$$\tau_{max} = \frac{0.60 \cdot S_y}{FS}$$

$$\tau_{max} = \frac{0.60 \cdot 313.6 \times 10^3 \text{ KPa}}{2.2}$$

$$\tau_{max} = 85527.27 \text{ KPa}$$

$$\tau = \frac{V}{A}$$

$$\tau = \frac{31.8 \text{ KN}}{A}$$

$$A = \frac{63.60 \text{ KN}}{85527.27 \text{ KPa}}$$

$$A = 7.43 \times 10^{-4} \text{ m}^2$$

$$A\emptyset = \frac{\pi \cdot d^2}{4}$$

Despejamos y obtenemos el diámetro:

$$d = \sqrt{\frac{7.43 \times 10^{-4} \text{ m}^2 \cdot 4}{3.1416}}$$

$$d = 0.03 \text{ m}$$

El diámetro del eje pasador será de 31 mm

Comprobando tenemos que:

$$\tau = \frac{V}{A}$$

$$\tau = \frac{63.60 \text{ KN}}{\frac{\pi \cdot (0.031)^2 \text{ m}^2}{4}}$$

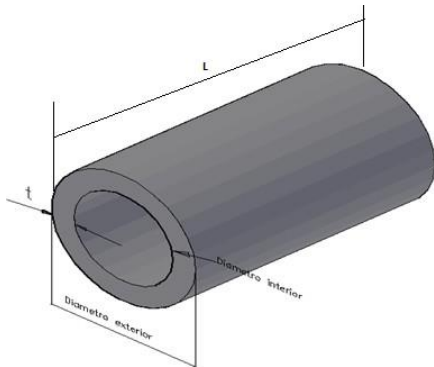
$$\tau = 84264.34 \text{ KPa}$$

Con este diámetro el esfuerzo en corte calculado de 8426.34 KPa, el cual es menor que 85527.27 KPa, Esfuerzo máximo admisible en corte; lo que es correcto.

4.17.1 Dimensionamiento del espesor para el buje de la bisagra.

Para el cálculo se utilizará la teoría de cilindros de pared gruesa.

FIGURA 21
Esquema de la bisagra.



Donde:

di: Diámetro interior.

de: Diámetro exterior.

t: Espesor.

L: Longitud.

La condición necesaria para que un cilindro sea considerado de pared gruesa es:

$$t \geq 0.1 \cdot d_i$$

Entonces:

Esfuerzo tangencial:

Esfuerzo radial:

El grosor elegido será de 7 mm. Como resultado, los diámetros internos (d_i) y externo (d_e) de la bisagra son los siguientes:

Diámetro interno (d_i) = 31 mm.

Diámetro externo (d_e) = 45 mm.

Luego, se llevarán a cabo cálculos de tolerancia tanto para el buje como para el eje, utilizando la notación 31 H7 G6, donde el buje presenta un agujero con tolerancia H7.

$$\emptyset = 31 \begin{smallmatrix} V_p+V_t \\ V_p \end{smallmatrix}$$

$$\emptyset = 31 \begin{smallmatrix} +25 \\ 0 \end{smallmatrix}$$

$$\emptyset_{max} = 31 + 0.025 = 31.0025 \text{ mm}$$

$$\emptyset_{min} = 31 + 0 = 31 \text{ mm}$$

Eje:

Eje G6

$$\emptyset = 31 \begin{smallmatrix} -V_p \\ -V_p-V_t \end{smallmatrix}$$

$$\emptyset = 31 \begin{smallmatrix} -9 \\ -25 \end{smallmatrix}$$

$$\emptyset_{max} = 31 - 0.009 = 30.991 \text{ mm}$$

$$\emptyset_{min} = 31 - 0.025 = 30.975 \text{ mm}$$

FIGURA 21 B

Tabla de calidades.

Grupos de Diámetros (mm)	CALIDADES																	
	IT 01	IT 0	IT 1	IT 2	IT 3	IT 4	IT 5	IT 6	IT 7	IT 8	IT 9	IT 10	IT 11	IT 12	IT 13	IT 14	IT 15	IT 16
d ≤ 3	0.3	0.5	0.8	1.2	2	3	4	6	10	14	25	40	60	100	140	250	400	600
3 < d ≤ 6	0.4	0.6	1	1.5	2.5	4	5	8	12	18	30	48	75	120	180	300	480	750
6 < d ≤ 10	0.4	0.6	1	1.5	2.5	4	6	9	15	22	36	58	90	150	220	360	580	900
10 < d ≤ 18	0.5	0.8	1.2	2	3	5	8	11	18	27	43	70	110	180	270	430	700	1100
18 < d ≤ 30	0.6	1	1.5	2.5	4	6	9	13	21	33	52	84	130	210	330	520	840	1300
30 < d ≤ 50	0.6	1	1.5	2.5	4	7	11	16	25	39	62	100	160	250	390	620	1000	1600
50 < d ≤ 80	0.8	1.2	2	3	5	8	13	19	30	46	74	120	190	300	460	740	1200	1900
80 < d ≤ 120	1	1.5	2.5	4	6	10	15	22	35	54	87	140	220	350	540	870	1400	2200
120 < d ≤ 180	1.2	2	3.5	5	8	12	18	25	40	63	100	160	250	400	630	1000	1600	2500
180 < d ≤ 250	2	3	4.5	7	10	14	20	29	46	72	115	185	290	460	720	1150	1850	2900
250 < d ≤ 315	2.5	4	6	8	12	16	23	32	52	81	130	210	320	520	810	1300	2100	3200
315 < d ≤ 400	3	5	7	9	13	18	25	36	57	89	140	230	360	570	890	1400	2300	3600
400 < d ≤ 500	4	6	8	10	15	20	27	40	63	97	155	250	400	630	970	1550	2500	4000
	Ultraprecisión	Calibre y piezas de gran precisión	Piezas o elementos destinados a ajustar										Piezas o elementos que no han de ajustar					

Posición	A	B	C	CD	D	E	EF	F	FG	G	H
Calidad	Todas las calidades										
Medida Nominal	Diferencia inferior TIRf										
m ≤ 3	+270	+140	+60	+34	+20	+14	+10	+6	+4	+2	0
3 < m ≤ 6	+270	+140	+70	+46	+30	+20	+14	+10	+6	+4	0
6 < m ≤ 10	+280	+150	+80	+56	+40	+25	+18	+13	+8	+5	0
10 < m ≤ 18	+290	+150	+95	-	+50	+32	-	+16	-	+6	0
18 < m ≤ 30	+300	+160	+110	-	+65	+40	-	+20	-	+7	0
30 < m ≤ 40	+310	+170	+120	-	+80	+50	-	+25	-	+9	0
40 < m ≤ 50	+320	+180	+130	-	-	-	-	-	-	-	0
50 < m ≤ 65	+340	+190	+140	-	+100	+60	-	+30	-	+10	0
65 < m ≤ 80	+360	+200	+150	-	-	-	-	-	-	-	0
80 < m ≤ 100	+380	+220	+170	-	+120	+72	-	+36	-	+12	0
100 < m ≤ 120	+410	+240	+180	-	-	-	-	-	-	-	0
120 < m ≤ 140	+460	+260	+200	-	-	-	-	-	-	-	0
140 < m ≤ 160	+520	+280	+210	-	+145	+85	-	+43	-	+14	0
160 < m ≤ 180	+580	+310	+230	-	-	-	-	-	-	-	0
180 < m ≤ 200	+660	+340	+240	-	-	-	-	-	-	-	0
200 < m ≤ 225	+740	+380	+260	-	+170	+100	-	+50	-	+15	0
225 < m ≤ 250	+820	+420	+280	-	-	-	-	-	-	-	0
250 < m ≤ 280	+920	+480	+300	-	+190	+110	-	+56	-	+17	0
280 < m ≤ 315	+1050	+540	+330	-	-	-	-	-	-	-	0
315 < m ≤ 335	+1200	+600	+360	-	+210	+125	-	+62	-	+18	0
335 < m ≤ 400	+1350	+680	+400	-	-	-	-	-	-	-	0
400 < m ≤ 450	+1500	+760	+440	-	+230	+135	-	+68	-	+20	0
450 < m ≤ 500	+1650	+840	+480	-	-	-	-	-	-	-	0

4.17.2 Diseño de columnas posteriores.

La función principal de estas columnas es proporcionar apoyo a las bisagras posteriores. Su capacidad de carga debe ser suficiente para soportar el peso total de 7250 kilogramos cuando la plataforma no está en funcionamiento.

Carga en las 2 ruedas delanteras (Pd1): 63602 Newtons.

Carga en las 2 ruedas posteriores (Pd2): 7448 Newtons.

FIGURA 22

4.18 Reacciones que se soporta en las columnas.

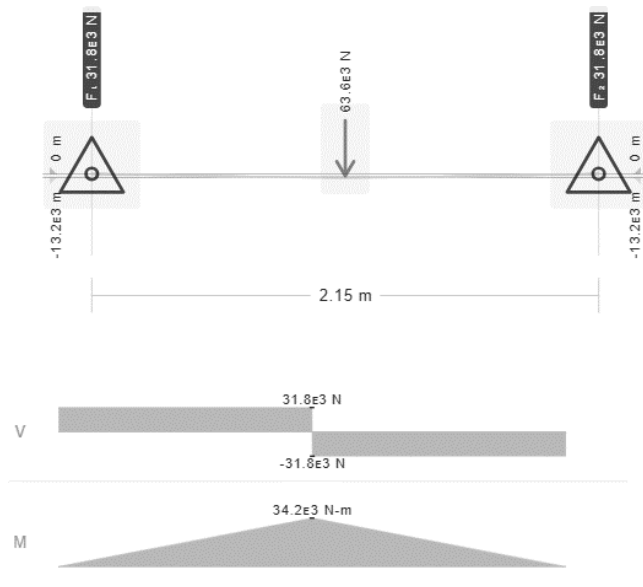


TABLA 17

Resultados de las fuerzas actuantes en la columna.

N.º	simbología	Detalles	Cantidad	Unidades
1	R9=R10	Reacciones.	31.8	KN.

4.19 Nota: Desarrollado por el autor del documento.

Las columnas posteriores y el labio deben ser capaces de soportar una carga de 31.8 kilonewtons (KN). Debido a restricciones de espacio y diseño, se ha optado por calcular su resistencia utilizando un tubo estructural rectangular de acero ASTM A-500 con dimensiones de 100x50x3 mm. Las características específicas se detallan en la figura 23 y en la tabla correspondiente.

FIGURA 23

Sección de un perfil estructural.

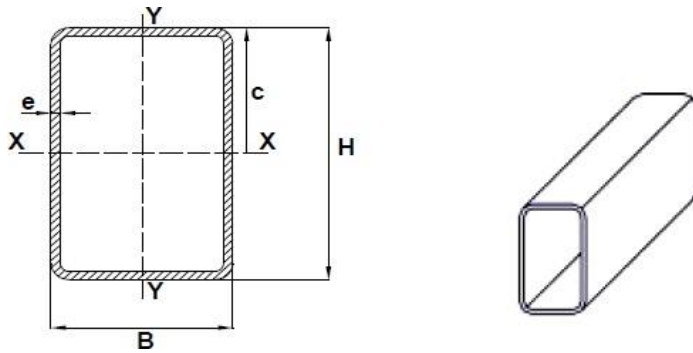


TABLA 18

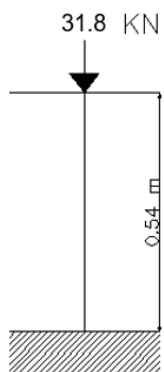
Especificaciones del perfil 100 x 50 x 3mm.

B	50,00 mm
H	100,00 mm
e	3,00 mm
I_x	106,33 <i>c m</i> ⁴
I_y	35.96 <i>c m</i> ⁴
Área	8.42x10 ⁻⁴ m ²
S_y	320,02 MPa

Nota: Tomado del catálogo IPAC.

FIGURA 24

Esquema de la columna a compresión.



Datos:

K= 1.20

Factor de apoyo

Radio de giro mínimo.

Veamos si esta estructura soporta de manera correcta el peso requerido.

Esfuerzo admisible de compresión:

$$F_a = \frac{S_y \cdot \left[1 \cdot \frac{KI^2}{2 \cdot C_c^2} \right]}{\frac{5}{3} + \frac{3 \cdot \left[\frac{KI}{r} \right]}{8 \cdot C_c} - \frac{\left[\frac{KI}{r} \right]^3}{8 \cdot C_c^3}}$$

$$F_a = \frac{320MPa \cdot \left[1 \cdot \frac{32.4^2}{2 \cdot (111.07)^2} \right]}{\frac{5}{3} + \frac{3 \cdot [32.4]}{8 \cdot (111.07)} - \frac{[32.4]^3}{8 \cdot (111.07)^3}}$$

$$F_a = 172.82 MPa$$

$$P_{cr} = F_a \cdot A$$

$$P_{cr} = 172.82 MPa \times 8.41 \times 10^{-4} m^2$$

$$P_{cr} = 145.34 KN$$

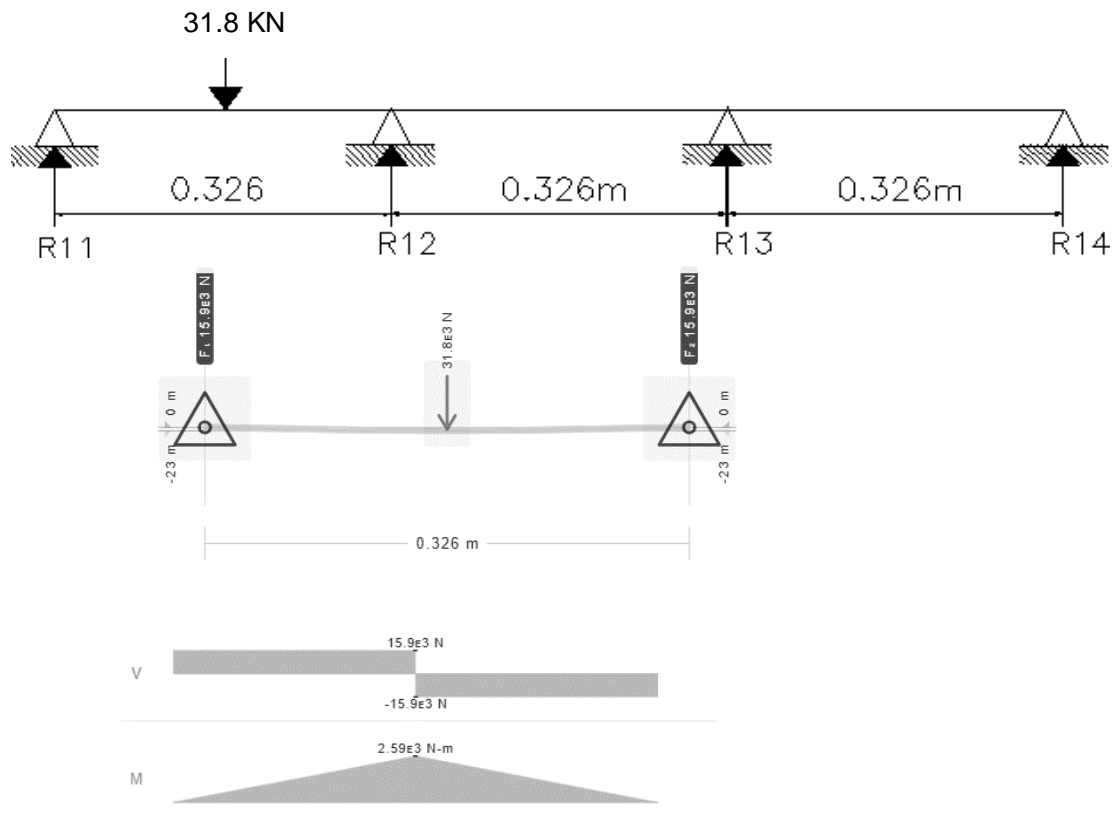
En este análisis, se ha determinado que el tubo estructural rectangular puede soportar una carga máxima de 145.34 kilonewtons (KN), lo cual es significativamente mayor que la carga de diseño de 31.8 KN. Por lo tanto, se concluye que este tubo rectangular cumple con las condiciones requeridas para la aplicación.

4.19.1 Diseño de viga posterior.

El diseño de esta viga posterior estará ubicado sobre las cuatro columnas previamente dimensionadas, y la carga aplicada será de 31.8 kilonewtons (kN).

FIGURA 25

4.20 Esquema de la viga posterior.



$$S = \frac{M_{max}}{\sigma_{max}}$$

$$S = \frac{2.19K [Nm]}{112720 \left[\frac{Nm}{m^2} \right]}$$

Este módulo de sección es un referente para poder escoger el tipo de viga, es un perfil L 125 X 125 X 8 mm de acero ASTM A-36.

TABLA 19

Resultados de las fuerzas actuantes en la viga posterior.

N.º	simbología	Detalles	Cantidad	Unidades
1	M máx.	Momento máximo.	2.59	KN. m

2	$R_{11}=R_{12}$	Reacciones.	15.9	KN.
3	$V= R_{11}=R_{12}$	Fuerza de corte.	15.9	KN.

4.21 Figura 26

4.22 Sección de perfil L.

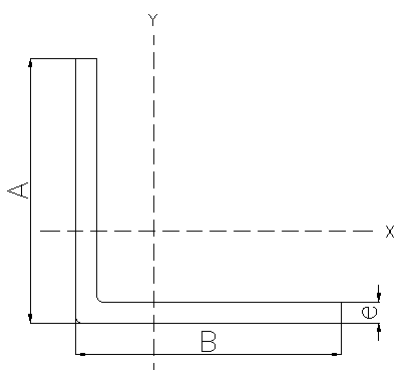


TABLA 20
Especificaciones del perfil L

B	125,00 mm
A	125,00 mm
e	8 mm
I	290.90 c m^4
S	32.29 c m^3

Esfuerzo calculado.

Con esta sección de perfil el esfuerzo calculado de 68.01 MPa es menor que 112.720 MPa del esfuerzo máximo admisible; lo que es correcto. La deflexión máxima admisible que se proyecta es de 0.1 mm, que es mínimo y está dentro de la tolerancia.

4.22.1 Diseño del labio.

El labio para diseñar es el medio de unión entre la plataforma principal y el camión, desplegándose de forma horizontal cuando el sistema esté funcionando, mientras que

cuando esté apagado, el labio se coloca en sentido vertical trabajando como apoyo en la parte delantera del andén.

El labio funcionara como una viga y una columna al mismo tiempo.

El diseño del labio consistirá en encontrar el espesor óptimo para que trabaje comoviga y columna

4.22.1.1 Diseño del labio como una Viga.

Al momento de pasar el eje delantero o trasero del montacarga sobre el labio, estará en contacto siempre un par de ruedas.

FIGURA 27
ESQUEMA DEL LABIO COMO UNA VIGA.

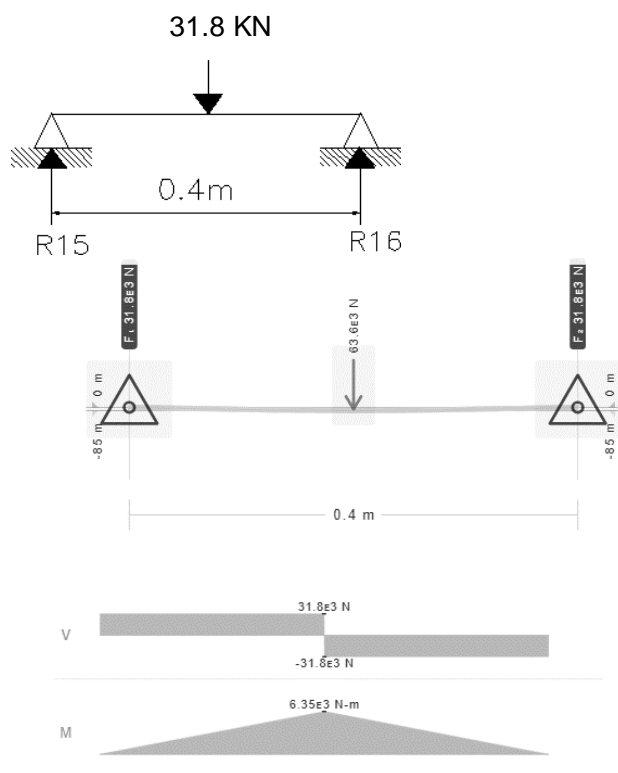


TABLA 21
Resultados de las fuerzas actuantes en el labio.

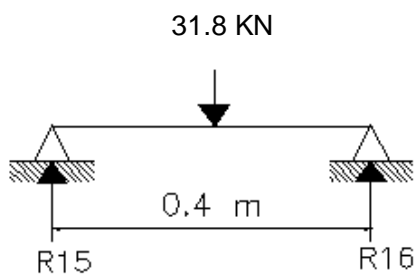
N.º	simbología	Detalles	Cantidad	Unidades
-----	------------	----------	----------	----------

1	M máx.	Momento máximo.	6.35	KN. m
2	R15=R16	Reacciones.	31.8	KN.
3	V= R15=R16	Fuerza de corte.	31.8	KN.

Nota: Desarrollado por el autor del documento.

FIGURA 28

Diagrama de Corte y Momento en el labio.



$$S = \frac{M_{max}}{\sigma_{max}}$$

$$S = \frac{6.35 [Nm]}{142821.37 \left[\frac{Nm}{m^2} \right]}$$

$$S = 4.46 \times 10^{-5} m^3$$

$$S = \frac{I}{C}$$

$$S = \frac{1.85m \cdot h^2}{6}$$

Despejando h tenemos que:

$$h = \sqrt{\frac{4.46 \times 10^{-5} m^3 \cdot 6}{1.85m}}$$

$$h = 12.02 \times 10^{-3} m$$

Este espesor de 12 mm se tomará como referencia al momento de calcular el labio como una columna.

4.22.1.2 Diseño del labio como una Columna.

En la parte delantera, el labio está sometido a una combinación de carga axial más flexión.

FIGURA 29
Esquema del labio a compresión.

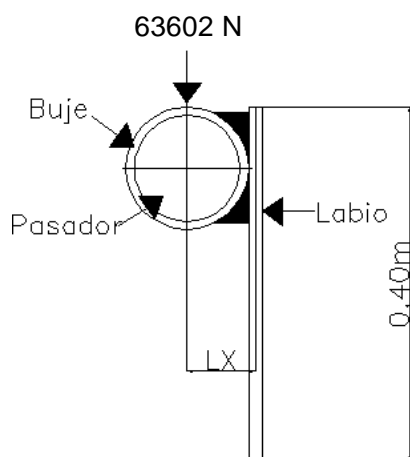


FIGURA 30
Sección transversal del labio.

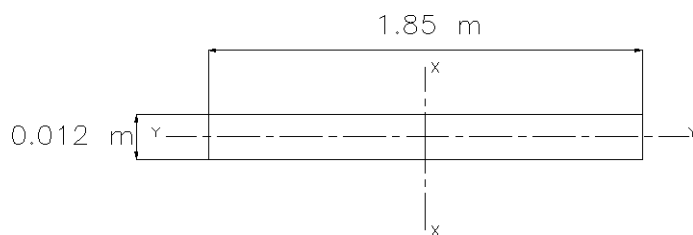


TABLA 22

4.23 Resultado de Inercias y Área.

N.º	simbología	Detalles	Cantidad	Unidades
1	I_x	Inercia respecto al eje X.	6.33×10^{-3}	m^4

2	I_y	Inercia respecto al eje Y.	2.66 x 10 ⁻⁷	m ⁴
3	A	Área.	0.022	m ²
4	C	Distancia a la fibra externa.	0.006	m
5	S	Módulo de sección	4.43 x 10 ⁻⁵	m ³

Nota: Desarrollado por el autor del documento.

Datos:

K= 2.00

Factor de apoyo

Radio de giro mínimo.

$$r = \sqrt{\frac{I}{A}}$$

$$r = \sqrt{\frac{2.66 \times 10^{-7} \text{ m}^4}{0.022 \text{ m}^2}}$$

$$r = 3.477 \times 10^{-7} \text{ m}$$

Esbeltez

$$\frac{KxL}{A}$$

$$\frac{120 \times 0.54 \text{ m}}{0.020 \text{ m}} = 32.4$$

Factor pandeo:

$$C_c = \frac{1987}{\sqrt{S_y}}$$

$$C_c = \frac{1987}{\sqrt{320 \text{ MPa}}} = 111.07$$

$$\frac{KxL}{A} \leq C_c$$

$$32.4 \leq 11.07$$

Esfuerzo admisible de compresión

$$F_a = \frac{12 \cdot \pi^2 E}{23 \left(\frac{KL}{r}\right)^2}$$

$$F_a = \frac{12 \cdot \pi^2 207 \text{ GPa}}{23 (230.0)^2}$$

Esfuerzo real a la compresión

$$F_a = \frac{P}{A}$$

$$F_a = \frac{63.6 \text{ KN}}{0.022 \text{ m}^2}$$

$$F_a = 2891 \text{ KPa}$$

Esfuerzo real a la flexión

$$F_b = \frac{M}{S}$$

$$F_b = \frac{5390 \text{ KN} \times 0.0285 \text{ m}}{4.43 \times 10^{-5} \text{ m}^3}$$

$$F_b = 34676.07 \text{ KPa}$$

Esfuerzo admisible a flexión

$$F_b = \frac{S_y}{f_s}$$

$$F_b = \frac{248 \text{ MPa}}{2.2}$$

$$F_b = 112720 \text{ KPa}$$

Ecuación de interacción.

$$\frac{f_a}{F_a} + \frac{f_b}{F_b} \leq 1.0$$

$$\frac{2450\text{KPa}}{20150\text{KPa}} + \frac{f_b}{112720\text{KPa}} \leq 1.$$

$$0.12 + 0.31 \leq 1.0$$

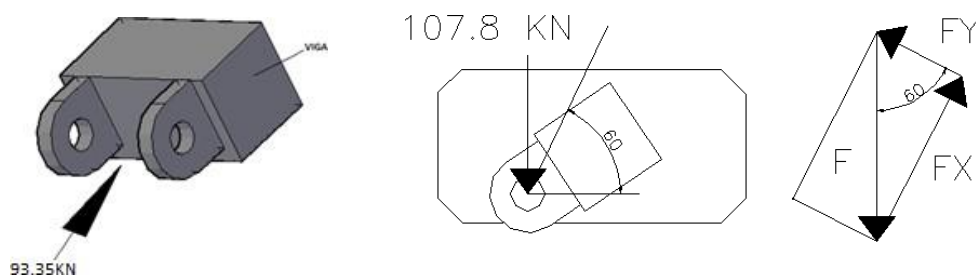
$$0.43 \leq 1.0$$

Al satisfacer la ecuación de interacción, podemos concluir que un labio con un espesor de 12 mm es adecuado y satisfactorio para funcionar como una columna sometida a esfuerzos combinados.

4.23.1 Cálculo de viga de sujeción del cilindro

La fuerza mostrada es la que tiene que soportar el cilindro de la plataforma, y se transmite a la viga que se encuentra en la parte delantera del vástago.

FIGURA 31
Esquema soporte del cilindro



$$F_x = \text{sen}(60) \times 107.8\text{KN} = 93.35\text{KN}$$

$$P_d = 93.35\text{KN}$$

TABLA 23

4.24 Resultados de las fuerzas actuantes en la viga porta horquilla.

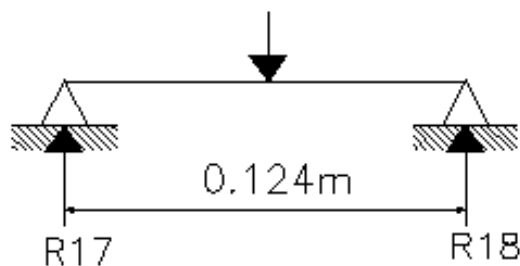
N.º	simbología	Detalles	Cantidad	Unidades
1	M máx.	Momento máximo.	2.90	KN. m

2	R17=R18	Reacciones.	46.67	KN.
3	V= R17=R18	Fuerza de corte.	46.67	KN.

Nota: Desarrollado por el autor del documento.

FIGURA 42

4.25 Diagrama de corte y momento para



horquilla delantera.

$$S = \frac{M_{max}}{\sigma_{max}}$$

$$S = \frac{2.19KNm}{112720k \frac{N}{m^2}}$$

$$S = 2.57 \times 10^{-5} m^3$$

El valor del módulo de sección es fundamental para determinar la selección del tipo de viga adecuada. En este caso, la viga seleccionada es un tubo cuadrado de acero ASTM A-36 con dimensiones de 100 x 100 x 3 mm, cuyas características se detallan en la tabla 2.18.

TABLA 24

4.26 Especificaciones del perfil cuadrado 100 x 100 x 3 mm

e	3 mm
$I_x = I_y$	176.95 $c m^4$

S	35.39 c m ³
S_y	248 MPa

Nota: Desarrollado por el autor del documento.

Esfuerzo calculado

$$\sigma = \frac{M_{max}}{S}$$

$$\sigma = \frac{2.90KNm}{3.54 \times 10^{-5} m^3}$$

$$\sigma = 81.92 MPa$$

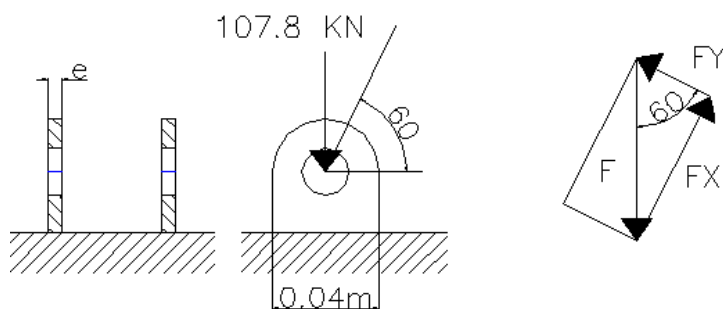
Con respecto a esta sección de perfil, se ha calculado que el esfuerzo es de 81.92 MPa, lo cual es inferior al esfuerzo máximo admisible de 112.720 MPa, lo que indica que se cumple con los criterios de seguridad adecuados.

Además, la deflexión máxima proyectada es de 0.01 mm, que es un valor mínimo y se encuentra dentro de los límites de tolerancia aceptables.

4.26.1 Cálculo de espesor del soporte del cilindro principal.

Este soporte está ubicado en el piso del andén y tiene la función de soportar la carga que actúa sobre el cilindro en su parte delantera.

FIGURA 32



4.27 Descomposición de fuerzas.

$$F_x \text{sen}(60) \times 107.8KN = 93.35KN$$

$$F_y \cos(60) \times 107.8 \text{KN} = 53.9 \text{KN}$$

Esfuerzo a compresión:

$$\sigma = \frac{F_x}{A}$$

$$\sigma_{max} = 112720 \text{KPa}$$

$$112720 \text{KPa} = \frac{93.35 \text{KN}}{2 \cdot (0.04 \text{m} \cdot e)}$$

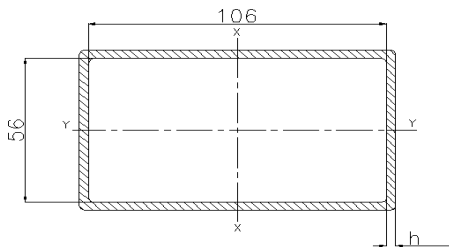
$$e = 0.010 \text{m}$$

El espesor que debe tener cada soporte es de 11 mm

4.27.1.1 Soldadura entre porta columna y placa base.

FIGURA 33

Sección del cordón de soldadura entre porta columna y la base.



Tipo de electrodo: E 6011.

Resistencia de fluencia: 345 MPa.

Espesor de la pieza (h): 1/8 de pulgada, equivalente a 3.175 mm.

Espesor calculado (t): 0.707 multiplicado por h.

Carga aplicada (V): 53.90 kilonewtons.

Ahora, procederemos a calcular el área de la soldadura.

$$A = t \cdot l$$

$$A = 0.07 \cdot 0.0031 \text{m} \cdot 0.032 \text{m}$$

$$A = 7.10 \times 10^{-4} m^2$$

Esfuerzo a corte

$$\tau = \frac{V}{A}$$

$$\tau = \frac{53.90 \text{ KN}}{7.10 \times 10^{-4} m^2}$$

$$\tau = 75.915 \text{ MPa}$$

Factor de seguridad

$$FS = \frac{0.587 \times S_y}{\tau}$$

$$FS = \frac{0.587 \times 345 \text{ MPa}}{75.915 \text{ MPa}}$$

$$FS = 2.62$$

En este análisis, se nota que el factor de seguridad es bastante alto, lo que indica que la soldadura es muy resistente en relación con las cargas que debe soportar. Sin embargo, es importante destacar que no es recomendable reducir el grosor del cordón de soldadura, ya que se ha seleccionado un tamaño adecuado para garantizar la durabilidad y la integridad estructural de la unión soldada.

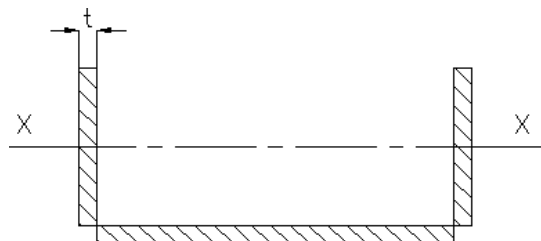
4.27.1.2 Soldadura de bisagra posterior

hacia la plataforma.

En la figura 34, se puede observar que la bisagra está sujeta a esfuerzos de flexión y corte. Ahora procederemos a calcular el espesor mínimo de soldadura necesario para soportar esta carga.

FIGURA 34

4.28 A) Fuerza actuante en bisagra. B) Sección del cordón de soldadura.



Tipo de electrodo: E 6011.

Resistencia de fluencia: 345 MPa.

Espesor calculado (t): 0.707 multiplicado por h.

Factor de seguridad (Fs): 2.2.

Esfuerzo máximo admisible: 90640.9 KPa.

Esfuerzo calculado: 65817.2 KPa.

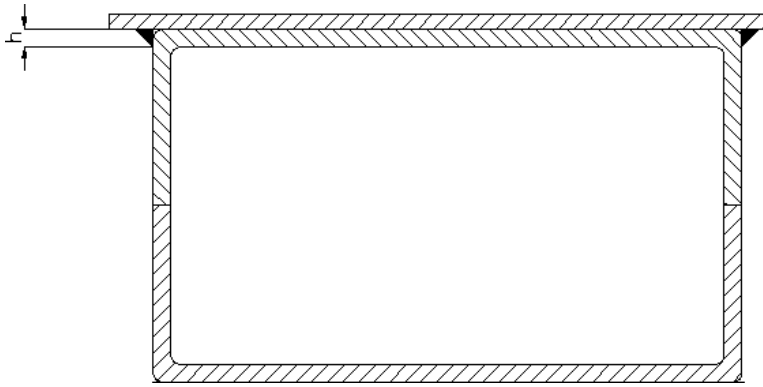
En este análisis, se observa que el esfuerzo calculado de 65817.2 KPa es menor que el esfuerzo máximo admisible de 90640.9 KPa de la soldadura, lo cual indica que la soldadura es segura y cumple con los criterios de seguridad establecidos.

2.4.13.3 Soldadura en viga de sujeción horquilla delantera.

La soldadura que conecta la viga y la placa de unión tendrá que soportar una carga de 93.35 kilonewtons cuando la plataforma esté en funcionamiento. Esta soldadura estará sometida a esfuerzos de flexión, y para garantizar su resistencia en esta aplicación de alta carga, se utilizará un tamaño de filete mínimo con un espesor de 5/16 de pulgada. Esta elección se diferencia de las soldaduras previas debido a la necesidad de proporcionar un área de soldadura mayor para resistir la fuerza significativa que actuará sobre ella.

FIGURA 35

VIGA DE UNIÓN SOLDADA.



Datos:

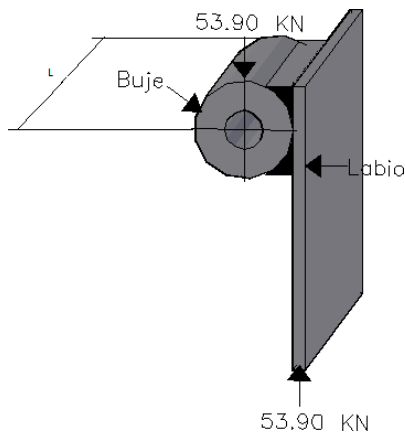
Electrodo revestido E 60xx. Resistencia de fluencia = 345 MPa. $h=5/16\text{plg} = 7.93\text{mm}$

Área de soldadura.

4.28.1.1 Soldadura en la bisagra delantera.

La soldadura que vamos a evaluar es la que conecta los bujes con el labio en la parte frontal del andén. En este caso, se utilizará un tamaño de filete mínimo (con un espesor de 5/16 de pulgada) que difiere de las soldaduras anteriores. Esta elección se debe a que la fuerza que esta soldadura debe soportar es considerablemente alta, por lo que se requiere una mayor área de soldadura para asegurar su resistencia.

FIGURA 36



4.29 Unión entre buje de bisagra con el labio.

Tipo de electrodo: E 6011.

Resistencia de fluencia: 345 MPa.

Espesor de la pieza (h): 7.93 mm (equivalente a 5/16 de pulgada).

Longitud de la pieza (L): 100 mm.

Espesor calculado (t): 5.6×10^{-3} metros, obtenido mediante la fórmula $t = 0.707$
x h.

Área de soldadura.

$$A = t \times 2L$$

$$A = 5.6 \times 10^{-3} \text{ m} \times 2(0.1 \text{ m})$$

$$A = 1.11 \times 10^{-3} \text{ m}^2$$

Esfuerzo a corte

$$\tau = \frac{V}{A}$$

$$\tau = \frac{53.90 \text{ KN}}{1.11 \times 10^{-3} \text{ m}^2}$$

$$\tau = 48.5 \text{ MPa}$$

Factor de Seguridad

$$FS = \frac{0.578 \times S_y}{\tau}$$

$$FS = \frac{0.578 \times 345 \text{ MPa}}{48.5 \text{ MPa}}$$

$$FS = 4.1$$

En este análisis se observa que el factor de seguridad es alto con un filete de 5/16plg, y da seguridad para que los bujes se encuentren unidos hacia el labio.

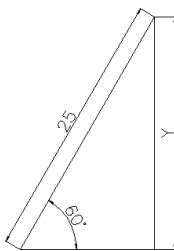
4.29.1 Selección de cilindro.

Para elegir el equipo hidráulico adecuado, se deben considerar tres parámetros principales: carga máxima, carrera y velocidad de elevación. Para el funcionamiento del andén hidráulico, se necesitarán dos cilindros hidráulicos de doble efecto. El primero de estos cilindros se utilizará para elevar la plataforma principal, mientras que el segundo se encargará de elevar el labio de unión entre el andén y el camión. Estos cilindros deben ser seleccionados de acuerdo con los requerimientos de carga máxima, la carrera necesaria y la velocidad de elevación específica para cada función.

4.29.2 Selección de cilindro de plataforma.

El cilindro que se debe seleccionar es de doble efecto y tiene la función de elevar el peso de la plataforma principal. Cuando se inicia la descarga, el cilindro deberá soportar el peso de trabajo, que es de 7250 kg. Es importante destacar que el cilindro debe colocarse en una inclinación de 60 grados debido a restricciones de espacio en la fosa de empotramiento. Esta disposición es necesaria ya que el cilindro retraído tiene una longitud de 25 pulgadas.

FIGURA 37



4.30 Angulo de inclinación del cilindro.

Utilizando la función trigonométrica seno, podemos calcular "Y" de la siguiente manera:

$$Y = \text{Sen} (60^\circ) \times 25 \text{ pulgadas}$$

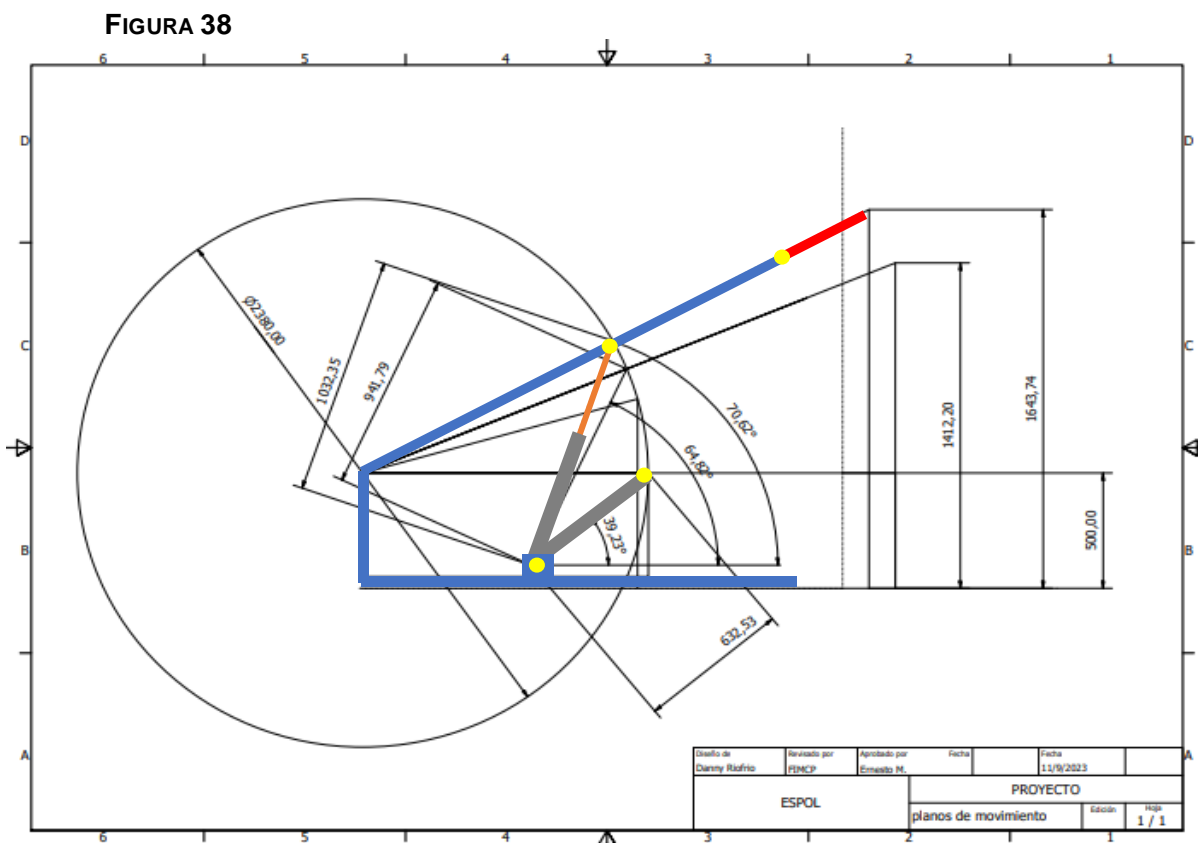
$$Y = 0.866 \times 25 \text{ pulgadas}$$

$$Y = 21.65 \text{ pulgadas o } 550 \text{ mm}$$

Esto significa que la profundidad mínima requerida para la fosa es de 0.55 metros.

4.30.1.1 Desplazamiento del cilindro con el peso de la plataforma.

El cilindro hidráulico debe soportar un peso de 7250 kilogramos y tiene una carrera de 400 mm. El cilindro seleccionado para esta aplicación es el SAE-64016, que tiene una carrera de 16 pulgadas o 406 mm, lo cual es adecuado para los requisitos de este proyecto.



4.31 Elevación máxima del cilindro con la plataforma.

La altura máxima que puede alcanzar el cilindro hidráulico es de 1.41 metros, que corresponde desde la base hasta el extremo del labio abatible. El cilindro tiene un ángulo inicial de 39.23 grados en estado de reposo, que aumenta a 70.62 grados en su posición final. Además, el radio de giro es de 1.19 metros, como se muestra en la figura 38.

El ángulo se mide desde la parte superior de la fosaa el nivel del suelo del andén y alcanza un ángulo de 28.46 grados hasta la altura máxima mencionada anteriormente.

4.31.1.1 Diámetro del vástago del cilindro

hidráulico.

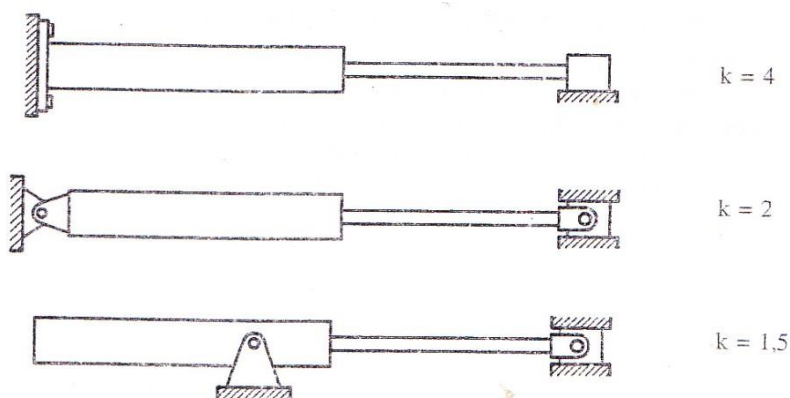
El cálculo del diámetro mínimo requerido para el vástago se basa en la teoría de estabilidad, que considera la esbeltez del elemento, dado que este está sometido a fuerzas de compresión. La determinación del pandeo se lleva a cabo utilizando las siguientes fórmulas, aplicando la teoría de Euler:

$$F_p = \frac{\pi^2 EI}{L_p^2 C_s}$$

Es importante evaluar cómo el tipo de sujeción influye en la longitud de pandeo. Para hacerlo, utilizamos la fórmula que relaciona la carga axial de pandeo (F_p) con el momento de inercia (I), el módulo de elasticidad (E) y la longitud de pandeo (L_p). En el caso de una sección circular, el momento de inercia (I) se calcula como $(d^4 \pi)/64$, donde "d" es el diámetro.

Además, se considera el módulo de elasticidad del acero, que es de 200 GPa, y un factor de seguridad (C_s) igual a 2.2. La longitud de pandeo se calcula como parte de este análisis para determinar cómo varía en función del tipo de sujeción.

FIGURA 39
Factor de anclaje de cilindro.⁵⁰



El caso de sujeción para esta máquina, como se ilustra en la figura 56, tiene un valor de 2 en términos de longitud de pandeo. Para calcular la longitud de pandeo (L_p), utilizamos la fórmula $L_p = K * L$, donde K es igual a 2 y L es igual a 0.4 metros, lo que nos da una longitud de pandeo de 0.8 metros.

A continuación, para determinar el diámetro mínimo del vástago, sustituimos el valor de inercia de una sección circular en la fórmula de carga axial de pandeo y utilizamos la fuerza F_p , que es la carga máxima conocida y tiene un valor de 93.35 kilonewtons.

$$F_p = \frac{\pi^3 E d^4}{L_p^2 C_s 64}$$

$$d = \sqrt[4]{\frac{64 L_p^2 C_s F_p}{\pi^3 E}}$$

$$d = \sqrt[4]{\frac{64 (0.8\text{m})^2 (2.2) (93.35\text{KN})}{\pi^3 (200 \times 10^6 \text{KPa})}}$$

$$d = 0.034\text{m}$$

El diámetro mínimo que debe tener el vástago para no falla por pandeo es de 34 mm

Se muestra que el cilindro hidráulico elegido tiene un diámetro de vástago de 50.8 mm, valor que esta sobre el mínimo requerido.

Para obtener la presión del sistema de la plataforma principal se requiere el área del pistón del cilindro. El pistón tiene un diámetro de 4 plg, para lo cual se calcula lo siguiente:

$$P_1 = \frac{A_1}{F_1} = \frac{93.75\text{KN}}{\frac{\pi D^2}{4}}$$

$$P_1 = \frac{93.35\text{KN}}{\frac{\pi (0.1016\text{m})^2}{4}} = 11514.28\text{KPa}$$

Esta presión es la necesaria para mantener la plataforma en el lugar necesario.

La presión máxima que soporta el cilindro es 3000psi (20700 KPa), por lo tanto 11514.28 KPa es un valor admisible.

Caudal necesario para elevar la plataforma

$$Q_1 = V_1 \times A_1$$

$$Q_1 = \frac{0.4 \text{ m}}{20 \text{ seg}} \times 8.10 \times 10^{-3} \text{ m}^2$$

$$Q_1 = 1.62 \times 10^{-4} \frac{\text{m}^3}{\text{s}}$$

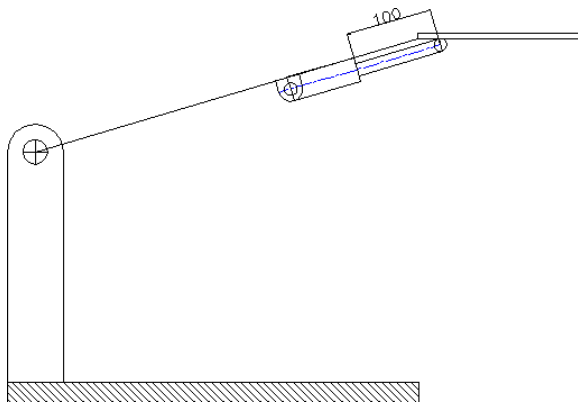
4.31.1.2 Selección de cilindro del labio.

El cilindro que hemos elegido es de doble efecto y tiene la función de empujar el peso del labio. En cuanto al peso del labio, sus dimensiones son las siguientes: tiene una longitud de 1.85 metros, un ancho de 0.4 metros y un espesor de 0.012 metros, lo que da como resultado un peso de 69.708 kilogramos o 0.68 kilo newtons. Utilizamos una densidad del acero de 7850 kilogramos por metro cúbico para calcular el volumen del labio abatible, que es igual a 8.88×10^{-3} metros cúbicos. Luego, calculamos el peso del labio multiplicando la densidad por el volumen, lo que resulta en aproximadamente 70 kilogramos.

La carrera necesaria es de 100 milímetros y el tiempo de desplazamiento es de 10 segundos. El cilindro hidráulico seleccionado con una carrera de 100 mm es el PMC-8404, que tiene una carrera de 4 pulgadas o 101.6 mm.

FIGURA 40

4.32 Desplazamiento máximo del cilindro de



labio.

Diámetro mínimo del vástago:

$$d = \sqrt[4]{\frac{64 \cdot (Lp) \cdot (Cs) \cdot (Fp)}{\pi \cdot E}}$$

$$d = \sqrt[4]{\frac{64 \cdot (0.1x2)^2 \cdot (2.2) \cdot (0.68KN)}{\pi \cdot 200x10^6 KPa}}$$

$$d = 4.98x10^{-3} m$$

El vástago debe tener un diámetro mínimo de 5 mm para evitar el fallo por pandeo, y es importante destacar que el cilindro hidráulico seleccionado supera este requisito, ya que tiene un diámetro de vástago de 25.4 mm.

Para calcular la presión requerida en el labio, es esencial determinar el área del pistón del cilindro. Esto se logra considerando que el pistón tiene un diámetro de 2 pulgadas (2 plg), y a partir de esto, se realiza el cálculo correspondiente.

$$P_2 = \frac{F_2}{A_2} = \frac{F_2}{\frac{\pi D^2}{4}} = 335 KPa$$

La presión máxima que el cilindro puede resistir es de 2500 psi (equivalentes a 17,250 KPa), lo que significa que 335 KPa se encuentra dentro de los límites aceptables. Ahora, necesitamos calcular el caudal requerido para elevar el labio.

$$Q_2 = V_2 * A_2$$

$$Q_2 = \frac{0.1m}{10seg} * 2.02 \times 10^{-3} m^2$$

$$Q_2 = 2.02 \times 10^{-5} \frac{m^3}{s}$$

4.32.1 Selección de la bomba hidráulica.

En el proceso de calcular la bomba hidráulica, se consideran las pérdidas en la tubería que conecta tanto al cilindro principal de la plataforma como al cilindro del labio. Al final, se sumarán las presiones resultantes de cada cilindro y, como resultado, se elegirán el motor y la bomba adecuados. La selección de la tubería se llevará a cabo de manera individual para cada uno de los cilindros.

4.33 Selección de manguera de alta presión para el cilindro principal.

TABLA 25

ESPECIFICACIONES TECNICAS

Medida	Diámetro interior (Pulg./mm)	Diámetro Exterior mm (+/- 1.2)	Presión de Trabajo		Presión de Prueba		Presión de Ruptura		Radio de Curvatura
			Bar	PSI	Bar	PSI	Bar	PSI	
4	1/4 / 6.4	15	400	5800	640	9275	1600	23200	100
5	5/16 / 7.9	16.6	350	5075	560	8115	1400	20300	115
6	3/8 / 9.5	19	330	4785	528	7650	1320	19140	130
8	1/2 / 12.7	22.2	275	3990	440	6376	1100	15960	180
10	5/8 / 15.9	25.4	250	3625	400	5797	1000	14500	200
12	3/4 / 19.0	29.3	215	3120	340	4927	850	12480	240
16	1 / 25.4	38.1	165	2395	260	3768	650	9570	300
20	1 1/4 / 31.8	48.3	125	1810	200	2898	500	7240	420
24	1 1/2 / 38.1	55	90	1305	144	2087	360	5220	500
32	2 / 50.8	67.4	80	1160	128	1855	320	4640	630

Nota: <https://www.equipoSHidraulicoscontrol.com/catalogo>

Tubería seleccionada manguera de alta presión medida 20

Velocidad por el interior de las tuberías.

TABLA 26

4.34 Selección de manguera de alta presión

ESPECIFICACIONES TECNICAS

Medida	Diámetro interior (Pulg./mm)	Diámetro Exterior mm (+/- 1.2)	Presión de Trabajo		Presión de Prueba		Presión de Ruptura		Radio de Curvatura mm
			Bar	PSI	Bar	PSI	Bar	PSI	
3	3/16 / 4.8	11.8	250	3620	400	5797	1000	14490	90
4	1/4 / 6.4	13.4	225	3260	360	5212	900	13050	100
5	5/16 / 7.9	15	215	3115	340	4927	850	12320	115
6	3/8 / 9.5	17.4	180	2610	288	4174	720	10440	130
8	1/2 / 12.7	20.6	160	2320	256	3710	640	9280	180
10	5/8 / 15.9	23.7	130	1885	208	3014	520	7540	200
12	3/4 / 19.0	27.7	105	1520	168	2434	420	6000	240
16	1 / 25.4	35.6	88	1275	140	2028	350	5200	300
20	1 1/4 / 31.8	43.5	63	910	100	1450	250	3600	420
24	1 1/2 / 38.1	50.6	50	725	80	1160	200	2900	500
32	2 / 50.8	64.1	40	580	64	927	160	2320	630

para el labio.

Nota: <https://www.equiposhidraulicoscontrol.com/catalogo>

Se optó por seleccionar una manguera de alta presión con un diámetro de 32

TABLA 27

SELECCIÓN DEL MOTOR Y BOMBA

Trifásica 230 / 400 V / 1500 r.p.m / 3 Phase 230 / 400 V / 1500 r.p.m / Triphasé 230 / 400 V / 1500 r.p.m														
Potencia Power Puissance (kw)	Presión / Pressure / Pression (bar)													Q (l/min)
	100	110	120	130	140	150	160	170	180	190	200	210		
0,8	0.25	0.25	0.37	0.37	0.37	0.37	0.37	0.55	0.55	0.55	0.55	0.55	0.55	1.1
1,2	0.37	0.37	0.55	0.55	0.55	0.55	0.55	0.75	0.75	0.75	0.75	0.75	0.75	1.6
1,6	0.55	0.55	0.55	0.75	0.75	0.75	0.75	0.75	1.1	1.1	1.1	1.1	1.1	2.1
2,1	0.75	0.75	0.75	1.1	1.1	1.1	1.1	1.1	1.1	1.1	1.1	1.5	1.5	2.8
2,5	0.75	1.1	1.1	1.1	1.1	1.1	1.5	1.5	1.5	1.5	1.5	1.5	1.5	3.3
3,3	1.1	1.1	1.1	1.5	1.5	1.5	1.5	2.2	2.2	2.2	2.2	2.2	2.2	4.4
4,3	1.5	1.5	1.5	2.2	2.2	2.2	2.2	2.2	2.2	2.2	3.0	3.0	3.0	5.7
4,8	1.5	1.5	2.2	2.2	2.2	2.2	2.2	3.0	3.0	3.0	3.0	3.0	3.0	6.3
6,2	2.2	2.2	2.2	3.0	3.0	3.0	3.0	3.0	4.0	4.0	4.0	4.0	4.0	8.2
7,9	2.2	3.0	3.0	3.0	4.0	4.0	4.0	4.0	4.0	4.0	5.5	5.5	5.5	10.4

Nota: <https://www.equiposhidraulicoscontrol.com/catalogo>

El motor cotizado tiene una potencia de 2.5 KW, y trabaja a una presión máxima de 3000

PSI.

TABLA 28

RESULTADOS DEL DISEÑO FINAL

Detalle	Característica
Cilindro Hidráulico Principal	406 mm de carrera
Cilindro Hidráulico Labio Abatible	100 mm de carrera
Plancha de acero lagrimada	6 mm de espesor
Vigas para plataforma principal	Vigas perfil IPE 160 mm
Vigas estructurales de la base	Vigas tubo 100x50x3 mm
Selección de unidad Hidráulica	2.5 KW - 3 KW
Diagrama Hidráulico	Conexión Del Sistema
Plancha lagrimada labio abatible	12 mm de Espesor
Buje del eje principal	$\phi_{int} = 31 \text{ mm}$ $\phi_{ext} = 45 \text{ mm}$ Tolerancia de ajuste del Buje: $\phi_{max} = 31.025 \text{ mm}$ $\phi_{min} = 31.00 \text{ mm}$
Eje principal pasador	31 mm diámetro x 1.85 m Tolerancia de ajuste del Eje: $\phi_{max} = 30.991 \text{ mm}$ $\phi_{min} = 30.975 \text{ mm}$